

## Pakningsvedlegg for instrumenter med MOS v4

TIL IN VITRO-DIAGNOSTISK BRUK. KUN FOR EKSPORT.

## Tiltenkt bruk

MiSeqDx-instrumentet er beregnet for målrettet sekvensering av DNA-biblioteker fra menneskelig genomisk DNA ekstrahert fra perifert fullblod eller formalinfiksert og parafininnstøpt (FFPE) vev, ved bruk med *in vitro*-diagnostiske analyser som utføres på instrumentet. MiSeqDx-instrumentet er ikke beregnet for helgenomisk eller *de novo*-sekvensering. MiSeqDx-instrumentet skal brukes med registrerte og oppførte, klarerte eller godkjente IVD-reagenser og analyseprogramvare.

## Prosedyreprinsipper

Illumina MiSeqDx er beregnet for målrettet resekvensering av menneskelig DNA ved bruk av Illuminaforbruksmateriell fra Illumina for sekvensering og biblioteker klargjort for menneskelig genomisk DNA ekstrahert fra perifert fullblod eller FFPE-vev ved bruk av registrerte og oppførte, eller godkjente IVD-reagenser. Biblioteker klargjøres ved å forsterke mål og tilsette prøveindeks og fange opp sekvenser. Prøvebiblioteker blir innfanget på en strømningscelle og sekvensert på instrumentet ved hjelp av sekvensering ved syntesekjemi (SBS). SBS-kjemi bruker en reversibel terminator-metode for å påvise enkle nukleotidbaser idet de blir inkorporert i voksende DNA-strenger. Real-Time Analysis (RTA)-programvaren utfører bildeanalyser og basebetegnelse, og den tildeler en kvalitetsscore til hver base for hver sekvenseringssyklus. Når primæranalysen er ferdig, kan sekundæranalysen utføres på MiSeqDx-instrumentet for å behandle basebetegnelser.

Behandling omfatter vanligvis demultipleksing, FASTQ-filgenerering, innretting, variantbetegnelse og generering av VCF-filer (variantbetegnelseformat) som inneholder informasjon om varianter funnet ved spesifikke posisjoner i referansegenomet. MiSeqDx bruker forskjellige moduler for sekundæranalyse avhengig av arbeidsprosessen.

## Dobbeloppstart-konfigurasjon

Dobbeloppstart-konfigurasjonen omfatter maskinvaren, programvaren og installasjonsprosedyrene for å la MiSeqDx-instrumentet kjøre sekvenseringsanalyser for både *in vitro*-diagnostikk (IVD) og kun til forskningsbruk (RUO). Dobbeloppstart-konfigurasjonen gjør det mulig for brukeren å bytte mellom diagnostisk modus og forskningsmodus på instrumentet. Radiofrekvensidentifikasjoner (RFID-er) på sekvenseringsforbruksmateriell forhindrer at RUO-sekvenseringsreagenser blir brukt i diagnostiske sekvenseringskjøringar.

# Prosedyremessige begrensninger

- Til *in vitro*-diagnostisk bruk.
- Resultatene som presenteres i etiketten, ble oppnådd med representative analysepaneler ved bruk av perifert fullblod eller cellelinjer for kimbaneytelse og FFPE-vev eller FFPE-cellelinjer for somatisk ytelse med reagensene og programvaremodulene som er beskrevet. Modulene for kimbanevariant og somatisk variant ble utviklet for å evaluere ytelsen med representative analyser. Ytelseskarakteristikker er oppgitt kun til informasjon. Valideringstestingene som presenteres, er bare for å gi et eksempel på de generelle mulighetene til instrumentet og ikke etablere kapasiteten eller egnetheten til instrumentet når det gjelder spesifikke påstander. Alle diagnostiske tester som ble utviklet for bruk på dette instrumentet, krever full validering for alle ytelsesaspekter.
- Dette produktet er begrenset til å levere følgende:
  - Utdata for sekvensering  $\geq$  5 Gb med avlesningslengde på 2 x 150 bp
  - Avlesninger som passerer filter  $\geq$  15 millioner med avlesningslengde på 2 x 150 bp
  - Baser høyere enn Q30  $\geq$  80 % ved avlesningslengde på 2 x 150 bp  
Tilsvarende eller mer enn 80 % av basebetegnelsene har Phred-kvalitetsscore høyere enn 30, noe som indikerer en basisbetegnelsenøyaktighet større enn 99,9 %.
- MiSeqDx-instrumentet er bare validert til å sekvensere menneskelige DNA-biblioteker som er ekstrahert fra perifert fullblod eller FFPE-vev. Biblioteker som er generert fra andre prøvetyper, skal ikke brukes med dette instrumentet for *in vitro*-diagnostisk bruk. Ytelsen til dette instrumentet når det gjelder sekvensering av mikrobielle eller virale nukleinsyrer fra kliniske prøver, er ikke etablert.
- MiSeqDx er beregnet på *in vitro*-diagnostisk bruk med registrerte og oppførte eller godkjente IVD-reagenser eller analyser. Reagensbegrensninger og ytelseskarakteristikker som er beskrevet i dette pakningsvedlegget, er basert på representative analyser og programvaremoduler. For IVD-analyser kan du se det analysespesifikke pakningsvedlegget for informasjon om tiltenkt bruk, påviste varianter og prøvetype.
- Indelinnhold (insersjoner, delesjoner og kombinasjoner av disse) med en lengde på mer enn 25 bp innrettes ikke av analyseprogrammet. Derfor kan indeler med en lengde på mer enn 25 bp ikke påvises av analyseprogrammet.
- Systemet er validert for påvisning av enkle nukleotidvarianter (SNV) og opptil 25 bp delesjoner og 24 bp insersjoner når det brukes med programvare for Germline og Somatic Variant-moduler. For somatisk betegnelse ved en variantfrekvens på 0,05 ble 25 bp delesjoner og 18 bp insersjoner påvist.
- PCR-produktavlesninger med ekstremt variantinnhold kan kanskje ikke innrettes av analyseprogramvaren, noe som kan føre til at området rapporteres som villtype. Slike ekstremt innhold omfatter:
  - Avlesninger som inneholder mer enn tre indeler.
  - Avlesninger med lengde på minst 30 bp med SNV-innhold på mer enn 4 % av den totale PCR-produktmållengden (unntatt probeområder).

- Avlesninger med lengde på mindre enn 30 bp med SNV-innhold på mer enn 10 % av den totale PCR-produktlengden (inkludert probeområder).
- Store varianter, deriblant multinukleotidvarianter (MNV-er) og store indeler, kan rapporteres som separate mindre varianter i utdata-VCF-filen.
- Slettingsvarianter kan filtreres eller uteslås når de spenner over to sidestilte PCR-produkter, dersom slettelengden er større enn eller lik overlappingen mellom de sidestilte PCR-produktene.
- Systemet kan ikke påvise indeler hvis de oppstår rett ved siden av en primer og det ikke er noe overlappende PCR-produkt. For områder med overlappende PCR-produkter kan ikke analysen påvise slettinger når overlappingsområdet er mindre enn størrelsen på slettingen som skal påvises. Hvis for eksempel overlappingsområdet mellom to tilstøtende PCR-produkter er to (2) baser, kan analysen ikke påvise delesjoner som inkluderer begge disse basene. En enkelt basesletting på én av disse basene kan påvises.
- Som ved alle hybridiseringsbaserte arbeidsprosesser for bibliotekklargjøring kan underliggende polymorfismer eller mutasjoner, innsettinger eller slettinger i oligonukleotidbindende områder påvirke allelene som sonderes. Dermed påvirkes også betegnelsene gjort under sekvensering. Eksempel:
  - En variant i fase med en variant i primerområdet kan ikke forsterkes, noe som resulterer i en falsk negativ.
  - Varianter i primerområdet kan forhindre forsterkningen av referanseallelen, noe som resulterer i feil homozygot variantbetegnelse.
  - Indelvarianter i primerområdet kan forårsake en falsk positiv betegnelse på slutten av avlesningen ved siden av primeren.
- Indeler kan filtreres på grunn av strengeavvik hvis de forekommer nær enden av en avlesning og blir «soft-clipped» under innretting.
- Små MNV-er er ikke validert.
- Kopinummervarianter eller strukturvarianter, for eksempel fusjoner eller translokasjoner, er ikke validert.
- Kimbanespesifikke begrensninger:
  - MiSeqDx-systemet som bruker kimbanevariantmodulen er utviklet for å levere kvalitative resultater for kimbanevariantbetegnelser (f.eks. homozygot, heterozygot, villtype).
  - Ved bruk med kimlinjevariantmodulen er den minimale dekningen per PCR-produkt som er nødvendig for nøyaktig variantbetegnelse, 150x. Antall prøver og det totale antallet baser som er målrettet, påvirker dekningen. GC-innhold og annet genomisk innhold kan påvirke dekning.
  - Variasjon i kopinummer kan påvirke om en variant identifiseres som homozygot eller heterozygot.
  - Varianter i en viss gjentakende kontekst filtreres ut i VCF-filene. RMxN-gjentakelsesfilteret brukes til å filtrere varianter dersom hele eller deler av variantsekvensen er til stede gjentatte ganger i referansegenomet ved siden av variantposisjonen. For kimlinjevariantbetegnelse er det nødvendig med minst ni repetisjoner i referansen for at en variant skal filtreres, og bare gjentagelser med lengde på opptil 5 bp vurderes (R5x9).
- Somatisk spesifikke begrensninger:

- MiSeqDx-systemet som bruker den somatiske variantmodulen, er utviklet for å levere kvalitative resultater for somatisk variantbetegnelse (dvs. tilstedeværelse av en somatisk variant med en variantfrekvens som er større enn eller lik 0,026 med en deteksjonsgrense på 0,05).
- Ved bruk med den somatiske variantmodulen er den minimale dekningen per PCR-produkt som er nødvendig for nøyaktig variantbetegnelse, 450x per oligonukleotidsammenslåing. Antall prøver og det totale antallet baser som er målrettet, påvirker dekningen. GC-innhold og annet genomisk innhold kan påvirke dekning.
- Varianter i en viss gjentakende kontekst filtreres ut i VCF-filene. RMxN-gjentakelsesfilteret brukes til å filtrere varianter dersom hele eller deler av variantsekvensen er til stede gjentatte ganger i referansegenomet ved siden av variantposisjonen. For somatisk variantbetegnelse er det nødvendig med minst 6 repetisjoner i referansen for at varianten skal filtreres, og bare gjentakelser med lengde på opptil 3 bp vurderes (R3x6).
- Den somatiske variantmodulen kan ikke skille mellom kimlinjevarianter og somatiske varianter. Modulen er utformet for å påvise varianter over en rekke variantfrekvenser, men variantfrekvens kan ikke brukes til å skille mellom somatiske varianter og kimlinjevarianter.
- Normalt vev i prøven påvirker påvisningen av varianter. Den rapporterte påvisningsgrensen er basert på en variantfrekvens i forhold til det totale DNA-et som ekstraheres fra både tumor og normalt vev.

## Produktkomponenter

Illumina MiSeqDx består av følgende:

MiSeqDx Instrument (Katalognr. DX-410-1001)

Følgende programvarekomponenter kreves for MiSeqDxdrift og dataanalyse på instrumentet:

| Programvareapplikasjon         | Funksjon                                 | Beskrivelse   |
|--------------------------------|--|---|
| MiSeq Operating Software (MOS) | Kontroller for betjening av instrumentet | MOS-programvareapplikasjonen administrerer bruk av instrumentet under sekvensering og genererer bilder for bruk av Real-Time Analysis (RTA)-programvare. For mer informasjon, referer til <i>Referanseveiledning for MiSeqDx-instrumentet for MOS v4</i> (dokumentnr. 200010452). |
| Real-Time Analysis (RTA)       | Utfører primæranalyse                    | RTA-programvareapplikasjonen konverterer bildene som genereres av MOS for hver flis per syklus av sekvenseringskjøringen til basebetegnelsesfiler, som er inndata for analysemodulene i Local Run Manager. RTA-programvareapplikasjonen inneholder ikke et brukergrensesnitt.     |

| Programvareapplikasjon | Funksjon                  | Beskrivelse   |
|------------------------|---------------------------|---|
| Local Run Manager      | Grensesnitt for modulvalg | Local Run Manager-programvaren er på en instrumentintegrt løsning for brukerstyring, utfører sekundæranalyse og overvåker status. For mer informasjon, referer til <i>Veileddning for Local Run Manager v4-programvare for MiSeqDx</i> (dokumentnr. 200046657). |

## Oppbevaring og håndtering

| Element       | Spesifikasjon   |
|---------------|---|
| Temperatur    | Transport og lagring: -10 °C til 40 °C<br>Driftsbetingelser: 19 °C til 25 °C  |
| Luftfuktighet | Transport og lagring: Ikke-kondenserende fuktighet<br>Driftsbetingelser: 30–75 % relativ luftfuktighet (ikke-kondenserende) |

## Nødvendig utstyr og materialer som ikke følger med

### Forbruksmateriell for sekvensering

MiSeqDx Reagent Kit v3 (Katalognr. 20037124)

MiSeqDx Reagent Kit v3 Micro (Katalognr. 20063860)

### Forbruksmateriell skaffet av brukeren

Sørg for at følgende forbruksmateriell skaffet av brukeren er tilgjengelig før du starter en kjøring.

| Forbruksmateriell   | Formål                                      |
|---|---|
| Spritservietter, 70 % isopropylalkohol eller etanol, 70 % | Rengjøre strømningscelleglasset og -stadiet |
| Laboratorieklut, lavt loinnhold                           | Rengjøre strømningscellestadiet             |
| Linsepapir, 4 x 6 tommer.                                 | Rengjøre strømningscellen                   |
| Tween 20  | Vask instrumentet                           |

| Forbruksmateriell                            | Formål  |
|--|---|
| Pinsett, firkantet spiss i plast (valgfritt) | Ta strømningscellen ut av forsendelseskassen for strømningscellen |
| Vann, laboratoriekvalitet                    | Vask instrumentet   |

## Retningslinjer for vann av laboratoriekvalitet

Det må alltid brukes vann av laboratoriekvalitet eller avionisert vann for å utføre instrumentprosedyrer. Aldri bruk vann fra springen.

Bruk kun vann av følgende kvalitet eller tilsvarende:

- Avionisert vann
- Illumina PW1
- 18 Megaohm ( $M\Omega$ ) vann
- Milli-Q-vann
- Super-Q-vann
- Vann av molekylærbiologiskvalitet

## Advarsler og forholdsregler



### ADVARSEL

**Dette reagenssettet inneholder potensielt farlige kjemikalier. Personskade kan forekomme ved innånding, svelging, hudkontakt og øyekontakt. Ventilasjon skal være egnet for håndtering av farlige materialer i reagenser. Bruk verneutstyr, inkludert øyevern, hanske og laboratoriefrakk som er egnet for risiko for eksponering. Brukte reagenser skal behandles som kjemisk avfall og kastes i samsvar med gjeldende regionale, nasjonale og lokale lover og forskrifter.** Du finner mer informasjon knyttet til helse, miljø og sikkerhet i sikkerhetsdatabladet på [support.illumina.com/sds.html](http://support.illumina.com/sds.html).

- Håndter alle blodprøver som om de er smittefarlige for humant immunsiktvirus (HIV), humant hepatitt B-virus (HBV) og andre blodbårne patogener (universelle forholdsregler).
- Hvis du unnlater å følge prosedyrene som beskrevet, kan det resultere i feil resultater eller betydelig reduksjon i prøvekvaliteten.
- Bruk rutinemessige forholdsregler for laboratoriet. Ikke pipetter med munnen. Ikke spis, drikk eller røyk i utpekte arbeidsområder. Bruk engangshansker og laboratoriefrakker når du håndterer prøver og settreagenser. Vask hendene grundig etter å ha håndtert prøvene og settreagensene.

- Riktig laboratoriepraksis og god laboratoriehygiene er nødvendig for å forhindre at PCR-produkter kontaminerer reagenser, instrumentering og genomiske DNA-prøver. PCR-kontaminasjon kan medføre unøyaktige og upålidelige resultater.
- For å hindre kontaminasjon må du påse at preforsterknings- og postforsterkningsområdene har sitt eget utstyr og materiell (f.eks. dråpetellere, dråpetellerspisser, varmeblokker, vorteksmiksere og sentrifuger).
- Der det er aktuelt, må indeksprøveparing samsvare nøyaktig med det utskrevne plateoppsettet. Local Run Manager fyller automatisk ut indeksprimerne som er knyttet til prøvenavnene, når de angis i modulen. Brukeren anbefales å verifisere indeksprimerne som er tilknyttet prøvene, før sekvenseringskjøringen startes. Misforhold mellom prøven og plateoppsettet resulterer i tap av positiv prøveidentifikasjon og feil resultatrapportering.
- Installasjon av brukerlevert antivirusprogramvare anbefales sterkt for å beskytte datamaskinen mot virus. Se brukerhåndboken for instruksjoner for installasjon.
- Ikke betjen MiSeqDx hvis noen av panelene er fjernet. Bruk av instrumentet hvis ett eller flere paneler er fjernet, utgjør en potensiell risiko for eksponering overfor linjespenning og likestrømspenning.
- Ikke berør strømningscellen i strømningscellekammeret. Varmeenheten i dette kammeret fungerer mellom 22 °C og 95 °C og kan forårsake brannskader.
- Instrumentet veier omtrent 57 kg og kan forårsake alvorlig skade hvis det faller ned eller behandles på feil måte.
- Alvorlige uønskede hendelser knyttet til dette produktet skal umiddelbart rapporteres til Illumina og ansvarlige myndigheter i medlemslandet der brukeren og/eller pasienten befinner seg.

## Bruksanvisning

Følgende bruksanvisninger for MiSeqDx-instrumentet krever reagenser som følger med i MiSeqDx Reagent Kit v3.

### Opprett kjøring med Local Run Manager

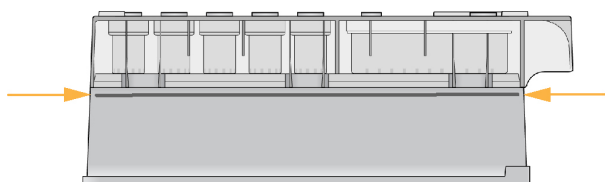
Du finner detaljerte instruksjoner om hvordan du oppretter en kjøring i *Veiledning for Local Run Manager v4-programvare for MiSeqDx (dokumentnr. 200046657)* og Local Run Manager modulveileddningen for analysemodulen du bruker.

### Klargjøre reagenskassetten

Følgende instruksjoner beskriver hvordan du tiner reagenser ved hjelp av et vannbad med romtemperatur.

1. Ta reagenskassetten ut fra oppbevaring ved -15 °C til -25 °C.
2. Plasser reagenskassetten i et vannbad som inneholder nok deionisert og romtemperert vann til å senke basen på reagenskassetten opptil vannlinjen som er angitt på reagenskassetten. Ikke la vannet overstige maksgrensen for vann.

Figur 1 Maksimumslinje for vann



3. La reagenskassetten tine i vannbad ved romtemperatur i ca. 60–90 minutter eller til den er helt tint.
4. Ta kassetten ut av vannbadet, og dunk den forsiktig mot benken for å fjerne vann fra basen av kassetten. Tørk av kassettbasen. Kontroller at det ikke har sprutet vann på toppen av reagenskassetten.

## Undersøke reagenskassetten

1. Vend reagenskassetten ti ganger for å blande de tinte reagensene, og kontroller deretter at alle posisjoner er tint.
2. Kontroller reagensene i posisjon 1, 2 og 4 for å se at de er fullstendig blandet og uten bunnfall.

**MERK** Det er svært viktig at reagensene i kassetten er gjennomtint og blandet for å sørge for skikkelig sekvensering.

3. Dunk kassetten forsiktig mot benken for å fjerne luftbobler i reagensene.

**MERK** MiSeqDx-sugeenhetsrørene går til bunnen av hver brønn for å aspirere reagensene, så det er viktig at brønnene ikke har noen luftbobler.

4. Sett reagenskassetten på is eller sett den til side ved 2 °C til 8 °C (opptil seks timer) til du er klar til å sette opp kjøringen. De beste resultatene oppnås ved å laste inn prøven og konfigurere kjøringen med en gang.

## Klargjøre prøver for sekvensering

Hvis du vil ha mer informasjon om hvordan du klargjør prøvebiblioteker for sekvensering, inkludert bibliotekfortynning og -sammenslåing, se avsnittet Bruksanvisning i pakningsvedlegget for bibliotekklargjøring. Fortynning av prøvebiblioteker avhenger av kompleksiteten av oligonukleotidsammenslåinger. Optimalisering av klyngetetthet på MiSeqDx er nødvendig, og optimal klyngetetthet varierer avhengig av bibliotekklargjøringsanalyse.

## Laste prøvebiblioteker på kassett

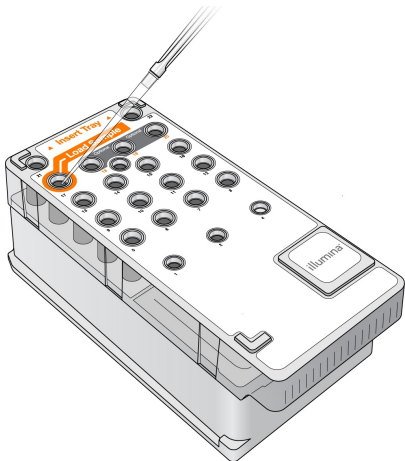
Når reagenskassetten er helt tint og klar til bruk, er du klar til å laste prøver på kassetten.

- Ved hjelp av en egen, ren og tom 1 ml dråpetellerspiss stikker du hull på folieforseglingen over brønnen i reagenskassetten som er merket **Load Samples** (Last inn prøver).

**MERK** Ikke stikk hull på noen andre reagensposisjoner. Andre reagensposisjoner blir stukket hull på automatisk under kjøringen.

- Pipetter 600 µl klargjort fortynnet PCR-produktbibliotek (DAL) for prøvebibliotek i brønnen **Load Samples** (Last inn prøver). Unngå å ta på folieforseglingen.
- Kontroller om det er luftbobler i brønnen etter at du har lastet inn prøven. Hvis det er luftbobler, dunk forsiktig på kassetten på benken for å løsne opp boblene.

Figur 2 Laste inn biblioteker



- Gå direkte til kjøringsoppsettrinnene ved hjelp av MiSeq Operating Software (MOS)-grensesnittet.

## Kjøringsoppsett

Referer til *Referanseveiledning for MiSeqDx-instrumentet for MOS v4* (dokumentnr. 200010452) for fullstendige instruksjoner for kjøringsoppsett.

- Logg på MiSeqDx med passordet for Local Run Manager-programvaren.
- Velg **Sequence** (Sekvens) i startskjermbildet til MOS -programvaren.
- Velg en kjøring fra listen, og velg deretter **Next** (Neste).  
En rekke skjermbilder for kjøringsoppsett åpnes i følgende rekkefølge: Load Flow Cell (Last inn strømningscelle), Load Reagents (Last inn reagenser), Review (Gjennomgang) og Pre-Run check (Kontroll før kjøring).
- Når skjermbildet Load Flow Cell (Last inn strømningscelle) vises, skal strømningscellen rengjøres og deretter lastes inn.
- Lukk strømningsscellesperren og døren til strømningscellekammeret.

Både sperren og kammerdøren må være lukket før du begynner kjøringen. Når strømningscellen er lastet inn, leser programvaren av og registrerer RFID. En bekreftelse på at RFID ble lest av, vises i nedre høyre hjørne i skjermbildet.

6. Følg meldingene i programvaren for å laste inn flasken med MiSeqDx SBS-oppløsning (PR2), og kontroller at avfallsflasken er tom før du laster inn reagenskassetten.  
Når flasken med MiSeqDx SBS-oppløsning (PR2) og reagenskassetten er lastet inn, leser programvaren av og registrerer RFID. En bekreftelse på at RFID ble lest av, vises i nedre høyre hjørne i skjermbildet.
7. Sekvenseringsskjerm bildet åpnes når kjøringen starter. Dette skjermbildet gir en visuell fremstilling av kjøringen som pågår, inkludert intensiteter og kvalitetsscorer (Q-scorer).

## Resultater

Real-Time Analysis (RTA) er en integrert programvare som utfører bildeanalyse og basebetegnelse, og den tilordner en kvalitetsscore til hver base for hver sekvenseringssyklus. Når en primæranalyse er fullført, starter modulen på MiSeqDx-instrumentet, som er valgt i [Opprett kjøring med Local Run Manager på side 7](#) en sekundæranalyse. Se analysespesifikk dokumentasjon for andre arbeidsprosesser.

## Kvalitetskонтrollprosedyrer

MiSeqDx-programvaren evaluerer hver kjøring, prøve og basebetegnelse mot kvalitetskontrollmetrikk. Ved behov skal de positive og negative kontrollene som inkluderes i bibliotekklargjøringen, også evalueres for forventede resultater.

## Ytelseskarakteristikker

Alle studier ble utført på MiSeqDx.

Kimbanestudier brukte enten MiSeqDx Cystic Fibrosis 139-Variant Assay eller TruSeq Custom Amplicon Kit Dx-reagenser for klargjøring av bibliotek. De to settene bruker identiske reagenser for bibliotekklargjøring og har bare én arbeidsprosessforskjell: antall sykluser med polymerasekjedereaksjoner (PCR) (henholdsvis 25 og 28). De ekstra PCR-syklusene tillater lavere DNA-innmating med TruSeq Custom Amplicon Kit Dx (50 ng) sammenlignet med MiSeqDx Cystic Fibrosis 139-Variant Assay (250 ng), som vist i DNA-innmatingstudien ved hjelp av TruSeq Custom Amplicon Kit Dx. Biblioteker som ble klargjort med MiSeqDx Cystic Fibrosis 139-Variant Assay, ble sekvensert med tilhørende sekvenseringsreagenser i settet. Biblioteker som ble klargjort med TruSeq Custom Amplicon Kit Dx, ble sekvensert med MiSeqDx Reagent Kit v3. De sistnevnte sekvenseringsreagensene har økt utdata sammenlignet med de i MiSeqDx Cystic Fibrosis 139-Variant Assay.

Testingen omfatter prøvevolumområdene støttet av MiSeqDx Reagent Kit v3 Micro. MiSeqDx kan støtte 1–96 prøver/kjøring, avhengig av analysen. MiSeqDx Reagent Kit v3 Micro er utformet for å støtte lavere prøvevolumer innenfor dette området for utvalgte analyser.

Somatiske studier brukte TruSeq Custom Amplicon Kit DX med MiSeqDx Reagent Kit v3.

Arbeidsprosessen for kimbane og somatisk, beskrevet for TruSeq Custom Amplicon Kit Dx for å klargjøre biblioteker for sekvensering, ble etterfulgt av analyse ved bruk av modulene Germline Variant (Kimbanevariant) eller Somatic Variant (Somatisk variant), med to unntak. Studier som brukte ett gen (Kimbaneytelse; MiSeqDx Cystic Fibrosis 139-Variant Assay) eller to gener (somatisk ytelse) som representative mutasjonspaneler, brukte analysespesifikke arbeidsprosesser og analysemoduler.

**MERK** Genomisk innhold i PCR-produkt er oppsummert knyttet til den genomiske strengen som blir sekvensert. For PCR-produkter designet mot minusstrengen, er referansegenominnholdet bakoverkomplettering (for eksempel PolyA-områder på PCR-produkter med minusstrenger korresponderer med PolyT-områder på referansegenomet).

## Definisjoner av beregninger for ytelseskarakteristikker

- Positivt prosentsamsvar (PPA) beregnes som andelen av loki klassifisert som varianter ved hjelp av en referansemetode som er korrekt rapportert av analysen.
  - $(\text{antall variantloki korrekt rapportert av analysen}) / (\text{totalt antall variantloki})$   
Variantloki rapportert av analysen som samsvarer med referansemetoden, er sant positive (TP).  
Variantloki rapportert som referansebetegnelser eller som forskjellige variantbetegnelser av analysen, er falskt negative (FN).
- Negativt prosentsamsvar (NPA) beregnes som andelen av loki klassifisert som villtype ved hjelp av en referansemetode som er korrekt rapportert av analysen.
  - $(\text{antall villtypeloki korrekt rapportert av analysen}) / (\text{totalt antall villtypeloki})$   
Villtypeloki rapportert av analysen som samsvarer med referansemetoden, er sant negative (TN).  
Villtypeloki rapportert som varianter av analysen, er falskt positive (FP).
- Samlet prosentsamsvar (OPA) beregnes som andelen loki som er korrekt rapportert av analysen i forhold til en referansemetode.
  - $((\text{antall variantloki korrekt rapportert av analysen}) + (\text{antall villtypeloki korrekt rapportert av analysen})) / ((\text{totalt antall variantloki}) + (\text{totalt antall villtypeloki}))$
- Beregningene av PPA, NPA og OPA inkluderer ikke noen betegnelser (variant- eller referansloki som ikke oppfyller ett eller flere kvalitetsfiltre) for bruk i variantbetegnelse. To studier inneholder spesifikt ikke noen betegnelser i målinger av «% korrekte betegnelser», og denne inkluderingen av ingen betegnelser er angitt for de aktuelle tabellene.
- Betegnelsestfrekvens er beregnet som det totale antallet loka passerende filtre som deles på totalt antall posisjoner som er sekvensert for kromosom 1–22. Kromosom X og Y er ekskludert. Denne målingen vurderer ikke samsvaret av betegnelser med referansemetoden.

For ytelseskarakteristikker knyttet til preanalytiske faktorer (f.eks. ekstraksjonsmetoder eller DNA-innmating) kan du referere til pakningsvedlegget for den aktuelle bibliotekklargjøringsmetoden.

## Prøveindeksering

Prøveindeksprimere, lagt til under bibliotekklargjøring, tilordner en unik sekvens til hvert prøve-DNA, som tillater at flere prøver slås sammen til en enkelt sekvenseringskjøring. Prøveindeksering ble testet for arbeidsprosessene kimbane og somatisk.

Totalt 96 prøveindekser ble testet med en representativ analyse designet for et bredt utvalg av gener som dekker 12 588 baser per streng over alle 23 menneskelige kromosomer, for å verifisere analysens evne til å lage en genotypingbetegnelse konsekvent for en gitt prøve på tvers av ulike kombinasjoner av indekseringsprimere. Y-kromosomet inneholder ikke konfidensområder og ble ikke evaluert. Åtte unike prøver ble testet med 12 forskjellige kombinasjoner av indekseringsprimere per prøve. Prøveresultater fra Germline Analysis Module (Kimbaneanalysemodul) ble sammenlignet med Platinum Genomes versjon 2016-01. PPA (SNV-er og indeler) oversteg 97 % (sanne positive betegnelser var minst 70 for SNV-er, 38 for insersjoner, 36 for delesjoner) og NPA var 100 % (minst 23 440 referanseposisjoner per indekskombinasjon) for hver av de 96 indekskombinasjonene. En enkelt indeks ble testet uavhengig for å verifisere at MiSeqDx Reagent Kit v3s sekvenseringskjemi kan støtte mindre enn åtte prøver (forløperkjemien i MiSeqDx Universal Kit 1.0 var begrenset til minimum åtte prøver). Den enkle indeksen hadde PPA-verdier på 98,9 % (180/182) for SNV-er, 100 % (38/38) for insersjoner og 100 % (46/46) for delesjoner. NPA var 100 % (23 856/23 856).

Tolv replikater (24 biblioteker) av en prøve ble testet for å måle indeksnøyaktighet med somatiske varianter ved frekvenser fra 0,05–0,10 ved bruk av Somatic Variant Module (Somatiske variantmodul) (to indekskombinasjoner per replikat brukes for å lage somatiske betegnelser). PPA var 100 % for SNV-er (64/64), insersjoner (11/11) og delesjoner (19/19). NPA var 100 % (minst 11 590 referanseposisjoner per indekskombinasjon) for alle indekskombinasjoner.

## Carryover av prøver

Arbeidsprosessen til MiSeqDx-instrumentet omfatter bibliotekklargjøring og sekvensering av flere prøver pluss kontroller som alle behandles samtidig. Studien for carryover av prøver ble utført for å evaluere om falskt positive resultater grunnet carryover fra brønn-til-brønn-kontaminasjon ved bibliotekklargjøring eller fra kjøring-til-kjøring-kontaminasjon mellom etterfølgende sekvenseringskjøringer, hadde innvirkning på testresultatene. Somatiske varianter ble brukt fordi de kan påvises ved lavere allelfrekvenshendelser enn kimbanevarianter.

Prøvene besto av fire genomiske DNA-prøver fra cellelinjer, der hver av dem inneholdt ulike panelmutasjoner i en representativ analyse med et panel med to gener. Prøvene var slik at en mutasjon med en posisjon i det ene panelet, hadde en referansesekvens (villtype) i det andre.

Carryover fra brønn til brønn er definert som en feilmodus som potensielt oppstår under manuelle behandlingstrinn (pipettering, forveksling av prøver, osv.). For å evaluere carryover fra en prøvebrønn til en annen ble det utført to testkjøringer:

- Et sjakkbrættmønstret oppsett av en prøve med høy innmating av genomisk DNA (gDNA) som inneholdt en mutasjon i gen 1, vekslende med en prøve med lav innmating av gDNA som inneholdt en mutant i gen 2.

- Et sjakkbrettmønstret oppsett av en prøve med høy innmating av gDNA som inneholdt en mutasjon i gen 2, vekslende med en prøve med lav innmating av gDNA som inneholdt en mutasjon i gen 1.

I hver kjøring ble totalt 12 replikater evaluert for falskt positive resultater (f.eks. ble en gen 1-mutasjon rapportert i en brønn betegnet som en gen 2-mutantprøve eller omvendt).

Carryover fra kjøring til kjøring defineres som en feilmodus som potensielt er opprettet basert på rester fra en tidligere sekvenseringskjøring. For å avgjøre om det er carryover mellom sekvenseringskjøringene ble to plater som hver inneholdt 11 replikater av en enkelt unik prøve med høy innmating av gDNA pluss en blank prøve, klargjort og sekvensert etter hverandre på et MiSeqDx-instrument og evaluert for falskt positive resultater. Den første kjøringen inneholdt 11 replikater av en gen 2-mutantprøve pluss én blank. Den andre kjøringen inneholdt 11 replikater av en gen 1-mutantprøve pluss 1 blank. Gen 2-mutantprøvebiblioteket ble sekvensert først etterfulgt av en påfølgende sekvenseringskjøring med gen 1-mutantprøvebiblioteket, etterfulgt av en annen gjentatt sekvenseringskjøring av gen 2-mutantprøvebiblioteket. Hvis en gen 2-mutasjon observeres i en kjøring kun med gen 1-mutant eller omvendt, vil denne observasjonen indikere carryover.

Null falske positive (0/24, 0 %) pga. carryover fra brønn til brønn, ble rapportert. Alle forventede mutasjoner ble påvist. Null falske positive (0/24, 0 %) pga. carryover fra kjøring til kjøring, ble rapportert. Alle forventede mutasjoner ble påvist. Null falske positive (0/48, 0 %) pga. total carryover (carryover fra brønn til brønn og kjøring til kjøring), ble rapportert.

# Ytelseskarakteristikker for kimbane

Studier som er beskrevet her, brukte Germline Variant Module (kimbanevariantmodul) for å analysere sekvenseringsdata, unntatt de studiene som bruker det ene genpanelet der en analysespesifikk modul ble brukt.

## Nøyaktighet

Følgende studie ble utført for å vurdere nøyaktigheten til MiSeqDx-instrumentet med MiSeqDx Reagent Kit v3 og DNA av høy kvalitet. Studien brukte en representativ analyse beregnet på å undersøke en rekke gener som dekker 12 588 baser over 23 forskjellige kromosomer ved bruk av 150 PCR-produkter. Y-kromosomet inneholder ikke konfidensområder og ble ikke evaluert. De 12 unike prøvene som ble brukt i denne studien, er fra én enkelt familie – to foreldre og 10 barn – som er sekvensert hyppig i flere laboratorier og med flere sekvenseringsmetoder. Fem av prøvene er fra kvinner og sju er fra menn. Hver av prøvene ble testet i to eksemplarer. Nøyaktighet ble fastslått for SNV-er, insersjoner og delesjoner ved å sammenligne studiedataene med en godt karakterisert referansedatabase. Referansedatabasesekvensen (Platinum Genomes versjon 2016-01) ble utledet fra kombinasjonen av flere sekvenseringsmetoder, offentlig tilgjengelig data og informasjon om arvelighet. Sikre genomregioner ble definert basert på denne referansemetoden hvis ikke annet er spesifisert. Totalt ble prøvene kjørt åtte ganger, og tabellene som presenteres for å vise nøyaktighet, er basert på data fra den første kjøringen.

**Tabell 1** inneholder studiedataene presentert med positivt og negativt prosentsamsvar for hver prøve, der variantresultatene er sammenlignet med en godt karakterisert sammensatt referansemetode for PPA-beregninger. De tre varianttypene (SNV-er, insersjoner og delesjoner) er kombinert. Siden referansemetoden kun gir resultater for de enkle nukleotidvariantene og insersjonene/delesjonene, sammenlignes baseresultater uten variant med referansesekvensen hg19 for humant genom for NPA-beregninger.

Tabell 1 Samsvar av basebetegnelsesresultater per prøve for MiSeqDx-instrumentet

| Prøve   | Gjennomsnittlig betegnelsefrekvens | Totalt antall varianter | Totalt antall TP-varianter | Totalt antall FN-varianter | Totalt antall ingen betegnelser | Totalt antall TN-betegnelser | PPA | NPA | OPA |
|---------|------------------------------------|-------------------------|----------------------------|----------------------------|---------------------------------|------------------------------|-----|-----|-----|
| NA12877 | > 99,9                             | 152                     | 152                        | 0                          | 4                               | 24024                        | 100 | 100 | 100 |
| NA12878 | > 99,9                             | 270                     | 266                        | 0                          | 4                               | 23856                        | 100 | 100 | 100 |

| Prøve   | Gjennomsnittlig betegnelsefrekvens | Totalt antall varianter | Totalt antall TP-varianter | Totalt antall FN-varianter | Totalt antall ingen betegnelser | Totalt antall TN-betegnelser | PPA  | NPA | OPA    |
|---------|------------------------------------|-------------------------|----------------------------|----------------------------|---------------------------------|------------------------------|------|-----|--------|
| NA12879 | > 99,9                             | 192                     | 190                        | 1                          | 1                               | 24054                        | 99,5 | 100 | > 99,9 |
| NA12880 | > 99,9                             | 222                     | 220                        | 0                          | 6                               | 24052                        | 100  | 100 | 100    |
| NA12881 | > 99,9                             | 250                     | 247                        | 1                          | 2                               | 23862                        | 99,6 | 100 | > 99,9 |
| NA12882 | > 99,9                             | 200                     | 196                        | 2                          | 2                               | 23962                        | 99,0 | 100 | > 99,9 |
| NA12883 | > 99,9                             | 226                     | 224                        | 0                          | 6                               | 23870                        | 100  | 100 | 100    |
| NA12884 | > 99,9                             | 228                     | 226                        | 1                          | 1                               | 23942                        | 99,6 | 100 | > 99,9 |
| NA12885 | > 99,9                             | 244                     | 240                        | 2                          | 2                               | 23942                        | 99,2 | 100 | > 99,9 |
| NA12886 | > 99,9                             | 230                     | 228                        | 1                          | 1                               | 23888                        | 99,6 | 100 | > 99,9 |
| NA12888 | > 99,9                             | 216                     | 216                        | 0                          | 4                               | 24002                        | 100  | 100 | 100    |
| NA12893 | > 99,9                             | 236                     | 234                        | 0                          | 2                               | 23810                        | 100  | 100 | 100    |

Den representative analysen besto av 150 PCR-produkter utformet for å dekke diverse genomisk innhold. GC-innholdet i PCR-produktene varierte fra 26 til 87 %. Amplikoner hadde også et utvalg av enkle nukleotid- (f.eks. PolyA, PolyT), dinukleotid- og trinukleotidgjentakelser. Data ble samlet på et per amplikongrunnlag ([Tabell 2](#)) for å fastslå effekten av genomisk innhold i % korrekte betegnelser. % korrekte betegnelser består av variant- og referansebetegnelser og er mindre enn 100 % hvis det finnes enten feil eller ingen betegnelser. Ingen betegnelser oppstår når ett eller flere filtre ikke oppfylles for variantbetegnelse (f.eks. utilstrekkelig dekning).

Av de åtte FN-variantene fra [Tabell 2](#), hadde sju en 1 bp-insersjon på amplikon 111, som også inneholder PolyA-homopolymer og GC-innhold på 0,29. Den gjenværende 1 FN (feil betegnelse) var på grunn av en uventet heterozygot SNV, på PCR-produkt 125 med et GC-innhold på 0,68, betegnet som en homozygot variant. SNV-variantfrekvensen var 0,71, som er over terskelen på 0,70 for klassifisering som homozygot variant. PCR-produktet med laveste % korrekte betegnelser (98,2 %) var PCR-produkt 17 med 40 ingen betegnelser og inneholdt AT-repetisjoner og GC-innhold på 27 %.

Tabell 2 Amplikonnivånyaktiget for MiSeqDx-instrumentet

| PCR-produkt | Kromosom | Start for PCR-produkt | Slutt for PCR-produkt | Analysert fragmentstørrelse | Baser i konfidensområder | Genomisk innhold i PCR-produkt          | GC-innhold | Totalt antall korrekte betegnelser | Totalt antall feil betegnelser | Totalt antall ingen betegnelser | % korrekte betegnelser |
|-------------|----------|-----------------------|-----------------------|-----------------------------|--------------------------|---|------------|------------------------------------|--------------------------------|---------------------------------|------------------------|
| 1           | 1        | 36450499              | 36450591              | 93                          | 93                       | Indel                                   | 0,22       | 2232                               | 0                              | 0                               | 100                    |
| 2           | 1        | 109465122             | 109465200             | 79                          | 79                       | PolyA (5), PolyC (5), indel             | 0,38       | 1896                               | 0                              | 0                               | 100                    |
| 3           | 1        | 218353867             | 218353957             | 91                          | 91                       | Indel                                   | 0,4        | 2184                               | 0                              | 0                               | 100                    |
| 4           | 1        | 223906657             | 223906748             | 92                          | 92                       | Indel                                   | 0,49       | 2208                               | 0                              | 0                               | 100                    |
| 5           | 1        | 228526602             | 228526682             | 81                          | 81                       | PolyG (5)                               | 0,69       | 1944                               | 0                              | 0                               | 100                    |
| 6           | 1        | 236372039             | 236372108             | 70                          | 70                       | PolyT (10), indel                       | 0,39       | 1680                               | 0                              | 0                               | 100                    |
| 7           | 1        | 247812041             | 247812128             | 88                          | 88                       | PolyA (5), CT (3), TAA (3), indel       | 0,27       | 2112                               | 0                              | 0                               | 100                    |
| 8           | 2        | 55862774              | 55862863              | 90                          | 90                       | Indel                                   | 0,28       | 2160                               | 0                              | 0                               | 100                    |
| 9           | 2        | 87003930              | 87004009              | 80                          | 80                       | Indel                                   | 0,38       | 1920                               | 0                              | 0                               | 100                    |
| 10          | 2        | 177016721             | 177016805             | 85                          | 81                       | N/A                                     | 0,65       | 1944                               | 0                              | 0                               | 100                    |
| 11          | 2        | 186625727             | 186625801             | 75                          | 75                       | PolyA (8)                               | 0,35       | 1800                               | 0                              | 0                               | 100                    |
| 12          | 2        | 190323504             | 190323591             | 88                          | 88                       | PolyT (5)                               | 0,42       | 2112                               | 0                              | 0                               | 100                    |
| 13          | 2        | 200796740             | 200796826             | 87                          | 87                       | PolyT (5), indel                        | 0,31       | 2088                               | 0                              | 0                               | 100                    |
| 14          | 2        | 212245049             | 212245139             | 91                          | 91                       | PolyT (5), PolyA (6), indel             | 0,3        | 2184                               | 0                              | 0                               | 100                    |
| 15          | 2        | 228147052             | 228147144             | 93                          | 93                       | N/A                                     | 0,43       | 2232                               | 0                              | 0                               | 100                    |
| 16          | 2        | 235016350             | 235016422             | 73                          | 73                       | PolyT (5), indel                        | 0,42       | 1752                               | 0                              | 0                               | 100                    |
| 17          | 3        | 4466229               | 4466321               | 93                          | 93                       | AT (3), indel                           | 0,27       | 2192                               | 0                              | 40                              | 98,2                   |
| 18          | 3        | 46620561              | 46620643              | 83                          | 83                       | N/A                                     | 0,43       | 1992                               | 0                              | 0                               | 100                    |
| 19          | 3        | 49851331              | 49851400              | 70                          | 70                       | CT (3), indel                           | 0,49       | 1680                               | 0                              | 0                               | 100                    |
| 20          | 3        | 189713161             | 189713248             | 88                          | 88                       | PolyA (5), PolyT (5), PolyA (9), TG (3) | 0,41       | 2112                               | 0                              | 0                               | 100                    |
| 21          | 3        | 190106030             | 190106104             | 75                          | 74                       | Indel                                   | 0,57       | 1774                               | 0                              | 2                               | 99,9                   |
| 22          | 4        | 2233667               | 2233744               | 78                          | 78                       | PolyA (6)                               | 0,26       | 1872                               | 0                              | 0                               | 100                    |
| 23          | 4        | 7780541               | 7780637               | 97                          | 97                       | PolyG (6), PolyT (5), PolyA (5)         | 0,42       | 2328                               | 0                              | 0                               | 100                    |
| 24          | 4        | 15688604              | 15688681              | 78                          | 78                       | N/A                                     | 0,29       | 1872                               | 0                              | 0                               | 100                    |

| PCR-produkt | Kromosom | Start for PCR-produkt | Slutt for PCR-produkt | Analysert fragmentstørrelse | Baser i konfidensområder | Genomisk innhold i PCR-produkt | GC-innhold | Totalt antall korrekte betegnelser | Totalt antall feil betegnelser | Totalt antall ingen betegnelser | % korrekte betegnelser |
|-------------|----------|-----------------------|-----------------------|-----------------------------|--------------------------|--------------------------------|------------|------------------------------------|--------------------------------|---------------------------------|------------------------|
| 25          | 4        | 56236521              | 56236586              | 66                          | 62                       | PolyA (5), indel               | 0,36       | 1488                               | 0                              | 0                               | 100                    |
| 26          | 4        | 102839244             | 102839314             | 71                          | 69                       | PolyA (5)                      | 0,46       | 1656                               | 0                              | 0                               | 100                    |
| 27          | 4        | 164446743             | 164446804             | 62                          | 62                       | PolyA (7), indel               | 0,27       | 1488                               | 0                              | 0                               | 100                    |
| 28          | 5        | 1882081               | 1882158               | 78                          | 75                       | N/A                            | 0,78       | 1800                               | 0                              | 0                               | 100                    |
| 29          | 5        | 14769061              | 14769144              | 84                          | 84                       | GT (3), CCA (3)                | 0,62       | 2016                               | 0                              | 0                               | 100                    |
| 30          | 5        | 41069808              | 41069871              | 64                          | 64                       | N/A                            | 0,39       | 1536                               | 0                              | 0                               | 100                    |
| 31          | 5        | 74077114              | 74077196              | 83                          | 83                       | PolyA (6), indel               | 0,3        | 1992                               | 0                              | 0                               | 100                    |
| 32          | 5        | 147475343             | 147475409             | 67                          | 67                       | PolyT (5)                      | 0,37       | 1608                               | 0                              | 0                               | 100                    |
| 33          | 5        | 149323731             | 149323821             | 91                          | 91                       | CT (4), AG (3)                 | 0,55       | 2184                               | 0                              | 0                               | 100                    |
| 34          | 5        | 155662213             | 155662287             | 75                          | 75                       | Indel                          | 0,43       | 1800                               | 0                              | 0                               | 100                    |
| 35          | 6        | 6318713               | 6318814               | 10                          | 10                       | PolyG (6)                      | 0,68       | 2448                               | 0                              | 0                               | 100                    |
| 36          | 6        | 24949983              | 24950074              | 92                          | 92                       | Indel                          | 0,63       | 2208                               | 0                              | 0                               | 100                    |
| 37          | 6        | 31084900              | 31084999              | 100                         | 94                       | GCT (5), indel                 | 0,61       | 2244                               | 0                              | 12                              | 99,5                   |
| 38          | 6        | 32147987              | 32148084              | 98                          | 98                       | PolyT (5), TCT (3), CTT (3)    | 0,55       | 2352                               | 0                              | 0                               | 100                    |
| 39          | 6        | 32986864              | 32986958              | 95                          | 95                       | Indel                          | 0,53       | 2280                               | 0                              | 0                               | 100                    |
| 40          | 6        | 33408498              | 33408583              | 86                          | 86                       | PolyC (6)                      | 0,7        | 2064                               | 0                              | 0                               | 100                    |
| 41          | 6        | 41647401              | 41647495              | 95                          | 94                       | PolyG (5), indel               | 0,61       | 2256                               | 0                              | 0                               | 100                    |
| 42          | 6        | 112435865             | 112435955             | 91                          | 91                       | PolyA (5)                      | 0,44       | 2184                               | 0                              | 0                               | 100                    |
| 43          | 7        | 22202076              | 22202148              | 73                          | 73                       | N/A                            | 0,44       | 1752                               | 0                              | 0                               | 100                    |
| 44          | 7        | 66276100              | 66276187              | 88                          | 88                       | Indel                          | 0,35       | 2112                               | 0                              | 0                               | 100                    |
| 45          | 7        | 77365735              | 77365821              | 87                          | 87                       | PolyA (7), AG (4)              | 0,26       | 2088                               | 0                              | 0                               | 100                    |
| 46          | 7        | 110939946             | 110940030             | 85                          | 85                       | Indel                          | 0,38       | 2040                               | 0                              | 0                               | 100                    |
| 47          | 7        | 128533468             | 128533557             | 90                          | 90                       | PolyG (5), indel               | 0,62       | 2160                               | 0                              | 0                               | 100                    |
| 48          | 7        | 149503875             | 149503965             | 91                          | 91                       | PolyG (6), PolyC (6), indel    | 0,71       | 2184                               | 0                              | 0                               | 100                    |
| 49          | 7        | 154404519             | 154404599             | 81                          | 66                       | N/A                            | 0,31       | 1584                               | 0                              | 0                               | 100                    |
| 50          | 7        | 156476507             | 156476599             | 93                          | 93                       | Indel                          | 0,35       | 2232                               | 0                              | 0                               | 100                    |
| 51          | 8        | 1817312               | 1817394               | 83                          | 83                       | N/A                            | 0,42       | 1992                               | 0                              | 0                               | 100                    |

| PCR-produkt | Kromosom | Start for PCR-produkt | Slutt for PCR-produkt | Analysert fragmentstørrelse | Baser i konfidensområder | Genomisk innhold i PCR-produkt | GC-innhold | Totalt antall korrekte betegnelser | Totalt antall feil betegnelser | Totalt antall ingen betegnelser | % korrekte betegnelser |
|-------------|----------|-----------------------|-----------------------|-----------------------------|--------------------------|--------------------------------|------------|------------------------------------|--------------------------------|---------------------------------|------------------------|
| 52          | 8        | 24811020              | 24811109              | 90                          | 89                       | PolyG (7), CTC (4), indel      | 0,61       | 2113                               | 0                              | 23                              | 98,9                   |
| 53          | 8        | 76518625              | 76518691              | 67                          | 67                       | Indel                          | 0,3        | 1608                               | 0                              | 0                               | 100                    |
| 54          | 9        | 103054909             | 103055006             | 98                          | 98                       | PolyG (6)                      | 0,67       | 2352                               | 0                              | 0                               | 100                    |
| 55          | 9        | 105586150             | 105586214             | 65                          | 65                       | Indel                          | 0,32       | 1560                               | 0                              | 0                               | 100                    |
| 56          | 9        | 107620823             | 107620918             | 96                          | 96                       | N/A                            | 0,49       | 2304                               | 0                              | 0                               | 100                    |
| 57          | 9        | 123769149             | 123769231             | 83                          | 83                       | AT (3)                         | 0,37       | 1992                               | 0                              | 0                               | 100                    |
| 58          | 9        | 138995345             | 138995441             | 97                          | 97                       | PolyC (6), indel               | 0,68       | 2328                               | 0                              | 0                               | 100                    |
| 59          | 10       | 5987120               | 5987198               | 79                          | 78                       | PolyG (5), indel               | 0,47       | 1872                               | 0                              | 0                               | 100                    |
| 60          | 10       | 11784629              | 11784726              | 98                          | 91                       | GC (3)                         | 0,87       | 2184                               | 0                              | 0                               | 100                    |
| 61          | 10       | 27317777              | 27317855              | 79                          | 79                       | PolyT (5)                      | 0,3        | 1896                               | 0                              | 0                               | 100                    |
| 62          | 10       | 33018351              | 33018440              | 90                          | 90                       | PolyA (5), PolyT (5)           | 0,2        | 2160                               | 0                              | 0                               | 100                    |
| 63          | 10       | 45084159              | 45084253              | 95                          | 95                       | Indel                          | 0,35       | 2280                               | 0                              | 0                               | 100                    |
| 64          | 10       | 55892599              | 55892687              | 89                          | 88                       | AC (11), indel                 | 0,42       | 2102                               | 0                              | 10                              | 99,5                   |
| 65          | 10       | 101611250             | 101611329             | 80                          | 80                       | N/A                            | 0,49       | 1920                               | 0                              | 0                               | 100                    |
| 66          | 10       | 118351373             | 118351453             | 81                          | 81                       | N/A                            | 0,51       | 1944                               | 0                              | 0                               | 100                    |
| 67          | 11       | 8159816               | 8159912               | 97                          | 96                       | N/A                            | 0,45       | 2304                               | 0                              | 0                               | 100                    |
| 68          | 11       | 30177648              | 30177717              | 70                          | 70                       | Indel                          | 0,46       | 1680                               | 0                              | 0                               | 100                    |
| 69          | 11       | 47470345              | 47470444              | 100                         | 100                      | N/A                            | 0,65       | 2400                               | 0                              | 0                               | 100                    |
| 70          | 11       | 59837679              | 59837740              | 62                          | 62                       | Indel                          | 0,37       | 1488                               | 0                              | 0                               | 100                    |
| 71          | 11       | 64418856              | 64418957              | 102                         | 102                      | N/A                            | 0,59       | 2448                               | 0                              | 0                               | 100                    |
| 72          | 11       | 93529612              | 93529684              | 73                          | 73                       | PolyA (5)                      | 0,4        | 1752                               | 0                              | 0                               | 100                    |
| 73          | 11       | 101347052             | 101347136             | 85                          | 85                       | N/A                            | 0,42       | 2040                               | 0                              | 0                               | 100                    |
| 74          | 11       | 102477336             | 102477426             | 91                          | 91                       | PolyG (6)                      | 0,55       | 2184                               | 0                              | 0                               | 100                    |
| 75          | 11       | 118406285             | 118406369             | 85                          | 85                       | Indel                          | 0,53       | 2040                               | 0                              | 0                               | 100                    |
| 76          | 11       | 120357801             | 120357885             | 85                          | 85                       | PolyA (5), CA (3), indel       | 0,34       | 2040                               | 0                              | 0                               | 100                    |
| 77          | 11       | 125769313             | 125769397             | 85                          | 85                       | GA (3)                         | 0,52       | 2040                               | 0                              | 0                               | 100                    |
| 78          | 12       | 2834770               | 2834853               | 84                          | 84                       | PolyC (5), indel               | 0,52       | 2016                               | 0                              | 0                               | 100                    |

| PCR-produkt | Kromosom | Start for PCR-produkt | Slutt for PCR-produkt | Analysert fragmentstørrelse | Baser i konfidensområder | Genomisk innhold i PCR-produkt         | GC-innhold | Totalt antall korrekte betegnelser | Totalt antall feil betegnelser | Totalt antall ingen betegnelser | % korrekte betegnelser |
|-------------|----------|-----------------------|-----------------------|-----------------------------|--------------------------|--|------------|------------------------------------|--------------------------------|---------------------------------|------------------------|
| 79          | 12       | 26811004              | 26811096              | 93                          | 93                       | PolyA (7), AC (4)                      | 0,33       | 2232                               | 0                              | 0                               | 100                    |
| 80          | 12       | 30881766              | 30881846              | 81                          | 81                       | N/A                                    | 0,49       | 1944                               | 0                              | 0                               | 100                    |
| 81          | 12       | 88474105              | 88474175              | 71                          | 71                       | PolyA (6)                              | 0,35       | 1704                               | 0                              | 0                               | 100                    |
| 82          | 12       | 120966872             | 120966966             | 95                          | 95                       | PolyG (5)                              | 0,68       | 2280                               | 0                              | 0                               | 100                    |
| 83          | 13       | 24167504              | 24167576              | 73                          | 73                       | N/A                                    | 0,52       | 1752                               | 0                              | 0                               | 100                    |
| 84          | 13       | 25816961              | 25817049              | 89                          | 88                       | PolyA (5), PolyT (7), PolyA (7), indel | 0,22       | 2112                               | 0                              | 0                               | 100                    |
| 85          | 13       | 44880112              | 44880200              | 89                          | 89                       | Indel                                  | 0,49       | 2136                               | 0                              | 0                               | 100                    |
| 86          | 13       | 77665218              | 77665294              | 77                          | 77                       | Indel                                  | 0,39       | 1848                               | 0                              | 0                               | 100                    |
| 87          | 14       | 31619327              | 31619393              | 67                          | 67                       | GA (3), TA (3)                         | 0,39       | 1608                               | 0                              | 0                               | 100                    |
| 88          | 14       | 39517884              | 39517966              | 83                          | 83                       | N/A                                    | 0,25       | 1992                               | 0                              | 0                               | 100                    |
| 89          | 14       | 46958962              | 46959034              | 73                          | 72                       | PolyT (5), indel                       | 0,19       | 1727                               | 0                              | 1                               | 99,9                   |
| 90          | 14       | 58050030              | 58050110              | 81                          | 81                       | Indel                                  | 0,38       | 1944                               | 0                              | 0                               | 100                    |
| 91          | 14       | 82390559              | 82390649              | 91                          | 91                       | Indel                                  | 0,35       | 2184                               | 0                              | 0                               | 100                    |
| 92          | 14       | 92549544              | 92549609              | 66                          | 66                       | PolyA (5)                              | 0,41       | 1584                               | 0                              | 0                               | 100                    |
| 93          | 14       | 102808496             | 102808589             | 94                          | 94                       | Indel                                  | 0,62       | 2256                               | 0                              | 0                               | 100                    |
| 94          | 15       | 43170751              | 43170848              | 98                          | 96                       | PolyC (5)                              | 0,45       | 2304                               | 0                              | 0                               | 100                    |
| 95          | 15       | 63446149              | 63446216              | 68                          | 68                       | Indel                                  | 0,25       | 1632                               | 0                              | 0                               | 100                    |
| 96          | 15       | 77879807              | 77879901              | 95                          | 93                       | PolyG (5), indel                       | 0,68       | 2232                               | 0                              | 0                               | 100                    |
| 97          | 15       | 81625334              | 81625428              | 95                          | 95                       | PolyT (6)                              | 0,43       | 2280                               | 0                              | 0                               | 100                    |
| 98          | 15       | 85438263              | 85438334              | 72                          | 71                       | Indel                                  | 0,65       | 1704                               | 0                              | 0                               | 100                    |
| 99          | 15       | 89817413              | 89817503              | 91                          | 91                       | N/A                                    | 0,36       | 2184                               | 0                              | 0                               | 100                    |
| 100         | 15       | 89864274              | 89864343              | 70                          | 70                       | Indel                                  | 0,56       | 1680                               | 0                              | 0                               | 100                    |
| 101         | 16       | 1894910               | 1894972               | 63                          | 63                       | N/A                                    | 0,27       | 1512                               | 0                              | 0                               | 100                    |
| 102         | 16       | 28997904              | 28997998              | 95                          | 95                       | PolyC (5)                              | 0,67       | 2280                               | 0                              | 0                               | 100                    |
| 103         | 16       | 53682908              | 53682994              | 87                          | 87                       | TA (3)                                 | 0,41       | 2088                               | 0                              | 0                               | 100                    |
| 104         | 16       | 57954406              | 57954509              | 104                         | 104                      | PolyC (5)                              | 0,67       | 2496                               | 0                              | 0                               | 100                    |
| 105         | 16       | 85706375              | 85706465              | 91                          | 91                       | PolyT (5), indel                       | 0,37       | 2184                               | 0                              | 0                               | 100                    |
| 106         | 17       | 3563920               | 3564008               | 89                          | 89                       | GC (3)                                 | 0,64       | 2136                               | 0                              | 0                               | 100                    |

| PCR-produkt | Kromosom | Start for PCR-produkt | Slutt for PCR-produkt | Analysert fragmentstørrelse | Baser i konfidensområder | Genomisk innhold i PCR-produkt           | GC-innhold | Totalt antall korrekte betegnelser | Totalt antall feil betegnelser | Totalt antall ingen betegnelser | % korrekte betegnelser |
|-------------|----------|-----------------------|-----------------------|-----------------------------|--------------------------|--|------------|------------------------------------|--------------------------------|---------------------------------|------------------------|
| 107         | 17       | 3594191               | 3594277               | 87                          | 87                       | PolyC (5), indel                         | 0,67       | 2088                               | 0                              | 0                               | 100                    |
| 108         | 17       | 3970090               | 3970180               | 91                          | 91                       | Indel                                    | 0,46       | 2184                               | 0                              | 0                               | 100                    |
| 109         | 17       | 16084945              | 16085037              | 93                          | 93                       | Indel                                    | 0,26       | 2232                               | 0                              | 0                               | 100                    |
| 110         | 17       | 33998759              | 33998849              | 91                          | 89                       | PolyT (5)                                | 0,54       | 2136                               | 0                              | 0                               | 100                    |
| 111         | 17       | 39589691              | 39589774              | 84                          | 82                       | PolyA (13), indel (x2)                   | 0,29       | 1944                               | 7                              | 17                              | 98,8                   |
| 112         | 17       | 41244394              | 41244484              | 91                          | 91                       | PolyA (5)                                | 0,34       | 2184                               | 0                              | 0                               | 100                    |
| 113         | 17       | 45438866              | 45438957              | 92                          | 92                       | PolyA (7), AT (3), AT (4), AT (4), indel | 0,26       | 2208                               | 0                              | 0                               | 100                    |
| 114         | 17       | 61502432              | 61502510              | 79                          | 79                       | Indel                                    | 0,41       | 1887                               | 0                              | 9                               | 99,5                   |
| 115         | 17       | 64023582              | 64023667              | 86                          | 86                       | PolyT (7)                                | 0,22       | 2064                               | 0                              | 0                               | 100                    |
| 116         | 17       | 72308237              | 72308320              | 84                          | 84                       | GAG (3)                                  | 0,62       | 2016                               | 0                              | 0                               | 100                    |
| 117         | 18       | 2616456               | 2616522               | 67                          | 67                       | GA (3)                                   | 0,31       | 1608                               | 0                              | 0                               | 100                    |
| 118         | 18       | 6980478               | 6980568               | 91                          | 91                       | N/A                                      | 0,37       | 2184                               | 0                              | 0                               | 100                    |
| 119         | 18       | 9888026               | 9888094               | 69                          | 69                       | PolyA (6), TG (3)                        | 0,43       | 1656                               | 0                              | 0                               | 100                    |
| 120         | 18       | 38836999              | 38837073              | 75                          | 75                       | PolyA (5), indel                         | 0,37       | 1800                               | 0                              | 0                               | 100                    |
| 121         | 18       | 47405382              | 47405462              | 81                          | 81                       | CTC (3), indel                           | 0,47       | 1944                               | 0                              | 0                               | 100                    |
| 122         | 18       | 54815665              | 54815749              | 85                          | 85                       | CT (3), indel                            | 0,45       | 2040                               | 0                              | 0                               | 100                    |
| 123         | 18       | 59773996              | 59774060              | 65                          | 65                       | N/A                                      | 0,48       | 1560                               | 0                              | 0                               | 100                    |
| 124         | 19       | 625143                | 625241                | 99                          | 99                       | N/A                                      | 0,59       | 2376                               | 0                              | 0                               | 100                    |
| 125         | 19       | 18121418              | 18121491              | 74                          | 74                       | N/A                                      | 0,68       | 1775                               | 1                              | 0                               | 99,9                   |
| 126         | 19       | 18186574              | 18186643              | 70                          | 70                       | N/A                                      | 0,64       | 1680                               | 0                              | 0                               | 100                    |
| 127         | 20       | 746056                | 746149                | 94                          | 94                       | N/A                                      | 0,61       | 2256                               | 0                              | 0                               | 100                    |
| 128         | 20       | 10633195              | 10633276              | 82                          | 82                       | AC (3)                                   | 0,59       | 1968                               | 0                              | 0                               | 100                    |
| 129         | 20       | 17705633              | 17705708              | 76                          | 76                       | CT (3)                                   | 0,58       | 1824                               | 0                              | 0                               | 100                    |
| 130         | 20       | 21766821              | 21766890              | 70                          | 70                       | GT (3), TG (4), indel                    | 0,46       | 1680                               | 0                              | 0                               | 100                    |
| 131         | 20       | 25278421              | 25278521              | 101                         | 101                      | Indel                                    | 0,63       | 2424                               | 0                              | 0                               | 100                    |
| 132         | 20       | 50897302              | 50897368              | 67                          | 67                       | Indel                                    | 0,36       | 1608                               | 0                              | 0                               | 100                    |
| 133         | 20       | 62331904              | 62331994              | 91                          | 88                       | PolyG (6)                                | 0,73       | 2112                               | 0                              | 0                               | 100                    |
| 134         | 20       | 62690860              | 62690946              | 87                          | 87                       | Indel                                    | 0,57       | 2088                               | 0                              | 0                               | 100                    |

| PCR-produkt | Kromosom | Start for PCR-produkt | Slutt for PCR-produkt | Analysert fragmentstørrelse | Baser i konfidensområder | Genomisk innhold i PCR-produkt | GC-innhold | Totalt antall korrekte betegnelser | Totalt antall feil betegnelser | Totalt antall ingen betegnelser | % korrekte betegnelser |
|-------------|----------|-----------------------|-----------------------|-----------------------------|--------------------------|--------------------------------|------------|------------------------------------|--------------------------------|---------------------------------|------------------------|
| 135         | 21       | 30300823              | 30300888              | 66                          | 66                       | Indel                          | 0,35       | 1584                               | 0                              | 0                               | 100                    |
| 136         | 21       | 33694176              | 33694273              | 98                          | 98                       | PolyT (6), CA (3)              | 0,54       | 2352                               | 0                              | 0                               | 100                    |
| 137         | 21       | 36710706              | 36710792              | 87                          | 87                       | GT (3), indel                  | 0,39       | 2088                               | 0                              | 0                               | 100                    |
| 138         | 21       | 46644924              | 46644992              | 69                          | 69                       | PolyA (6), AG (3), indel       | 0,32       | 1656                               | 0                              | 0                               | 100                    |
| 139         | 21       | 46705575              | 46705664              | 90                          | 90                       | PolyT (5), PolyA (6)           | 0,5        | 2160                               | 0                              | 0                               | 100                    |
| 140         | 22       | 25750774              | 25750873              | 100                         | 100                      | Indel                          | 0,63       | 2400                               | 0                              | 0                               | 100                    |
| 141         | 22       | 32439233              | 32439329              | 97                          | 97                       | N/A                            | 0,68       | 2328                               | 0                              | 0                               | 100                    |
| 142         | 22       | 37409844              | 37409940              | 97                          | 97                       | Indel                          | 0,46       | 2328                               | 0                              | 0                               | 100                    |
| 143         | 22       | 37637596              | 37637694              | 99                          | 99                       | N/A                            | 0,6        | 2376                               | 0                              | 0                               | 100                    |
| 144         | 22       | 47081347              | 47081438              | 92                          | 92                       | Indel                          | 0,66       | 2208                               | 0                              | 0                               | 100                    |
| 145         | X        | 15870424              | 15870492              | 69                          | 69                       | PolyT (5)                      | 0,26       | 1656                               | 0                              | 0                               | 100                    |
| 146         | X        | 135288543             | 135288611             | 69                          | 69                       | PolyC (5)                      | 0,62       | 1656                               | 0                              | 0                               | 100                    |
| 147         | X        | 135290777             | 135290847             | 71                          | 71                       | N/A                            | 0,52       | 1704                               | 0                              | 0                               | 100                    |
| 148         | Ja       | 2655397               | 2655461               | 65                          | 0                        | N/A                            | 0,55       | 0                                  | 0                              | 0                               | N/A                    |
| 149         | Ja       | 2655519               | 2655609               | 91                          | 0                        | N/A                            | 0,48       | 0                                  | 0                              | 0                               | N/A                    |
| 150         | Ja       | 2655609               | 2655679               | 71                          | 0                        | PolyA (5)                      | 0,37       | 0                                  | 0                              | 0                               | N/A                    |

Varianter som var ingen betegnelser, er oppsummert i [Tabell 3](#). De bestemte filtrene som førte til ingen betegnelser, er oppført i tabellen. insersjonen på PCR-produkt 111 ble filtrert for ni av 16 forekomster med de gjenværende sju forekomster betegnet som referanse og er derfor FN-er.

Tabell 3 Oppsummering av varianter av ingen betegnelser

| PCR-produktnr. | Krom:Pos    | Variant | Korresponderende PCR-produktinnhold | Filter            | Utelatte varianter | Forventede varianter | FN-betegnelser |
|----------------|-------------|---------|-------------------------------------|-------------------|--------------------|----------------------|----------------|
| 64             | 10:55892600 | TAC > T | AC (11), 42 % GC                    | R5x9 <sup>1</sup> | 10                 | 10                   | 0              |
| 111            | 17:39589692 | C > CA  | PolyA (13), 29 % GC                 | R5x9              | 9                  | 16                   | 7              |

<sup>1</sup> R5x9: Gjenta filteret. En variant filtreres dersom hele eller deler av varianten er til stede gjentatte ganger i referansegenomet ved siden av variantposisjonen. Minst ni repetisjoner i referansen kreves, og bare repetisjoner med en lengde på opptil 5 bp vurderes.

Sekvenseringsresultatene for prøve NA12878 ble sammenlignet med en svært sikker genotype for NA12878, etablert av National Institutes of Standards and Technology (NIST) (v.2.19). Av de 150 amplikonene var 92 fullstendig innenfor de genomske konfidensområdene, 41 amplikoner hadde delvis overlapping og 17 amplikoner hadde ingen overlapping i NIST-sekvensen. Dette resulterte i 10 000 koordinater per replikat for sammenligning. Basebetegnelser uten variant ble sammenlignet med referansesekvensform 19 for humant genom. Nøyaktighetsresultatene er vist i [Tabell 4](#).

Tabell 4 Samsvar av basebetegnelsestyper for MiSeqDx-instrumentet for NA12878-prøve med NIST-database

| Prøve   | Antall PCR-produkter | Gjennomsnittlig betegnelsefrekvens | Totalt antall TP-variante | Totalt antall FN-variante | Totalt antall TN-betegnelser | Totalt antall FP-betegnelser | PPA | NPA | OPA |
|---------|----------------------|------------------------------------|---------------------------|---------------------------|------------------------------|------------------------------|-----|-----|-----|
|         |                      |                                    |                           |                           |                              |                              |     |     |     |
| NA12878 | 133                  | 99,98                              | 208                       | 0                         | 19380                        | 0                            | 100 | 100 | 100 |

Prøvene ble ytterligere analysert for betegnelse av små insersjoner og delesjoner (indeler) ([Tabell 5](#)). I noen tilfeller var indelen felles blant to eller flere prøver som gjenspeilt i totalt antall prøvereplikater med Indel-kolonnen. Resultater for begge replikater av de 12 gyldige prøvene er inkludert i [Tabell 5](#). Det var totalt 71 indeler, som varierte i størrelse fra 1–24 bp for insersjoner og 1–25 bp for delesjoner. 69 indeler ble hver påvist med et positivt prosentsamsvar på 100 %. Én delesjon (amplikon 64; 2 bp delesjon (chr10 55892600 TAC>T) hadde ingen korrekte betegnelser fordi hver av disse variantene var en ingen betegnelse på grunn av R5x9-filteret. Derfor kunne ikke PPA, som utelukker ingen betegnelser, beregnes. En annen indel, 1 bp-innsetting (chr17 39589692 C>CA på amplikon 111), hadde heller ingen korrekte betegnelser fordi ni varianter var en ingen betegnelse på grunn av R5x9-filteret og syv var FN-betegnelser.

Tabell 5 Oppsummering av indelpåvisning med MiSeqDx-instrumentet

| PCR-produkt | Kromosom | Posisjon  | Analyseret fragmentstørrelse | Type og lengde indel for PCR-produkt | Indel                       | Totalt antall prøvereplikater med indel | Antall ingen betegnelser | Totalt antall feil indelbetegnelser | Totalt antall korrekte indelbetegnelser | PPA |
|-------------|----------|-----------|------------------------------|--------------------------------------|-----------------------------|---|--------------------------|-------------------------------------|---|-----|
| 1           | 1        | 36450544  | 93                           | 25 bp delesjon                       | GAAAATTAATGAAACACATTGTCCT>G | 2                                       | 0                        | 0                                   | 2                                       | 100 |
| 2           | 1        | 109465165 | 79                           | 3 bp delesjon                        | ACTT>A                      | 12                                      | 0                        | 0                                   | 12                                      | 100 |
| 3           | 1        | 218353908 | 91                           | 23 bp insersjon                      | T>TTTAATAGCAAAAGAGGCTAGA    | 24                                      | 0                        | 0                                   | 24                                      | 100 |
| 4           | 1        | 223906701 | 92                           | 17 bp delesjon                       | GACAGACTGTGAGGAAGA>G        | 10                                      | 0                        | 0                                   | 10                                      | 100 |
| 6           | 1        | 236372081 | 70                           | 5 bp insersjon                       | C>CTTAAG                    | 10                                      | 0                        | 0                                   | 10                                      | 100 |

| PCR-produkt | Kromosom | Posisjon  | Analysert fragmentstørrelse | Type og lengde indel for PCR-produkt | Indel                       | Totalt antall prøvereplikater med indel | Antall ingen betegneler | Totalt antall feil indelbetegneler | Totalt antall korrekte indelbetegneler | PPA |
|-------------|----------|-----------|-----------------------------|--------------------------------------|-----------------------------|---|-------------------------|------------------------------------|--|-----|
| 7           | 1        | 247812083 | 88                          | 3 bp insersjon                       | C>CATG                      | 10                                      | 0                       | 0                                  | 10                                     | 100 |
| 8           | 2        | 55862804  | 90                          | 7 bp insersjon                       | T>TTGGTAA                   | 14                                      | 0                       | 0                                  | 14                                     | 100 |
| 9           | 2        | 87003972  | 80                          | 6 bp delesjon                        | TTATCTC>T                   | 6                                       | 0                       | 0                                  | 6                                      | 100 |
| 13          | 2        | 200796749 | 87                          | 5 bp insersjon                       | T>TTAAA                     | 24                                      | 0                       | 0                                  | 24                                     | 100 |
| 14          | 2        | 212245090 | 91                          | 12 bp insersjon                      | C>CTGAAAATAGGAT             | 14                                      | 0                       | 0                                  | 14                                     | 100 |
| 16          | 2        | 235016388 | 73                          | 2 bp insersjon                       | A>ATG                       | 12                                      | 0                       | 0                                  | 12                                     | 100 |
| 17          | 3        | 4466274   | 93                          | 23 bp delesjon                       | TAACTTAAATTACAAAATAACCC>T   | 2                                       | 0                       | 0                                  | 2                                      | 100 |
| 19          | 3        | 49851375  | 70                          | 9 bp insersjon                       | C>CCTGGCTCCT                | 4                                       | 0                       | 0                                  | 4                                      | 100 |
| 21          | 3        | 190106071 | 75                          | 1 bp delesjon                        | AG>A                        | 20                                      | 0                       | 0                                  | 20                                     | 100 |
| 25          | 4        | 56236567  | 66                          | 8 bp delesjon                        | TAACCGAAA>T                 | 12                                      | 0                       | 0                                  | 12                                     | 100 |
| 27          | 4        | 164446785 | 62                          | 11 bp insersjon                      | T>TTATGGTATTGA              | 12                                      | 0                       | 0                                  | 12                                     | 100 |
| 31          | 5        | 74077155  | 83                          | 4 bp delesjon                        | TAGTA>T                     | 10                                      | 0                       | 0                                  | 10                                     | 100 |
| 34          | 5        | 155662255 | 75                          | 8 bp insersjon                       | G>GCCTACTGA                 | 20                                      | 0                       | 0                                  | 20                                     | 100 |
| 36          | 6        | 24950035  | 92                          | 21 bp delesjon                       | CCCTGGGTGCTATAGCCCACCA>C    | 10                                      | 0                       | 0                                  | 10                                     | 100 |
| 37          | 6        | 31084942  | 100                         | 3 bp delesjon                        | GCTT>G                      | 14                                      | 0                       | 0                                  | 14                                     | 100 |
| 39          | 6        | 32986905  | 95                          | 25 bp delesjon                       | CTTTCACTTCCCGTCTCATGCAAAG>C | 12                                      | 0                       | 0                                  | 12                                     | 100 |
| 41          | 6        | 41647442  | 95                          | 23 bp delesjon                       | GGCATGAGGCTGGTGACATGGCA>G   | 8                                       | 0                       | 0                                  | 8                                      | 100 |
| 44          | 7        | 66276142  | 88                          | 1 bp insersjon                       | C>CT                        | 16                                      | 0                       | 0                                  | 16                                     | 100 |
| 46          | 7        | 110939983 | 85                          | 4 bp delesjon                        | CAAGT>C                     | 12                                      | 0                       | 0                                  | 12                                     | 100 |
| 47          | 7        | 128533514 | 90                          | 1 bp insersjon                       | T>TC                        | 24                                      | 0                       | 0                                  | 24                                     | 100 |
| 48          | 7        | 149503916 | 91                          | 4 bp delesjon                        | GGATA>G                     | 8                                       | 0                       | 0                                  | 8                                      | 100 |
| 50          | 7        | 156476548 | 93                          | 11 bp delesjon                       | GAATCTGCACTT>G              | 12                                      | 0                       | 0                                  | 12                                     | 100 |
| 52          | 8        | 24811064  | 90                          | 1 bp delesjon                        | AG>A                        | 24                                      | 0                       | 0                                  | 24                                     | 100 |
| 53          | 8        | 76518677  | 67                          | 4 bp insersjon                       | T>TACTG                     | 14                                      | 0                       | 0                                  | 14                                     | 100 |
| 55          | 9        | 105586193 | 65                          | 4 bp insersjon                       | C>CAATT                     | 2                                       | 0                       | 0                                  | 2                                      | 100 |
| 58          | 9        | 138995370 | 97                          | 21 bp delesjon                       | TCTGGGGGGCAGCCCCCTGAGGG>T   | 14                                      | 0                       | 0                                  | 14                                     | 100 |
| 59          | 10       | 5987158   | 79                          | 3 bp delesjon                        | TAAC>T                      | 10                                      | 0                       | 0                                  | 10                                     | 100 |
| 63          | 10       | 45084202  | 95                          | 16 bp delesjon                       | AGCGTCTATAACCAAAT>A         | 12                                      | 0                       | 0                                  | 12                                     | 100 |

| PCR-produkt | Kromosom | Posisjon  | Analysert fragmentstørrelse | Type og lengde indel for PCR-produkt | Indel                        | Totalt antall prøvereplikater med indel | Antall ingen betegnelser | Totalt antall feil indelbetegnelser | Totalt antall korrekte indelbetegnelser | PPA |
|-------------|----------|-----------|-----------------------------|--------------------------------------|------------------------------|---|--------------------------|-------------------------------------|---|-----|
| 64          | 10       | 55892600  | 89                          | 2 bp delesjon                        | TAC>T                        | 10                                      | 10                       | 0                                   | 0                                       | N/A |
| 68          | 11       | 30177690  | 70                          | 2 bp insersjon                       | C>CTG                        | 10                                      | 0                        | 0                                   | 10                                      | 100 |
| 70          | 11       | 59837721  | 62                          | 8 bp insersjon                       | T>TTATGAAAA                  | 12                                      | 0                        | 0                                   | 12                                      | 100 |
| 75          | 11       | 118406328 | 85                          | 8 bp delesjon                        | CAGTGTGGA>C                  | 10                                      | 0                        | 0                                   | 10                                      | 100 |
| 76          | 11       | 120357842 | 85                          | 2 bp delesjon                        | CTT>C                        | 10                                      | 0                        | 0                                   | 10                                      | 100 |
| 78          | 12       | 2834814   | 84                          | 21 bp insersjon                      | T>TTCTCAGTACGGTGAAACCCAG     | 24                                      | 0                        | 0                                   | 24                                      | 100 |
| 84          | 13       | 25817002  | 89                          | 19 bp insersjon                      | C>CAAAATATAAAAAGCTCCCT       | 24                                      | 0                        | 0                                   | 24                                      | 100 |
| 85          | 13       | 44880152  | 89                          | 4 bp insersjon                       | C>CCTGT                      | 12                                      | 0                        | 0                                   | 12                                      | 100 |
| 86          | 13       | 77665265  | 77                          | 20 bp delesjon                       | ATCTATTTCTAATAGACGGC>A       | 14                                      | 0                        | 0                                   | 14                                      | 100 |
| 89          | 14       | 46958967  | 73                          | 22 bp delesjon                       | TTTAAATTGAAATGTGATAAAA>T     | 24                                      | 0                        | 0                                   | 24                                      | 100 |
| 90          | 14       | 58050081  | 81                          | 4 bp insersjon                       | C>CTGAT                      | 20                                      | 0                        | 0                                   | 20                                      | 100 |
| 91          | 14       | 82390602  | 91                          | 16 bp delesjon                       | CTTGCTCTATAAACCGT>C          | 10                                      | 0                        | 0                                   | 10                                      | 100 |
| 93          | 14       | 102808554 | 94                          | 5 bp delesjon                        | CGTGGAA>C                    | 10                                      | 0                        | 0                                   | 10                                      | 100 |
| 95          | 15       | 63446199  | 68                          | 6 bp delesjon                        | CAAATT>C                     | 12                                      | 0                        | 0                                   | 12                                      | 100 |
| 96          | 15       | 77879862  | 95                          | 25 bp delesjon                       | GCCCCCTGAGGCCAGCCTCCGCTTTA>G | 14                                      | 0                        | 0                                   | 14                                      | 100 |
| 98          | 15       | 85438311  | 72                          | 3 bp insersjon                       | C>CTTG                       | 8                                       | 0                        | 0                                   | 8                                       | 100 |
| 100         | 15       | 89864316  | 70                          | 4 bp insersjon                       | G>GCTAC                      | 8                                       | 0                        | 0                                   | 8                                       | 100 |
| 105         | 16       | 85706416  | 91                          | 7 bp delesjon                        | ATTATTC>A                    | 16                                      | 0                        | 0                                   | 16                                      | 100 |
| 107         | 17       | 3594276   | 87                          | 1 bp delesjon                        | TG>T                         | 2                                       | 0                        | 0                                   | 2                                       | 100 |
| 108         | 17       | 3970133   | 91                          | 18 bp insersjon                      | A>ATCCTATTCTACTCTGAAT        | 10                                      | 0                        | 0                                   | 10                                      | 100 |
| 109         | 17       | 16084985  | 93                          | 4 bp insersjon                       | A>AACAC                      | 10                                      | 0                        | 0                                   | 10                                      | 100 |
| 111         | 17       | 39589692  | 84                          | 1 bp insersjon                       | C>CA                         | 16                                      | 9                        | 7                                   | 0                                       | 0   |
| 112         | 17       | 39589739  | 84                          | 24 bp insersjon                      | T>TTCTGAAGGTCAAGTCTATCCCTGA  | 24                                      | 0                        | 0                                   | 24                                      | 100 |
| 113         | 17       | 45438886  | 92                          | 4 bp delesjon                        | CAGTG>C                      | 12                                      | 0                        | 0                                   | 12                                      | 100 |
| 114         | 17       | 61502459  | 79                          | 12 bp delesjon                       | TTTGTATCTGCTG>T              | 20                                      | 0                        | 0                                   | 20                                      | 100 |
| 120         | 18       | 38837054  | 75                          | 22 bp insersjon                      | T>TGTATCTTAGCAAAGTTCTCA      | 24                                      | 0                        | 0                                   | 24                                      | 100 |
| 121         | 18       | 47405425  | 81                          | 3 bp insersjon                       | T>TGAG                       | 20                                      | 0                        | 0                                   | 20                                      | 100 |
| 122         | 18       | 54815706  | 85                          | 2 bp delesjon                        | ACT>A                        | 20                                      | 0                        | 0                                   | 20                                      | 100 |

| PCR-produkt | Kromosom | Posisjon | Analysert fragmentstørrelse | Type og lengde indel for PCR-produkt | Indel                    | Totalt antall prøvereplikater med indel | Antall ingen betegnelser | Totalt antall feil indelbetegnelser | Totalt antall korrekte indelbetegnelser | PPA |
|-------------|----------|----------|-----------------------------|--------------------------------------|--------------------------|---|--------------------------|-------------------------------------|---|-----|
| 130         | 20       | 21766863 | 70                          | 15 bp delesjon                       | TACTTGAGAACTGAGG>T       | 4                                       | 0                        | 0                                   | 4                                       | 100 |
| 131         | 20       | 25278464 | 101                         | 5 bp insersjon                       | A>AGTGGG                 | 20                                      | 0                        | 0                                   | 20                                      | 100 |
| 132         | 20       | 50897361 | 67                          | 11 bp insersjon                      | G>CGAATGTCAGCC           | 24                                      | 0                        | 0                                   | 24                                      | 100 |
| 134         | 20       | 62690925 | 87                          | 16 bp delesjon                       | TCCTGGCTGGCCTGTGG>T      | 10                                      | 0                        | 0                                   | 10                                      | 100 |
| 135         | 21       | 30300873 | 66                          | 11 bp insersjon                      | G>GATAAAACTTTA           | 10                                      | 0                        | 0                                   | 10                                      | 100 |
| 137         | 21       | 36710749 | 87                          | 21 bp delesjon                       | ACTCAAGATAACTCATGTTATC>A | 16                                      | 0                        | 0                                   | 16                                      | 100 |
| 138         | 21       | 46644985 | 69                          | 5 bp delesjon                        | GTTGTT>G                 | 8                                       | 0                        | 0                                   | 8                                       | 100 |
| 140         | 22       | 25750814 | 100                         | 6 bp insersjon                       | C>CAGGGCA                | 20                                      | 0                        | 0                                   | 20                                      | 100 |
| 142         | 22       | 37409885 | 97                          | 5 bp insersjon                       | C>CTGTTT                 | 2                                       | 0                        | 0                                   | 2                                       | 100 |
| 144         | 22       | 47081407 | 92                          | 10 bp delesjon                       | GGGGCACAGGCA>G           | 12                                      | 0                        | 0                                   | 12                                      | 100 |

## Reproduserbarhet

To studier ble gjennomført for å vurdere reproduserbarheten til MiSeqDx-instrumentet med cellelinjer (studie 1 og 2) eller leukocyttuttømt blod tilsatt cellelinjer (studie 2). Studie 1 brukte flere instrumenter. Studie 2 hadde flere steder.

### Studie 1

Reproduserbarheten til MiSeqDx-instrumentet ble fastslått ved bruk av to instrumenter, to operatører og to reagensloter i totalt åtte kjøringer. Den representative analysen, prøvene og referansemetoden er de samme som beskrevet for nøyaktighetsstudien.

Resultatene er presentert på et per amplikon-grunnlag for hvert instrument ([Tabell 6](#)) for å vise reproduserbarheten for betegnelse på tvers av instrumenter. % korrekte betegnelser omfattet både feil og ingen betegnelser (ett eller flere filtre er ikke oppfylt for variantbetegnelse). Instrumentene genererte lignende antall ingen betegnelser og feil betegnelser avhengig av det spesielle PCR-produktet.

Tabell 6 Studieresultater for instrument til instrument-reproduserbarhet for MiSeqDx-instrumentet (amplikon-produktnivå)

| PCR-produkt | Kromosom | Start for PCR-produkt | Slutt for PCR-produkt | Analysert fragmentstørrelse | Baser i konfidensområder | Genomisk innhold i PCR-produkt    | GC-innhold | MiSeqDx 1                   |                         |                                 | MiSeqDx 2                   |                         |                                 |
|-------------|----------|-----------------------|-----------------------|-----------------------------|--------------------------|-----------------------------------|------------|-----------------------------|-------------------------|---------------------------------|-----------------------------|-------------------------|---------------------------------|
|             |          |                       |                       |                             |                          |                                   |            | Totalt korrekte betegnelser | Totalt feil betegnelser | Totalt antall ingen betegnelser | Totalt korrekte betegnelser | Totalt feil betegnelser | Totalt antall ingen betegnelser |
| 1           | 1        | 36450499              | 36450591              | 93                          | 93                       | Indel                             | 0,22       | 8928                        | 0                       | 0                               | 8928                        | 0                       | 0                               |
| 2           | 1        | 109465122             | 109465200             | 79                          | 79                       | PolyA (5), PolyC (5), indel       | 0,38       | 7584                        | 0                       | 0                               | 7584                        | 0                       | 0                               |
| 3           | 1        | 218353867             | 218353957             | 91                          | 91                       | Indel                             | 0,4        | 8736                        | 0                       | 0                               | 8736                        | 0                       | 0                               |
| 4           | 1        | 223906657             | 223906748             | 92                          | 92                       | Indel                             | 0,49       | 8832                        | 0                       | 0                               | 8832                        | 0                       | 0                               |
| 5           | 1        | 228526602             | 228526682             | 81                          | 81                       | PolyG (5)                         | 0,69       | 7776                        | 0                       | 0                               | 7776                        | 0                       | 0                               |
| 6           | 1        | 236372039             | 236372108             | 70                          | 70                       | PolyT (10), indel                 | 0,39       | 6720                        | 0                       | 0                               | 6720                        | 0                       | 0                               |
| 7           | 1        | 247812041             | 247812128             | 88                          | 88                       | PolyA (5), CT (3), TAA (3), indel | 0,27       | 8448                        | 0                       | 0                               | 8448                        | 0                       | 0                               |
| 8           | 2        | 55862774              | 55862863              | 90                          | 90                       | Indel                             | 0,28       | 8640                        | 0                       | 0                               | 8640                        | 0                       | 0                               |
| 9           | 2        | 87003930              | 87004009              | 80                          | 80                       | Indel                             | 0,38       | 7680                        | 0                       | 0                               | 7680                        | 0                       | 0                               |
| 10          | 2        | 177016721             | 177016805             | 85                          | 81                       | N/A                               | 0,65       | 7775                        | 1                       | 0                               | 7775                        | 1                       | 0                               |
| 11          | 2        | 186625727             | 186625801             | 75                          | 75                       | PolyA (8)                         | 0,35       | 7200                        | 0                       | 0                               | 7200                        | 0                       | 0                               |
| 12          | 2        | 190323504             | 190323591             | 88                          | 88                       | PolyT (5)                         | 0,42       | 8448                        | 0                       | 0                               | 8448                        | 0                       | 0                               |
| 13          | 2        | 200796740             | 200796826             | 87                          | 87                       | PolyT (5), indel                  | 0,31       | 8352                        | 0                       | 0                               | 8352                        | 0                       | 0                               |
| 14          | 2        | 212245049             | 212245139             | 91                          | 91                       | PolyT (5), PolyA (6), indel       | 0,3        | 8736                        | 0                       | 0                               | 8736                        | 0                       | 0                               |
| 15          | 2        | 228147052             | 228147144             | 93                          | 93                       | N/A                               | 0,43       | 8928                        | 0                       | 0                               | 8928                        | 0                       | 0                               |
| 16          | 2        | 235016350             | 235016422             | 73                          | 73                       | PolyT (5), indel                  | 0,42       | 7008                        | 0                       | 0                               | 7008                        | 0                       | 0                               |
| 17          | 3        | 4466229               | 4466321               | 93                          | 93                       | AT (3), indel                     | 0,27       | 8761                        | 0                       | 167                             | 8760                        | 0                       | 168                             |
| 18          | 3        | 46620561              | 46620643              | 83                          | 83                       | N/A                               | 0,43       | 7968                        | 0                       | 0                               | 7968                        | 0                       | 0                               |

| PCR-produkt | Kromosom | Start for PCR-produkt | Slutt for PCR-produkt | Analysert fragmentstørrelse | Baser i konfidensområder | Genomisk innhold i PCR-produkt          | GC-innhold | MiSeqDx 1                   |                         |                                 | MiSeqDx 2                   |                         |                                 |
|-------------|----------|-----------------------|-----------------------|-----------------------------|--------------------------|---|------------|-----------------------------|-------------------------|---------------------------------|-----------------------------|-------------------------|---------------------------------|
|             |          |                       |                       |                             |                          |   |            | Totalt korrekte betegnelser | Totalt feil betegnelser | Totalt antall ingen betegnelser | Totalt korrekte betegnelser | Totalt feil betegnelser | Totalt antall ingen betegnelser |
| 19          | 3        | 49851331              | 49851400              | 70                          | 70                       | CT (3), indel                           | 0,49       | 6720                        | 0                       | 0                               | 6720                        | 0                       | 0                               |
| 20          | 3        | 189713161             | 189713248             | 88                          | 88                       | PolyA (5), PolyT (5), PolyA (9), TG (3) | 0,41       | 8448                        | 0                       | 0                               | 8448                        | 0                       | 0                               |
| 21          | 3        | 190106030             | 190106104             | 75                          | 74                       | Indel                                   | 0,57       | 7096                        | 0                       | 8                               | 7096                        | 0                       | 8                               |
| 22          | 4        | 2233667               | 2233744               | 78                          | 78                       | PolyA (6)                               | 0,26       | 7488                        | 0                       | 0                               | 7488                        | 0                       | 0                               |
| 23          | 4        | 7780541               | 7780637               | 97                          | 97                       | PolyA (6), PolyT (5), PolyA (5)         | 0,42       | 9312                        | 0                       | 0                               | 9312                        | 0                       | 0                               |
| 24          | 4        | 15688604              | 15688681              | 78                          | 78                       | N/A                                     | 0,29       | 7488                        | 0                       | 0                               | 7488                        | 0                       | 0                               |
| 25          | 4        | 56236521              | 56236586              | 66                          | 62                       | PolyA (5), indel                        | 0,36       | 5952                        | 0                       | 0                               | 5952                        | 0                       | 0                               |
| 26          | 4        | 102839244             | 102839314             | 71                          | 69                       | PolyA (5)                               | 0,46       | 6624                        | 0                       | 0                               | 6624                        | 0                       | 0                               |
| 27          | 4        | 164446743             | 164446804             | 62                          | 62                       | PolyA (7), indel                        | 0,27       | 5952                        | 0                       | 0                               | 5952                        | 0                       | 0                               |
| 28          | 5        | 1882081               | 1882158               | 78                          | 75                       | N/A                                     | 0,78       | 7200                        | 0                       | 0                               | 7200                        | 0                       | 0                               |
| 29          | 5        | 14769061              | 14769144              | 84                          | 84                       | GT (3), CCA (3)                         | 0,62       | 8064                        | 0                       | 0                               | 8064                        | 0                       | 0                               |
| 30          | 5        | 41069808              | 41069871              | 64                          | 64                       | N/A                                     | 0,39       | 6144                        | 0                       | 0                               | 6144                        | 0                       | 0                               |
| 31          | 5        | 74077114              | 74077196              | 83                          | 83                       | PolyA (6), indel                        | 0,3        | 7968                        | 0                       | 0                               | 7968                        | 0                       | 0                               |
| 32          | 5        | 147475343             | 147475409             | 67                          | 67                       | PolyT (5)                               | 0,37       | 6432                        | 0                       | 0                               | 6432                        | 0                       | 0                               |
| 33          | 5        | 149323731             | 149323821             | 91                          | 91                       | CT (4), AG (3)                          | 0,55       | 8736                        | 0                       | 0                               | 8736                        | 0                       | 0                               |
| 34          | 5        | 155662213             | 155662287             | 75                          | 75                       | Indel                                   | 0,43       | 7200                        | 0                       | 0                               | 7200                        | 0                       | 0                               |
| 35          | 6        | 6318713               | 6318814               | 102                         | 102                      | PolyG (6)                               | 0,68       | 9792                        | 0                       | 0                               | 9792                        | 0                       | 0                               |
| 36          | 6        | 24949983              | 24950074              | 92                          | 92                       | Indel                                   | 0,63       | 8832                        | 0                       | 0                               | 8832                        | 0                       | 0                               |
| 37          | 6        | 31084900              | 31084999              | 100                         | 94                       | GCT (5), indel                          | 0,61       | 8979                        | 0                       | 45                              | 8979                        | 0                       | 45                              |

| PCR-produkt | Kromosom | Start for PCR-produkt | Slutt for PCR-produkt | Analysert fragmentstørrelse | Baser i konfidensområder | Genomisk innhold i PCR-produkt | GC-innhold | MiSeqDx 1                   |                         |                                 | MiSeqDx 2                   |                         |                                 |
|-------------|----------|-----------------------|-----------------------|-----------------------------|--------------------------|--------------------------------|------------|-----------------------------|-------------------------|---------------------------------|-----------------------------|-------------------------|---------------------------------|
|             |          |                       |                       |                             |                          |                                |            | Totalt korrekte betegnelser | Totalt feil betegnelser | Totalt antall ingen betegnelser | Totalt korrekte betegnelser | Totalt feil betegnelser | Totalt antall ingen betegnelser |
| 38          | 6        | 32147987              | 32148084              | 98                          | 98                       | PolyT (5), TCT (3), CTT (3)    | 0,55       | 9408                        | 0                       | 0                               | 9408                        | 0                       | 0                               |
| 39          | 6        | 32986864              | 32986958              | 95                          | 95                       | Indel                          | 0,53       | 9120                        | 0                       | 0                               | 9120                        | 0                       | 0                               |
| 40          | 6        | 33408498              | 33408583              | 86                          | 86                       | PolyC (6)                      | 0,7        | 8256                        | 0                       | 0                               | 8256                        | 0                       | 0                               |
| 41          | 6        | 41647401              | 41647495              | 95                          | 94                       | PolyG (5), indel               | 0,61       | 9024                        | 0                       | 0                               | 9024                        | 0                       | 0                               |
| 42          | 6        | 112435865             | 112435955             | 91                          | 91                       | PolyA (5)                      | 0,44       | 8736                        | 0                       | 0                               | 8736                        | 0                       | 0                               |
| 43          | 7        | 22202076              | 22202148              | 73                          | 73                       | N/A                            | 0,44       | 7008                        | 0                       | 0                               | 7008                        | 0                       | 0                               |
| 44          | 7        | 66276100              | 66276187              | 88                          | 88                       | Indel                          | 0,35       | 8448                        | 0                       | 0                               | 8448                        | 0                       | 0                               |
| 45          | 7        | 77365735              | 77365821              | 87                          | 87                       | PolyA (7), AG (4)              | 0,26       | 8352                        | 0                       | 0                               | 8352                        | 0                       | 0                               |
| 46          | 7        | 110939946             | 110940030             | 85                          | 85                       | Indel                          | 0,38       | 8160                        | 0                       | 0                               | 8160                        | 0                       | 0                               |
| 47          | 7        | 128533468             | 128533557             | 90                          | 90                       | PolyG (5), indel               | 0,62       | 8550                        | 0                       | 90                              | 8550                        | 0                       | 90                              |
| 48          | 7        | 149503875             | 149503965             | 91                          | 91                       | PolyG (6), PolyC (6), indel    | 0,71       | 8736                        | 0                       | 0                               | 8736                        | 0                       | 0                               |
| 49          | 7        | 154404519             | 154404599             | 81                          | 66                       | N/A                            | 0,31       | 6336                        | 0                       | 0                               | 6336                        | 0                       | 0                               |
| 50          | 7        | 156476507             | 156476599             | 93                          | 93                       | Indel                          | 0,35       | 8928                        | 0                       | 0                               | 8928                        | 0                       | 0                               |
| 51          | 8        | 1817312               | 1817394               | 83                          | 83                       | N/A                            | 0,42       | 7968                        | 0                       | 0                               | 7968                        | 0                       | 0                               |
| 52          | 8        | 24811020              | 24811109              | 90                          | 89                       | PolyG (7), CTC (4), indel      | 0,61       | 8452                        | 0                       | 92                              | 8449                        | 0                       | 95                              |
| 53          | 8        | 76518625              | 76518691              | 67                          | 67                       | Indel                          | 0,3        | 6432                        | 0                       | 0                               | 6432                        | 0                       | 0                               |
| 54          | 9        | 103054909             | 103055006             | 98                          | 98                       | PolyG (6)                      | 0,67       | 9408                        | 0                       | 0                               | 9408                        | 0                       | 0                               |
| 55          | 9        | 105586150             | 105586214             | 65                          | 65                       | Indel                          | 0,32       | 6240                        | 0                       | 0                               | 6240                        | 0                       | 0                               |
| 56          | 9        | 107620823             | 107620918             | 96                          | 96                       | N/A                            | 0,49       | 9216                        | 0                       | 0                               | 9216                        | 0                       | 0                               |
| 57          | 9        | 123769149             | 123769231             | 83                          | 83                       | AT (3)                         | 0,37       | 7968                        | 0                       | 0                               | 7968                        | 0                       | 0                               |

| PCR-produkt | Kromosom | Start for PCR-produkt | Slutt for PCR-produkt | Analysert fragmentstørrelse | Baser i konfidensområder | Genomisk innhold i PCR-produkt | GC-innhold | MiSeqDx 1                   |                         |                                 | MiSeqDx 2                   |                         |                                 |
|-------------|----------|-----------------------|-----------------------|-----------------------------|--------------------------|--------------------------------|------------|-----------------------------|-------------------------|---------------------------------|-----------------------------|-------------------------|---------------------------------|
|             |          |                       |                       |                             |                          |                                |            | Totalt korrekte betegnelser | Totalt feil betegnelser | Totalt antall ingen betegnelser | Totalt korrekte betegnelser | Totalt feil betegnelser | Totalt antall ingen betegnelser |
| 58          | 9        | 138995345             | 138995441             | 97                          | 97                       | PolyC (6), indel               | 0,68       | 9312                        | 0                       | 0                               | 9312                        | 0                       | 0                               |
| 59          | 10       | 5987120               | 5987198               | 79                          | 78                       | PolyG (5), indel               | 0,47       | 7488                        | 0                       | 0                               | 7488                        | 0                       | 0                               |
| 60          | 10       | 11784629              | 11784726              | 98                          | 91                       | GC (3)                         | 0,87       | 8644                        | 1                       | 91                              | 8644                        | 1                       | 91                              |
| 61          | 10       | 27317777              | 27317855              | 79                          | 79                       | PolyT (5)                      | 0,3        | 7584                        | 0                       | 0                               | 7584                        | 0                       | 0                               |
| 62          | 10       | 33018351              | 33018440              | 90                          | 90                       | PolyA (5), PolyT (5)           | 0,2        | 8640                        | 0                       | 0                               | 8640                        | 0                       | 0                               |
| 63          | 10       | 45084159              | 45084253              | 95                          | 95                       | Indel                          | 0,35       | 9120                        | 0                       | 0                               | 9120                        | 0                       | 0                               |
| 64          | 10       | 55892599              | 55892687              | 89                          | 88                       | AC (11), indel                 | 0,42       | 8408                        | 0                       | 40                              | 8407                        | 0                       | 41                              |
| 65          | 10       | 101611250             | 101611329             | 80                          | 80                       | N/A                            | 0,49       | 7680                        | 0                       | 0                               | 7680                        | 0                       | 0                               |
| 66          | 10       | 118351373             | 118351453             | 81                          | 81                       | N/A                            | 0,51       | 7776                        | 0                       | 0                               | 7776                        | 0                       | 0                               |
| 67          | 11       | 8159816               | 8159912               | 97                          | 96                       | N/A                            | 0,45       | 9216                        | 0                       | 0                               | 9216                        | 0                       | 0                               |
| 68          | 11       | 30177648              | 30177717              | 70                          | 70                       | Indel                          | 0,46       | 6720                        | 0                       | 0                               | 6720                        | 0                       | 0                               |
| 69          | 11       | 47470345              | 47470444              | 100                         | 100                      | N/A                            | 0,65       | 9600                        | 0                       | 0                               | 9600                        | 0                       | 0                               |
| 70          | 11       | 59837679              | 59837740              | 62                          | 62                       | Indel                          | 0,37       | 5952                        | 0                       | 0                               | 5952                        | 0                       | 0                               |
| 71          | 11       | 64418856              | 64418957              | 102                         | 102                      | N/A                            | 0,59       | 9792                        | 0                       | 0                               | 9792                        | 0                       | 0                               |
| 72          | 11       | 93529612              | 93529684              | 73                          | 73                       | PolyA (5)                      | 0,4        | 7008                        | 0                       | 0                               | 7008                        | 0                       | 0                               |
| 73          | 11       | 101347052             | 101347136             | 85                          | 85                       | N/A                            | 0,42       | 8160                        | 0                       | 0                               | 8160                        | 0                       | 0                               |
| 74          | 11       | 102477336             | 102477426             | 91                          | 91                       | PolyG (6)                      | 0,55       | 8736                        | 0                       | 0                               | 8736                        | 0                       | 0                               |
| 75          | 11       | 118406285             | 118406369             | 85                          | 85                       | Indel                          | 0,53       | 8160                        | 0                       | 0                               | 8160                        | 0                       | 0                               |
| 76          | 11       | 120357801             | 120357885             | 85                          | 85                       | PolyA (5), CA (3), indel       | 0,34       | 8160                        | 0                       | 0                               | 8160                        | 0                       | 0                               |
| 77          | 11       | 125769313             | 125769397             | 85                          | 85                       | GA (3)                         | 0,52       | 8160                        | 0                       | 0                               | 8160                        | 0                       | 0                               |
| 78          | 12       | 2834770               | 2834853               | 84                          | 84                       | PolyC (5), indel               | 0,52       | 8064                        | 0                       | 0                               | 8064                        | 0                       | 0                               |
| 79          | 12       | 26811004              | 26811096              | 93                          | 93                       | PolyA (7), AC (4)              | 0,33       | 8928                        | 0                       | 0                               | 8928                        | 0                       | 0                               |

| PCR-produkt | Kromosom | Start for PCR-produkt | Slutt for PCR-produkt | Analysert fragmentstørrelse | Baser i konfidensområder | Genomisk innhold i PCR-produkt         | GC-innhold | MiSeqDx 1                   |                         |                                 | MiSeqDx 2                   |                         |                                 |
|-------------|----------|-----------------------|-----------------------|-----------------------------|--------------------------|--|------------|-----------------------------|-------------------------|---------------------------------|-----------------------------|-------------------------|---------------------------------|
|             |          |                       |                       |                             |                          |  |            | Totalt korrekte betegnelser | Totalt feil betegnelser | Totalt antall ingen betegnelser | Totalt korrekte betegnelser | Totalt feil betegnelser | Totalt antall ingen betegnelser |
| 80          | 12       | 30881766              | 30881846              | 81                          | 81                       | N/A                                    | 0,49       | 7776                        | 0                       | 0                               | 7776                        | 0                       | 0                               |
| 81          | 12       | 88474105              | 88474175              | 71                          | 71                       | PolyA (6)                              | 0,35       | 6816                        | 0                       | 0                               | 6816                        | 0                       | 0                               |
| 82          | 12       | 120966872             | 120966966             | 95                          | 95                       | PolyG (5)                              | 0,68       | 9117                        | 3                       | 0                               | 9119                        | 1                       | 0                               |
| 83          | 13       | 24167504              | 24167576              | 73                          | 73                       | N/A                                    | 0,52       | 7008                        | 0                       | 0                               | 7008                        | 0                       | 0                               |
| 84          | 13       | 25816961              | 25817049              | 89                          | 88                       | PolyA (5), PolyT (7), PolyA (7), indel | 0,22       | 8448                        | 0                       | 0                               | 8448                        | 0                       | 0                               |
| 85          | 13       | 44880112              | 44880200              | 89                          | 89                       | Indel                                  | 0,49       | 8544                        | 0                       | 0                               | 8544                        | 0                       | 0                               |
| 86          | 13       | 77665218              | 77665294              | 77                          | 77                       | Indel                                  | 0,39       | 7392                        | 0                       | 0                               | 7392                        | 0                       | 0                               |
| 87          | 14       | 31619327              | 31619393              | 67                          | 67                       | GA (3), TA (3)                         | 0,39       | 6432                        | 0                       | 0                               | 6432                        | 0                       | 0                               |
| 88          | 14       | 39517884              | 39517966              | 83                          | 83                       | N/A                                    | 0,25       | 7968                        | 0                       | 0                               | 7968                        | 0                       | 0                               |
| 89          | 14       | 46958962              | 46959034              | 73                          | 72                       | PolyT (5), indel                       | 0,19       | 6830                        | 0                       | 82                              | 6835                        | 0                       | 77                              |
| 90          | 14       | 58050030              | 58050110              | 81                          | 81                       | Indel                                  | 0,38       | 7776                        | 0                       | 0                               | 7776                        | 0                       | 0                               |
| 91          | 14       | 82390559              | 82390649              | 91                          | 91                       | Indel                                  | 0,35       | 8736                        | 0                       | 0                               | 8736                        | 0                       | 0                               |
| 92          | 14       | 92549544              | 92549609              | 66                          | 66                       | PolyA (5)                              | 0,41       | 6336                        | 0                       | 0                               | 6336                        | 0                       | 0                               |
| 93          | 14       | 102808496             | 102808589             | 94                          | 94                       | Indel                                  | 0,62       | 9024                        | 0                       | 0                               | 9024                        | 0                       | 0                               |
| 94          | 15       | 43170751              | 43170848              | 98                          | 96                       | PolyC (5)                              | 0,45       | 9216                        | 0                       | 0                               | 9216                        | 0                       | 0                               |
| 95          | 15       | 63446149              | 63446216              | 68                          | 68                       | Indel                                  | 0,25       | 6528                        | 0                       | 0                               | 6528                        | 0                       | 0                               |
| 96          | 15       | 77879807              | 77879901              | 95                          | 93                       | PolyG (5), indel                       | 0,68       | 8928                        | 0                       | 0                               | 8926                        | 2                       | 0                               |
| 97          | 15       | 81625334              | 81625428              | 95                          | 95                       | PolyT (6)                              | 0,43       | 9120                        | 0                       | 0                               | 9120                        | 0                       | 0                               |
| 98          | 15       | 85438263              | 85438334              | 72                          | 71                       | Indel                                  | 0,65       | 6816                        | 0                       | 0                               | 6816                        | 0                       | 0                               |
| 99          | 15       | 89817413              | 89817503              | 91                          | 91                       | N/A                                    | 0,36       | 8736                        | 0                       | 0                               | 8736                        | 0                       | 0                               |
| 100         | 15       | 89864274              | 89864343              | 70                          | 70                       | Indel                                  | 0,56       | 6720                        | 0                       | 0                               | 6720                        | 0                       | 0                               |
| 101         | 16       | 1894910               | 1894972               | 63                          | 63                       | N/A                                    | 0,27       | 6048                        | 0                       | 0                               | 6048                        | 0                       | 0                               |
| 102         | 16       | 28997904              | 28997998              | 95                          | 95                       | PolyC (5)                              | 0,67       | 9120                        | 0                       | 0                               | 9120                        | 0                       | 0                               |

| PCR-produkt | Kromosom | Start for PCR-produkt | Slutt for PCR-produkt | Analysert fragmentstørrelse | Baser i konfidensområder | Genomisk innhold i PCR-produkt           | GC-innhold | MiSeqDx 1                   |                         |                                 | MiSeqDx 2                   |                         |                                 |
|-------------|----------|-----------------------|-----------------------|-----------------------------|--------------------------|--|------------|-----------------------------|-------------------------|---------------------------------|-----------------------------|-------------------------|---------------------------------|
|             |          |                       |                       |                             |                          |  |            | Totalt korrekte betegnelser | Totalt feil betegnelser | Totalt antall ingen betegnelser | Totalt korrekte betegnelser | Totalt feil betegnelser | Totalt antall ingen betegnelser |
| 103         | 16       | 53682908              | 53682994              | 87                          | 87                       | TA (3)                                   | 0,41       | 8352                        | 0                       | 0                               | 8352                        | 0                       | 0                               |
| 104         | 16       | 57954406              | 57954509              | 104                         | 104                      | PolyC (5)                                | 0,67       | 9984                        | 0                       | 0                               | 9984                        | 0                       | 0                               |
| 105         | 16       | 85706375              | 85706465              | 91                          | 91                       | PolyT (5), indel                         | 0,37       | 8736                        | 0                       | 0                               | 8736                        | 0                       | 0                               |
| 106         | 17       | 3563920               | 3564008               | 89                          | 89                       | GC (3)                                   | 0,64       | 8544                        | 0                       | 0                               | 8544                        | 0                       | 0                               |
| 107         | 17       | 3594191               | 3594277               | 87                          | 87                       | PolyC (5), indel                         | 0,67       | 8347                        | 0                       | 5                               | 8347                        | 0                       | 5                               |
| 108         | 17       | 3970090               | 3970180               | 91                          | 91                       | Indel                                    | 0,46       | 8736                        | 0                       | 0                               | 8736                        | 0                       | 0                               |
| 109         | 17       | 16084945              | 16085037              | 93                          | 93                       | Indel                                    | 0,26       | 8928                        | 0                       | 0                               | 8928                        | 0                       | 0                               |
| 110         | 17       | 33998759              | 33998849              | 91                          | 89                       | PolyT (5)                                | 0,54       | 8544                        | 0                       | 0                               | 8544                        | 0                       | 0                               |
| 111         | 17       | 39589691              | 39589774              | 84                          | 82                       | PolyA (13), indel (x2)                   | 0,29       | 7776                        | 7                       | 89                              | 7777                        | 12                      | 83                              |
| 112         | 17       | 41244394              | 41244484              | 91                          | 91                       | PolyA (5)                                | 0,34       | 8736                        | 0                       | 0                               | 8736                        | 0                       | 0                               |
| 113         | 17       | 45438866              | 45438957              | 92                          | 92                       | PolyA (7), AT (3), AT (4), AT (4), indel | 0,26       | 8832                        | 0                       | 0                               | 8832                        | 0                       | 0                               |
| 114         | 17       | 61502432              | 61502510              | 79                          | 79                       | Indel                                    | 0,41       | 7546                        | 0                       | 38                              | 7547                        | 0                       | 37                              |
| 115         | 17       | 64023582              | 64023667              | 86                          | 86                       | PolyT (7)                                | 0,22       | 8256                        | 0                       | 0                               | 8256                        | 0                       | 0                               |
| 116         | 17       | 72308237              | 72308320              | 84                          | 84                       | GAG (3)                                  | 0,62       | 8064                        | 0                       | 0                               | 8064                        | 0                       | 0                               |
| 117         | 18       | 2616456               | 2616522               | 67                          | 67                       | GA (3)                                   | 0,31       | 6432                        | 0                       | 0                               | 6432                        | 0                       | 0                               |
| 118         | 18       | 6980478               | 6980568               | 91                          | 91                       | N/A                                      | 0,37       | 8736                        | 0                       | 0                               | 8736                        | 0                       | 0                               |
| 119         | 18       | 9888026               | 9888094               | 69                          | 69                       | PolyA (6), TG (3)                        | 0,43       | 6624                        | 0                       | 0                               | 6624                        | 0                       | 0                               |
| 120         | 18       | 38836999              | 38837073              | 75                          | 75                       | PolyA (5), indel                         | 0,37       | 7200                        | 0                       | 0                               | 7200                        | 0                       | 0                               |
| 121         | 18       | 47405382              | 47405462              | 81                          | 81                       | CTC (3), indel                           | 0,47       | 7776                        | 0                       | 0                               | 7776                        | 0                       | 0                               |
| 122         | 18       | 54815665              | 54815749              | 85                          | 85                       | CT (3), indel                            | 0,45       | 8160                        | 0                       | 0                               | 8160                        | 0                       | 0                               |

| PCR-produkt | Kromosom | Start for PCR-produkt | Slutt for PCR-produkt | Analysert fragmentstørrelse | Baser i konfidensområder | Genomisk innhold i PCR-produkt | GC-innhold | MiSeqDx 1                   |                         |                                 | MiSeqDx 2                   |                         |                                 |
|-------------|----------|-----------------------|-----------------------|-----------------------------|--------------------------|--------------------------------|------------|-----------------------------|-------------------------|---------------------------------|-----------------------------|-------------------------|---------------------------------|
|             |          |                       |                       |                             |                          |                                |            | Totalt korrekte betegnelser | Totalt feil betegnelser | Totalt antall ingen betegnelser | Totalt korrekte betegnelser | Totalt feil betegnelser | Totalt antall ingen betegnelser |
| 123         | 18       | 59773996              | 59774060              | 65                          | 65                       | N/A                            | 0,48       | 6240                        | 0                       | 0                               | 6240                        | 0                       | 0                               |
| 124         | 19       | 625143                | 625241                | 99                          | 99                       | N/A                            | 0,59       | 9504                        | 0                       | 0                               | 9504                        | 0                       | 0                               |
| 125         | 19       | 18121418              | 18121491              | 74                          | 74                       | N/A                            | 0,68       | 7102                        | 2                       | 0                               | 7104                        | 0                       | 0                               |
| 126         | 19       | 18186574              | 18186643              | 70                          | 70                       | N/A                            | 0,64       | 6718                        | 2                       | 0                               | 6718                        | 2                       | 0                               |
| 127         | 20       | 746056                | 746149                | 94                          | 94                       | N/A                            | 0,61       | 9024                        | 0                       | 0                               | 9024                        | 0                       | 0                               |
| 128         | 20       | 10633195              | 10633276              | 82                          | 82                       | AC (3)                         | 0,59       | 7872                        | 0                       | 0                               | 7872                        | 0                       | 0                               |
| 129         | 20       | 17705633              | 17705708              | 76                          | 76                       | CT (3)                         | 0,58       | 7296                        | 0                       | 0                               | 7296                        | 0                       | 0                               |
| 130         | 20       | 21766821              | 21766890              | 70                          | 70                       | GT (3), TG (4), indel          | 0,46       | 6720                        | 0                       | 0                               | 6720                        | 0                       | 0                               |
| 131         | 20       | 25278421              | 25278521              | 101                         | 101                      | Indel                          | 0,63       | 9696                        | 0                       | 0                               | 9696                        | 0                       | 0                               |
| 132         | 20       | 50897302              | 50897368              | 67                          | 67                       | Indel                          | 0,36       | 6432                        | 0                       | 0                               | 6432                        | 0                       | 0                               |
| 133         | 20       | 62331904              | 62331994              | 91                          | 88                       | PolyG (6)                      | 0,73       | 8360                        | 0                       | 88                              | 8360                        | 0                       | 88                              |
| 134         | 20       | 62690860              | 62690946              | 87                          | 87                       | Indel                          | 0,57       | 8352                        | 0                       | 0                               | 8352                        | 0                       | 0                               |
| 135         | 21       | 30300823              | 30300888              | 66                          | 66                       | Indel                          | 0,35       | 6336                        | 0                       | 0                               | 6336                        | 0                       | 0                               |
| 136         | 21       | 33694176              | 33694273              | 98                          | 98                       | PolyT (6), CA (3)              | 0,54       | 9408                        | 0                       | 0                               | 9408                        | 0                       | 0                               |
| 137         | 21       | 36710706              | 36710792              | 87                          | 87                       | GT (3), indel                  | 0,39       | 8352                        | 0                       | 0                               | 8352                        | 0                       | 0                               |
| 138         | 21       | 46644924              | 46644992              | 69                          | 69                       | PolyA (6), AG (3), indel       | 0,32       | 6603                        | 0                       | 21                              | 6601                        | 0                       | 23                              |
| 139         | 21       | 46705575              | 46705664              | 90                          | 90                       | PolyT (5), PolyA (6)           | 0,5        | 8640                        | 0                       | 0                               | 8640                        | 0                       | 0                               |
| 140         | 22       | 25750774              | 25750873              | 100                         | 100                      | Indel                          | 0,63       | 9600                        | 0                       | 0                               | 9600                        | 0                       | 0                               |
| 141         | 22       | 32439233              | 32439329              | 97                          | 97                       | N/A                            | 0,68       | 9312                        | 0                       | 0                               | 9312                        | 0                       | 0                               |
| 142         | 22       | 37409844              | 37409940              | 97                          | 97                       | Indel                          | 0,46       | 9312                        | 0                       | 0                               | 9312                        | 0                       | 0                               |
| 143         | 22       | 37637596              | 37637694              | 99                          | 99                       | N/A                            | 0,6        | 9504                        | 0                       | 0                               | 9504                        | 0                       | 0                               |
| 144         | 22       | 47081347              | 47081438              | 92                          | 92                       | Indel                          | 0,66       | 8832                        | 0                       | 0                               | 8832                        | 0                       | 0                               |

| PCR-produkt | Kromosom | Start for PCR-produkt | Slutt for PCR-produkt | Analysert fragmentstørrelse | Baser i konfidensområder | Genomisk innhold i PCR-produkt | GC-innhold | MiSeqDx 1                   |                         |                                 | MiSeqDx 2                   |                         |                                 |
|-------------|----------|-----------------------|-----------------------|-----------------------------|--------------------------|--------------------------------|------------|-----------------------------|-------------------------|---------------------------------|-----------------------------|-------------------------|---------------------------------|
|             |          |                       |                       |                             |                          |                                |            | Totalt korrekte betegnelser | Totalt feil betegnelser | Totalt antall ingen betegnelser | Totalt korrekte betegnelser | Totalt feil betegnelser | Totalt antall ingen betegnelser |
| 145         | X        | 15870424              | 15870492              | 69                          | 69                       | PolyT (5)                      | 0,26       | 6624                        | 0                       | 0                               | 6624                        | 0                       | 0                               |
| 146         | X        | 135288543             | 135288611             | 69                          | 69                       | PolyC (5)                      | 0,62       | 6624                        | 0                       | 0                               | 6624                        | 0                       | 0                               |
| 147         | X        | 135290777             | 135290847             | 71                          | 71                       | N/A                            | 0,52       | 6816                        | 0                       | 0                               | 6816                        | 0                       | 0                               |
| 148         | Ja       | 2655397               | 2655461               | 65                          | 0                        | N/A                            | 0,55       | 0                           | 0                       | 0                               | 0                           | 0                       | 0                               |
| 149         | Ja       | 2655519               | 2655609               | 91                          | 0                        | N/A                            | 0,48       | 0                           | 0                       | 0                               | 0                           | 0                       | 0                               |
| 150         | Ja       | 2655609               | 2655679               | 71                          | 0                        | PolyA (5)                      | 0,37       | 0                           | 0                       | 0                               | 0                           | 0                       | 0                               |

Resultatene fra reproducerbarhetstudien ble analysert på et per operatør-grunnlag ved bruk av variantfrekvens [Tabell 7](#). Denne analysen viste at variantfrekvenser var konsekvente på tvers av operatørene. Gjennomsnittlige variantfrekvenser  $+/- 1$  standardavvik er presentert.

Tabell 7 Operatør-til-operatør-resultater for MiSeqDx-instrumentet

| Variantfrekvensområde       | Antall<br>unike<br>varianter | Totalt antall<br>varianter<br>analysert av<br>operatør 1 | Totalt antall<br>varianter<br>analysert av<br>operatør 2 | Gjennomsnittlig (SD)<br>rapportert<br>variantfrekvens for<br>operatør 1 | Gjennomsnittlig (SD)<br>rapportert<br>variantfrekvens for<br>operatør 2 |
|-----------------------------|------------------------------|--|--|---|---|
| Homozygot (0,70–1,00)       | 2424                         | 2424   | 2422   | 0,94 $+/- 0,07$   | 0,96 $+/- 0,05$   |
| Heterozygot (0,20–<br>0,70) | 8240                         | 8132   | 8128   | 0,48 $+/- 0,04$   | 0,49 $+/- 0,04$   |

Resultater for reproducerbarhetsstudie for hver prøve er vist sammenslått for alle åtte kjøringer ([Tabell 8](#)). Påvisning evalueres separat for hver varianttype, SNV-er, insersjoner og delesjoner for seg. Referanseposisjoner er utelatt. Denne analysen viste at resultatene for variantene var reproducerbare på tvers av prøvene.

Tabell 8 Samsvar av basebetegnelseresultater per prøve for MiSeqDx-instrumentet

| Prøve   | SNV-er        |                  |                  | Insersjoner      |               |                  | Delesjoner       |                  |               |                  |                  |                  |
|---------|---------------|------------------|------------------|------------------|---------------|------------------|------------------|------------------|---------------|------------------|------------------|------------------|
|         | Totalt antall | Totalt antall TP | Totalt antall FP | Totalt antall FN | Totalt antall | Totalt antall TP | Totalt antall FP | Totalt antall FN | Totalt antall | Totalt antall TP | Totalt antall FP | Totalt antall FN |
| NA12877 | 592           | 592              | 0                | 0                | 336           | 336              | 0                | 0                | 288           | 288              | 0                | 0                |
| NA12878 | 1456          | 1456             | 0                | 0                | 320           | 304              | 0                | 0                | 384           | 368              | 0                | 0                |
| NA12879 | 912           | 912              | 0                | 0                | 336           | 320              | 0                | 2                | 288           | 288              | 0                | 0                |
| NA12880 | 1072          | 1071             | 0                | 1                | 384           | 384              | 0                | 0                | 320           | 304              | 0                | 0                |
| NA12881 | 1248          | 1247             | 0                | 1                | 384           | 368              | 0                | 0                | 368           | 368              | 0                | 0                |
| NA12882 | 944           | 943              | 0                | 1                | 352           | 336              | 0                | 4                | 304           | 288              | 0                | 0                |
| NA12883 | 1088          | 1087             | 0                | 1                | 368           | 368              | 0                | 0                | 352           | 335              | 0                | 1                |
| NA12884 | 1088          | 1088             | 0                | 0                | 400           | 384              | 0                | 5                | 336           | 336              | 0                | 0                |
| NA12885 | 1200          | 1189             | 0                | 7                | 400           | 382              | 0                | 4                | 352           | 336              | 0                | 0                |
| NA12886 | 1104          | 1102             | 0                | 2                | 368           | 352              | 0                | 3                | 368           | 368              | 0                | 0                |
| NA12888 | 1056          | 1054             | 0                | 2                | 368           | 368              | 0                | 0                | 304           | 304              | 0                | 0                |
| NA12893 | 1168          | 1168             | 0                | 0                | 352           | 336              | 0                | 1                | 368           | 368              | 0                | 0                |

Dataene fra de åtte kjøringene i denne reproducertbarhetsstudien støtter påstanden om at MiSeqDx-instrumentet konsekvent kan sekvensere:

- GC-innhold  $\geq 19\%$  (alle betegnede baser i 192 av 192 sekvenserte PCR-produkter med 19 % GC-innhold betegnet korrekt med en ingen betegnelse-frekvens på 1,1 %)
- GC-innhold  $\leq 78\%$  (alle betegnede baser i 192 av 192 sekvenserte PCR-produkter med 78 % GC-innhold betegnet korrekt med null ingen betegnelser)
- PolyA-lengder  $\leq 8$  (PolyA-repetisjon på 8 nukleotider ble betegnet korrekt i 192 av 192 sekvenserte PCR-produkter som inneholdt PolyA = 8)
- PolyT-lengder  $\leq 10$  (PolyT-repetisjon på 10 nukleotider ble betegnet korrekt i 192 av 192 sekvenserte PCR-produkter som inneholdt PolyT = 10)
- PolyG-lengder  $\leq 7$  (PolyG-repetisjon på 7 nukleotider ble betegnet korrekt i 192 av 192 sekvenserte PCR-produkter som inneholdt PolyG = 7)
- PolyC-lengder  $\leq 6$  (PolyC-repetisjon på 6 nukleotider ble betegnet korrekt i 576 av 576 sekvenserte PCR-produkter som inneholdt PolyC = 6)

- Gjentatte lengder for dinukleotid  $\leq 11x$  (alle betegnede baser i 192 av 192 sekvenserte PCR-produkter med 11x dinukleotidrepetisjoner ble betegnet korrekt med en ingen betegnelse-frekvens på 0,5 %)
- Gjentatte lengder for trinukleotid  $\leq 5x$  (alle betegnede baser i 192 av 192 sekvenserte PCR-produkter med 5x trinukelotidrepetisjoner ble betegnet korrekt med en ingen betegnelse-frekvens på 0,5 %)
- 24 eller færre baseinsersjoner og 25 eller færre basedelesjoner
  - 24 baseinsersjoner betegnet korrekt i 192 av 192 prøver
  - 25 basedelesjoner betegnet korrekt i 223 prøver og feilbetegnet i 1 prøve av 224 prøver

## Studie 2

En reproducerbarhetstudie fra sted til sted ble utført med en representativ analyse, Illumina MiSeqDxCystic Fibrosis 139-variantanalyse, inkludert et delsett med CFTR klinisk signifikante genetiske variasjoner analysert med MiSeq Reporter-programvaren ved bruk av MiSeqDx Platform for målrettet DNA-sekvensering. Den blinde studien brukte 3 teststeder og 2 operatører på hvert sted. To godt karakteriserte paneler med 46 prøver hver ble testet av hver operatør på hvert sted for totalt 810 betegnelser per sted. Panelene inneholdt en blanding av genomisk DNA fra cellelinjer med kjente varianter i CFTR-genet, samt leukocytuttømt blod tilsatt cellelinjer med kjente varianter i CFTR-genet. Blodprøvene ble gitt for å tillate inkorporering av ekstraksjonstrinnene som ble brukt for å klargjøre gDNA som fungerer som den primære innmatingen for analysens arbeidsprosess. Prøvens bestått-frekvens, definert som antall prøver som består kvalitetskontrollmetrikk på første forsøk, var 99,88 %. Alle testresultater er basert på innledende testing.

**Tabell 9** Oppsummering av resultatene fra reproducerbarhetsstudien utført med en representativ MiSeqDx Cystic Fibrosis 139-variantanalyse

| Panel | Prøvenr. | Prøvegenotype       | Varianter | Totale betegnelser per sted | Positive samsvarende betegnelser (variante) |        |        | Negative samsvarende betegnelser (villtype) |        |        | Antall feilbetegnelser | Antall ingen betegnelser | Positivt samsvar (%) | Negativt samsvar (%) | Samlet samsvar (%) |
|-------|----------|---------------------|-----------|-----------------------------|---|--------|--------|---|--------|--------|------------------------|--------------------------|----------------------|----------------------|--------------------|
|       |          |                     |           |                             | Sted 1                                      | Sted 2 | Sted 3 | Sted 1                                      | Sted 2 | Sted 3 |                        |                          |                      |                      |                    |
|       |          |                     |           |                             |   |        |        |   |        |        |                        |                          |                      |                      |                    |
| A     | 1        | S549N (HET)         |           | 810                         | 6   | 6      | 6      | 804   | 804    | 804    | 0                      | 0                        | 100                  | 100                  | 100                |
| A     | 2        | 1812-1G>A (HET)     |           | 810                         | 6   | 6      | 6      | 804   | 804    | 804    | 0                      | 0                        | 100                  | 100                  | 100                |
| A     | 3        | Q493X/F508del (HET) |           | 810                         | 12  | 12     | 12     | 798   | 798    | 798    | 0                      | 0                        | 100                  | 100                  | 100                |

| Panel | Prøvnr.         | Prøvegenotype              | Varianter                       | Totale betegnelser per sted | Positive samsvarende betegnelser (variante) |        |        | Negative samsvarende betegnelser (villtype) |        |        | Antall feilbetegnelser | Antall ingen betegnelser | Positivt samsvar (%) | Negativt samsvar (%) | Samlet samsvar (%) |
|-------|-----------------|----------------------------|---------------------------------|-----------------------------|---|--------|--------|---|--------|--------|------------------------|--------------------------|----------------------|----------------------|--------------------|
|       |                 |                            |                                 |                             | Sted 1                                      | Sted 2 | Sted 3 | Sted 1                                      | Sted 2 | Sted 3 |                        |                          |                      |                      |                    |
|       |                 |                            |                                 |                             | 1   | 2      | 3      | 1   | 2      | 3      |                        |                          |                      |                      |                    |
| A     | 4 <sup>1</sup>  | F508del/2184delA (HET)     |                                 | 810                         | 12  | 12     | 12     | 797   | 798    | 798    | 0                      | 1 <sup>1</sup>           | 100                  | 100                  | 100                |
| A     | 5 <sup>2</sup>  | Y122X/R1158X (HET)         |                                 | 810                         | 12  | 10     | 12     | 798   | 665    | 798    | 0                      | 135 <sup>2</sup>         | 94,44                | 94,44                | 94,44              |
| A     | 6               | F508del/2183AA>G (HET)     |                                 | 810                         | 12  | 12     | 12     | 798   | 798    | 798    | 0                      | 0                        | 100                  | 100                  | 100                |
| A     | 7               | R75X (HET)                 |                                 | 810                         | 6   | 6      | 6      | 804   | 804    | 804    | 0                      | 0                        | 100                  | 100                  | 100                |
| A     | 8               | I507del/F508del (HET)      |                                 | 810                         | 12  | 12     | 12     | 798   | 798    | 798    | 0                      | 0                        | 100                  | 100                  | 100                |
| A     | 9 <sup>3</sup>  | F508del/W1282X (HET)       |                                 | 810                         | 12  | 11     | 12     | 798   | 797    | 798    | 2 <sup>3</sup>         | 0                        | 97,22                | 99,96                | 99,92              |
| A     | 10 <sup>3</sup> | F508del/3272-26A>G (HET)   |                                 | 810                         | 12  | 11     | 12     | 798   | 797    | 798    | 2 <sup>3</sup>         | 0                        | 97,22                | 99,96                | 99,92              |
| A     | 11              | F508del/3849+10kbC>T (HET) |                                 | 810                         | 12  | 12     | 12     | 798   | 798    | 798    | 0                      | 0                        | 100                  | 100                  | 100                |
| A     | 12              | 621+1G>T/3120+1G>A (HET)   |                                 | 810                         | 12  | 12     | 12     | 798   | 798    | 798    | 0                      | 0                        | 100                  | 100                  | 100                |
| A     | 13              | E60X/F508del (HET)         |                                 | 810                         | 12  | 12     | 12     | 798   | 798    | 798    | 0                      | 0                        | 100                  | 100                  | 100                |
| A     | 14              | M1101K (HET)               |                                 | 810                         | 6   | 6      | 6      | 804   | 804    | 804    | 0                      | 0                        | 100                  | 100                  | 100                |
| A     | 15              | M1101K (HOM)               |                                 | 810                         | 6   | 6      | 6      | 804   | 804    | 804    | 0                      | 0                        | 100                  | 100                  | 100                |
| A     | 16              | F508del (HOM)              | I506V, I507V, F508C finnes ikke | 828                         | 6   | 6      | 6      | 822   | 822    | 822    | 0                      | 0                        | 100                  | 100                  | 100                |
| A     | 17              | F508del/3659delC (HET)     |                                 | 810                         | 12  | 12     | 12     | 798   | 798    | 798    | 0                      | 0                        | 100                  | 100                  | 100                |
| A     | 18              | R117H/F508del (HET)        | (TG)10(T)9/(TG)12(T)5           | 816                         | 18  | 18     | 18     | 798   | 798    | 798    | 0                      | 0                        | 100                  | 100                  | 100                |
| A     | 19              | 621+1G>T/711+1G>T (HET)    |                                 | 810                         | 12  | 12     | 12     | 798   | 798    | 798    | 0                      | 0                        | 100                  | 100                  | 100                |
| A     | 20              | G85E/621+1G>T (HET)        |                                 | 810                         | 12  | 12     | 12     | 798   | 798    | 798    | 0                      | 0                        | 100                  | 100                  | 100                |

| Panel | Prøvenr. | Prøvegenotype              | Varianter | Totale betegnelser per sted | Positive samsvarende betegnelser (variante) |        |        | Negative samsvarende betegnelser (villtype) |        |        | Antall feilbetegnelser | Antall ingen betegnelser | Positivt samsvar (%) | Negativt samsvar (%) | Samlet samsvar (%) |
|-------|----------|----------------------------|-----------|-----------------------------|---|--------|--------|---|--------|--------|------------------------|--------------------------|----------------------|----------------------|--------------------|
|       |          |                            |           |                             | Sted 1                                      | Sted 2 | Sted 3 | Sted 1                                      | Sted 2 | Sted 3 |                        |                          |                      |                      |                    |
|       |          |                            |           |                             | 1   | 2      | 3      | 1   | 2      | 3      |                        |                          |                      |                      |                    |
| A     | 21       | A455E/F508del (HET)        |           | 810                         | 12  | 12     | 12     | 798   | 798    | 798    | 0                      | 0                        | 100                  | 100                  | 100                |
| A     | 22       | F508del/R560T (HET)        |           | 810                         | 12  | 12     | 12     | 798   | 798    | 798    | 0                      | 0                        | 100                  | 100                  | 100                |
| A     | 23       | F508del/Y1092X (C>A) (HET) |           | 810                         | 12  | 12     | 12     | 798   | 798    | 798    | 0                      | 0                        | 100                  | 100                  | 100                |
| A     | 24       | N1303K (HET)               |           | 810                         | 6   | 6      | 6      | 804   | 804    | 804    | 0                      | 0                        | 100                  | 100                  | 100                |
| A     | 25       | G542X (HOM)                |           | 810                         | 6   | 6      | 6      | 804   | 804    | 804    | 0                      | 0                        | 100                  | 100                  | 100                |
| A     | 26       | G542X (HET)                |           | 810                         | 6   | 6      | 6      | 804   | 804    | 804    | 0                      | 0                        | 100                  | 100                  | 100                |
| A     | 27       | G551D/R553X (HET)          |           | 810                         | 12  | 12     | 12     | 798   | 798    | 798    | 0                      | 0                        | 100                  | 100                  | 100                |
| A     | 28       | 3849+10kbC>T (HOM)         |           | 810                         | 6   | 6      | 6      | 804   | 804    | 804    | 0                      | 0                        | 100                  | 100                  | 100                |
| A     | 29       | WT                         |           | 810                         | 0   | 0      | 0      | 810   | 810    | 810    | 0                      | 0                        | N/A                  | 100                  | 100                |
| A     | 30       | F508del (HET)              |           | 810                         | 6   | 6      | 6      | 804   | 804    | 804    | 0                      | 0                        | 100                  | 100                  | 100                |
| A     | 31       | 1717-1G>A (HET)            |           | 810                         | 6   | 6      | 6      | 804   | 804    | 804    | 0                      | 0                        | 100                  | 100                  | 100                |
| A     | 32       | R1162X (HET)               |           | 810                         | 6   | 6      | 6      | 804   | 804    | 804    | 0                      | 0                        | 100                  | 100                  | 100                |
| A     | 33       | R347P/G551D (HET)          |           | 810                         | 12  | 12     | 12     | 798   | 798    | 798    | 0                      | 0                        | 100                  | 100                  | 100                |
| A     | 34       | R334W (HET)                |           | 810                         | 6   | 6      | 6      | 804   | 804    | 804    | 0                      | 0                        | 100                  | 100                  | 100                |
| A     | 35       | WT                         |           | 810                         | 0   | 0      | 0      | 810   | 810    | 810    | 0                      | 0                        | N/A                  | 100                  | 100                |
| A     | 36       | G85E (HET)                 |           | 810                         | 6   | 6      | 6      | 804   | 804    | 804    | 0                      | 0                        | 100                  | 100                  | 100                |
| A     | 37       | I336K (HET)                |           | 810                         | 6   | 6      | 6      | 804   | 804    | 804    | 0                      | 0                        | 100                  | 100                  | 100                |
| A     | 38       | WT                         |           | 810                         | 0   | 0      | 0      | 810   | 810    | 810    | 0                      | 0                        | N/A                  | 100                  | 100                |
| A     | 39       | F508del/3849+10kbC>T (HET) |           | 810                         | 12  | 12     | 12     | 798   | 798    | 798    | 0                      | 0                        | 100                  | 100                  | 100                |

| Panel | Prøvenr. | Prøvegenotype               | Varianter             | Totale betegnelser per sted | Positive samsvarende betegnelser (variante) |        |        | Negative samsvarende betegnelser (villtype) |        |        | Antall feilbetegnelser | Antall ingen betegnelser | Positivt samsvar (%) | Negativt samsvar (%) | Samlet samsvar (%) |
|-------|----------|-----------------------------|-----------------------|-----------------------------|---|--------|--------|---|--------|--------|------------------------|--------------------------|----------------------|----------------------|--------------------|
|       |          |                             |                       |                             | Sted 1                                      | Sted 2 | Sted 3 | Sted 1                                      | Sted 2 | Sted 3 |                        |                          |                      |                      |                    |
|       |          |                             |                       |                             | 1   | 2      | 3      | 1   | 2      | 3      |                        |                          |                      |                      |                    |
| A     | 40       | 621+1G>T/3120+1G>A (HET)    |                       | 810                         | 12  | 12     | 12     | 798   | 798    | 798    | 0                      | 0                        | 100                  | 100                  | 100                |
| A     | 41       | F508del/3659delC (HET)      |                       | 810                         | 12  | 12     | 12     | 798   | 798    | 798    | 0                      | 0                        | 100                  | 100                  | 100                |
| A     | 42       | R117H/F508del (HET)         | (TG)10(T)9/(TG)12(T)5 | 816                         | 18  | 18     | 18     | 798   | 798    | 798    | 0                      | 0                        | 100                  | 100                  | 100                |
| A     | 43       | G85E/621+1G>T (HET)         |                       | 810                         | 12  | 12     | 12     | 798   | 798    | 798    | 0                      | 0                        | 100                  | 100                  | 100                |
| A     | 44       | A455E/F508del (HET)         |                       | 810                         | 12  | 12     | 12     | 798   | 798    | 798    | 0                      | 0                        | 100                  | 100                  | 100                |
| A     | 45       | N1303K (HET)                |                       | 810                         | 6   | 6      | 6      | 804   | 804    | 804    | 0                      | 0                        | 100                  | 100                  | 100                |
| A     | 46       | G551D/R553X (HET)           |                       | 810                         | 12  | 12     | 12     | 798   | 798    | 798    | 0                      | 0                        | 100                  | 100                  | 100                |
| B     | 47       | 2789+5G>A (HOM)             |                       | 810                         | 6   | 6      | 6      | 804   | 804    | 804    | 0                      | 0                        | 100                  | 100                  | 100                |
| B     | 48       | CFTR dele2, 3/F508del (HET) |                       | 810                         | 12  | 12     | 12     | 798   | 798    | 798    | 0                      | 0                        | 100                  | 100                  | 100                |
| B     | 49       | F508del/1898+1G>A (HET)     |                       | 810                         | 12  | 12     | 12     | 798   | 798    | 798    | 0                      | 0                        | 100                  | 100                  | 100                |
| B     | 50       | WT                          |                       | 810                         | 0   | 0      | 0      | 810   | 810    | 810    | 0                      | 0                        | N/A                  | 100                  | 100                |
| B     | 51       | F508del/2143delT (HET)      |                       | 810                         | 12  | 12     | 12     | 798   | 798    | 798    | 0                      | 0                        | 100                  | 100                  | 100                |
| B     | 52       | 3876delA (HET)              |                       | 810                         | 6   | 6      | 6      | 804   | 804    | 804    | 0                      | 0                        | 100                  | 100                  | 100                |
| B     | 53       | 3905insT (HET)              |                       | 810                         | 6   | 6      | 6      | 804   | 804    | 804    | 0                      | 0                        | 100                  | 100                  | 100                |
| B     | 54       | 394delTT (HET)              |                       | 810                         | 6   | 6      | 6      | 804   | 804    | 804    | 0                      | 0                        | 100                  | 100                  | 100                |
| B     | 55       | F508del (HET)               |                       | 810                         | 6   | 6      | 6      | 804   | 804    | 804    | 0                      | 0                        | 100                  | 100                  | 100                |
| B     | 56       | WT                          |                       | 810                         | 0   | 0      | 0      | 810   | 810    | 810    | 0                      | 0                        | N/A                  | 100                  | 100                |
| B     | 57       | WT                          |                       | 810                         | 0   | 0      | 0      | 810   | 810    | 810    | 0                      | 0                        | N/A                  | 100                  | 100                |

| Panel | Prøvenr.        | Prøvegenotype            | Varianter | Totale betegnelser per sted | Positive samsvarende betegnelser (varianter) |        |        | Negative samsvarende betegnelser (villtype) |        |        | Antall feilbetegnelser | Antall ingen betegnelser | Positivt samsvar (%) | Negativt samsvar (%) | Samlet samsvar (%) |
|-------|-----------------|--------------------------|-----------|-----------------------------|--|--------|--------|---|--------|--------|------------------------|--------------------------|----------------------|----------------------|--------------------|
|       |                 |                          |           |                             | Sted 1                                       | Sted 2 | Sted 3 | Sted 1                                      | Sted 2 | Sted 3 |                        |                          |                      |                      |                    |
|       |                 |                          |           |                             | 1  | 2      | 3      | 1   | 2      | 3      |                        |                          |                      |                      |                    |
| B     | 58              | F508del (HET)            |           | 810                         | 6  | 6      | 6      | 804   | 804    | 804    | 0                      | 0                        | 100                  | 100                  | 100                |
| B     | 59              | WT                       |           | 810                         | 0  | 0      | 0      | 810   | 810    | 810    | 0                      | 0                        | N/A                  | 100                  | 100                |
| B     | 60              | L206W (HET)              |           | 810                         | 6  | 6      | 6      | 804   | 804    | 804    | 0                      | 0                        | 100                  | 100                  | 100                |
| B     | 61              | WT                       |           | 810                         | 0  | 0      | 0      | 810   | 810    | 810    | 0                      | 0                        | N/A                  | 100                  | 100                |
| B     | 62              | G330X (HET)              |           | 810                         | 6  | 6      | 6      | 804   | 804    | 804    | 0                      | 0                        | 100                  | 100                  | 100                |
| B     | 63              | WT                       |           | 810                         | 0  | 0      | 0      | 810   | 810    | 810    | 0                      | 0                        | N/A                  | 100                  | 100                |
| B     | 64              | R347H (HET)              |           | 810                         | 6  | 6      | 6      | 804   | 804    | 804    | 0                      | 0                        | 100                  | 100                  | 100                |
| B     | 65              | 1078delT (HET)           |           | 810                         | 6  | 6      | 6      | 804   | 804    | 804    | 0                      | 0                        | 100                  | 100                  | 100                |
| B     | 66              | G178R/F508del (HET)      |           | 810                         | 12   | 12     | 12     | 798   | 798    | 798    | 0                      | 0                        | 100                  | 100                  | 100                |
| B     | 67              | S549R (c.1647T>G) (HET)  |           | 810                         | 6  | 6      | 6      | 804   | 804    | 804    | 0                      | 0                        | 100                  | 100                  | 100                |
| B     | 68              | S549N (HET)              |           | 810                         | 6  | 6      | 6      | 804   | 804    | 804    | 0                      | 0                        | 100                  | 100                  | 100                |
| B     | 69              | W846X (HET)              |           | 810                         | 6  | 6      | 6      | 804   | 804    | 804    | 0                      | 0                        | 100                  | 100                  | 100                |
| B     | 70              | WT                       |           | 810                         | 0  | 0      | 0      | 810   | 810    | 810    | 0                      | 0                        | N/A                  | 100                  | 100                |
| B     | 71              | E92X/F508del (HET)       |           | 810                         | 12   | 12     | 12     | 798   | 798    | 798    | 0                      | 0                        | 100                  | 100                  | 100                |
| B     | 72 <sup>4</sup> | 621+1G>T/1154insTC (HET) |           | 810                         | 12   | 12     | 12     | 798   | 798    | 797    | 0                      | 1 <sup>4</sup>           | 100                  | 99,96                | 99,96              |
| B     | 73              | G542X (HET)              |           | 810                         | 6  | 6      | 6      | 804   | 804    | 804    | 0                      | 0                        | 100                  | 100                  | 100                |
| B     | 74              | F508del (HET)            |           | 810                         | 6  | 6      | 6      | 804   | 804    | 804    | 0                      | 0                        | 100                  | 100                  | 100                |
| B     | 75 <sup>2</sup> | F508del (HET)            |           | 810                         | 6  | 5      | 6      | 804   | 670    | 804    | 0                      | 135 <sup>2</sup>         | 94,44                | 94,44                | 94,44              |
| B     | 76              | F508del (HET)            |           | 810                         | 6  | 6      | 6      | 804   | 804    | 804    | 0                      | 0                        | 100                  | 100                  | 100                |

| Panel  | Prøvenr.        | Prøvegenotype               | Varianter             | Totale betegnelser per sted | Positive samsvarende betegnelser (variante) |        |        | Negative samsvarende betegnelser (villtype) |        |        | Antall feilbetegnelser | Antall ingen betegnelser | Positivt samsvar (%) | Negativt samsvar (%) | Samlet samsvar (%) |
|--------|-----------------|-----------------------------|-----------------------|-----------------------------|---|--------|--------|---|--------|--------|------------------------|--------------------------|----------------------|----------------------|--------------------|
|        |                 |                             |                       |                             | Sted 1                                      | Sted 2 | Sted 3 | Sted 1                                      | Sted 2 | Sted 3 |                        |                          |                      |                      |                    |
|        |                 |                             |                       |                             | 1   | 2      | 3      | 1   | 2      | 3      |                        |                          |                      |                      |                    |
| B      | 77              | 621+1G>T/A455E (HET)        |                       | 810                         | 12  | 12     | 12     | 798   | 798    | 798    | 0                      | 0                        | 100                  | 100                  | 100                |
| B      | 78              | 1812-1G>A (HET)             |                       | 810                         | 6   | 6      | 6      | 804   | 804    | 804    | 0                      | 0                        | 100                  | 100                  | 100                |
| B      | 79              | WT                          |                       | 810                         | 0   | 0      | 0      | 810   | 810    | 810    | 0                      | 0                        | N/A                  | 100                  | 100                |
| B      | 80              | F508del/R553X (HET)         |                       | 810                         | 12  | 12     | 12     | 798   | 798    | 798    | 0                      | 0                        | 100                  | 100                  | 100                |
| B      | 81              | F508del/G551D (HET)         |                       | 810                         | 12  | 12     | 12     | 798   | 798    | 798    | 0                      | 0                        | 100                  | 100                  | 100                |
| B      | 82              | R347P/F508del (HET)         |                       | 810                         | 12  | 12     | 12     | 798   | 798    | 798    | 0                      | 0                        | 100                  | 100                  | 100                |
| B      | 83              | R117H/F508del (HET)         | (TG)10(T)9/(TG)12(T)5 | 816                         | 18  | 18     | 18     | 798   | 798    | 798    | 0                      | 0                        | 100                  | 100                  | 100                |
| B      | 84              | I507del (HET)               |                       | 810                         | 6   | 6      | 6      | 804   | 804    | 804    | 0                      | 0                        | 100                  | 100                  | 100                |
| B      | 85              | 2789+5G>A (HOM)             |                       | 810                         | 6   | 6      | 6      | 804   | 804    | 804    | 0                      | 0                        | 100                  | 100                  | 100                |
| B      | 86 <sup>4</sup> | CFTR dele2, 3/F508del (HET) |                       | 810                         | 12  | 12     | 12     | 798   | 797    | 798    | 0                      | 1 <sup>4</sup>           | 100                  | 99,96                | 99,96              |
| B      | 87              | F508del/1898+1G>A (HET)     |                       | 810                         | 12  | 12     | 12     | 798   | 798    | 798    | 0                      | 0                        | 100                  | 100                  | 100                |
| B      | 88              | WT                          |                       | 810                         | 0   | 0      | 0      | 810   | 810    | 810    | 0                      | 0                        | N/A                  | 100                  | 100                |
| B      | 89              | F508del/2143delT (HET)      |                       | 810                         | 12  | 12     | 12     | 798   | 798    | 798    | 0                      | 0                        | 100                  | 100                  | 100                |
| B      | 90              | 3905insT (HET)              |                       | 810                         | 6   | 6      | 6      | 804   | 804    | 804    | 0                      | 0                        | 100                  | 100                  | 100                |
| B      | 91              | 394delTT (HET)              |                       | 810                         | 6   | 6      | 6      | 804   | 804    | 804    | 0                      | 0                        | 100                  | 100                  | 100                |
| B      | 92              | F508del (HET)               |                       | 810                         | 6   | 6      | 6      | 804   | 804    | 804    | 0                      | 0                        | 100                  | 100                  | 100                |
| Totalt |                 |                             |                       | 74 556                      | 2209  |        |        | 221182                                      |        |        | 4                      | 273                      | 99,77                | 99,88                | 99,88              |

<sup>1</sup> Villtypeplasseringen som tilsvarer N1303K-varianten for ett replikat, førte til No call (Ingen betegnelse) pga. utilstrekkelig dekning.

<sup>2</sup> Ett replikat av prøve 5 og 75 hadde en betegnelsesfrekvens på 0 %. Videre undersøkelser indikerer at prøver muligens ikke er blitt tilsatt prøveplaten før bibliotekklargjøring, fordi prøvevolumene som var igjen i rørene, stemte overens med at det ikke var fjernet noe volum.

<sup>3</sup> Dokumentasjon viser at prøve 9 og 10 sannsynligvis ble byttet om av operatøren før bibliotekklargjøring.

<sup>4</sup> Villtypeplasseringen som tilsvarer M1V-varianten for ett replikat av hver av to prøver, førte til en No call (Ingen betegnelse) pga. utilstrekkelig dekning.

# Karakteristikker for somatisk ytelse

Studier som er beskrevet her, brukte Somatic Variant Module (Somatiske variantmodul) for å analysere sekvenseringsdata, unntatt de studiene som bruker de to genpanelene der en analysespesifikk modul ble brukt.

## Nøyaktighet

Tre studier ble gjennomført for å vurdere nøyaktigheten til MiSeqDx-instrumentet med DNA ekstrahert fra FFPE-prøver.

### Studie 1

Studien brukte en representativ analyse beregnet på å undersøke en rekke gener som dekker 12 588 baser over 23 forskjellige kromosomer ved bruk av 150 PCR-produkter. Y-kromosomet inneholder ikke konfidensområder og ble ikke evaluert. De fem unike prøvene som ble brukt i denne studien, er fra én enkelt familie – to foreldre og tre barn – som er hyppig sekvensert i flere laboratorier og med flere sekvenseringsmetoder. Tre prøver er fra kvinner og to er fra menn. Alle prøvene ble formalinfiksert og parafininnstøpt før DNA ble ekstrahert for studien. Prøve GM12877 ble fortynnet, på DNA-nivå, med prøve GM12878 for å skape GM12877-D for å lage et sett med varianter med frekvenser nær 5 % og 10 %. Hver av prøvene ble testet i to eksemplarer, unntatt GM12877-D som ble testet med fem replikater. Nøyaktighet ble fastslått for SNV-er, insersjoner og delesjoner ved å sammenligne studiedataene med en godt karakterisert referansedatabase. Referansedatabasesekvensen (Platinum Genomes versjon 2016-01) ble utledet fra kombinasjonen av flere sekvenseringsmetoder, offentlig tilgjengelig data og informasjon om arvelighet. Sikre genomregioner ble definert basert på denne referansemetoden hvis ikke annet er spesifisert. Prøvene ble kjørt totalt åtte ganger. Tabellene som presenteres for å vise nøyaktighet, er basert på data fra den første kjøringen.

**Tabell 10** inneholder studiedataene presentert med positivt og negativt prosentsamsvar for hver prøve, der variantresultatene er sammenlignet med en godt karakterisert sammensatt referansemetode for PPA-beregninger. De tre varianttypene (SNV-er, insersjoner og delesjoner) er kombinert. Siden referansemetoden kun gir resultater for de enkle nukleotidvariantene og insersjonene/delesjonene, sammenlignes baseresultater uten variant med referansesekvensen hg19 for humant genom for NPA-beregninger.

Tabell 10 Samsvar av basebetegnelseresultater med MiSeqDx-instrumentet med referansedata for 6 godt karakteriserte prøver

| Prøve   | Gjennomsnittlig betegnelsesfrekvens | Totalt antall varianter | Totalt antall TP-varianter | Totalt antall FN-varianter | Totalt antall TN-betegnelser | PPA | NPA | OPA |
|---------|-------------------------------------|-------------------------|----------------------------|----------------------------|------------------------------|-----|-----|-----|
| GM12877 | 98,7                                | 152                     | 147                        | 0                          | 23719                        | 100 | 100 | 100 |
| GM12878 | 98,4                                | 270                     | 260                        | 0                          | 23482                        | 100 | 100 | 100 |

| Prøve                  | Gjennomsnittlig betegnelsesfrekvens | Totalt antall varianter | Totalt antall TP-varianter | Totalt antall FN-varianter | Totalt antall TN-betegnelser | PPA | NPA | OPA |
|------------------------|-------------------------------------|-------------------------|----------------------------|----------------------------|------------------------------|-----|-----|-----|
| GM12879                | 98,7                                | 192                     | 186                        | 0                          | 23744                        | 100 | 100 | 100 |
| GM12885                | 99,1                                | 244                     | 236                        | 0                          | 23713                        | 100 | 100 | 100 |
| GM12886                | 98,7                                | 230                     | 226                        | 0                          | 23652                        | 100 | 100 | 100 |
| GM12877-D <sup>1</sup> |                                     | 675                     | 650                        | 0                          |                              | 100 | 100 | 100 |
| GM12877-D <sup>2</sup> | 98,4                                | 155                     | 155                        | 0                          | 57608                        | 100 | 100 | 100 |

<sup>1</sup> Varianter med frekvens høyere enn 20 %.

<sup>2</sup> Variant med frekvens lavere enn 20 %.

De 150 amplikonene ble designet for å dekke ulike genometiske innhold. GC-innholdet i PCR-produktene varierte fra 26 til 87 %. PCR-produkter hadde også et utvalg av enkle nukleotid- (f.eks. PolyA, PolyT), dinukleotid- og trinukleotidrepetisjoner. 6 unike prøver ble brukt i analysen. Data ble samlet på et per amplikongrunnlag (Tabell 11) for å fastslå effekten av genomisk innhold i % korrekte betegnelser. % korrekte betegnelser består av variant- og referansebetegnelser og er mindre enn 100 % hvis det finnes enten feil eller ingen betegnelser. Ingen betegnelser oppstår når ett eller flere filtre ikke oppfylles for variantbetegnelse (f.eks. utilstrekkelig dekning). Det var ingen feil betegnelser. Antall ingen betegnelser varierte betydelig over PCR-produktene. GC-innhold og flere interaksjoner med GC-innhold var de mest signifikante prediktorene for ingen betegnelser. 2040/2580 (79 %) av ingen betegnelser kom av at de ikke oppfylte dekningsspesifikasjonen. PCR-produkter med GC-innhold høyere enn 78 % førte til flest ingen betegnelser. Et representativt PCR-produkt med et GC-innhold på 78 %, hadde totalt 675 ingen betegnelser. Et representativt PCR-produkt med et GC-innhold på 87 %, hadde totalt 1365 ingen betegnelser. Dekning kan økes ved å redusere antall prøver som lastes inn i strømningscellen, som kan gi påvisning på PCR-produkter med høyt GC-innhold.

Tabell 11 Nøyaktighetsdata for amplikonnivå

| PCR-produkt | Kromosom | Start for PCR-produkt | Slutt for PCR-produkt | Analysert fragmentstørrelse | Baser i konfidensområder | Genomisk innhold i PCR-produkt | GC-innhold | Totalt antall korrekte betegnelser | Totalt antall feil betegnelser | Totalt antall ingen betegnelser | % korrekte betegnelser |
|-------------|----------|-----------------------|-----------------------|-----------------------------|--------------------------|--------------------------------|------------|------------------------------------|--------------------------------|---------------------------------|------------------------|
| 1           | 1        | 36450499              | 36450591              | 93                          | 93                       | Indel                          | 0,22       | 1395                               | 0                              | 0                               | 100                    |
| 2           | 1        | 109465122             | 109465200             | 79                          | 79                       | PolyA (5), PolyC (5), indel    | 0,38       | 1185                               | 0                              | 0                               | 100                    |
| 3           | 1        | 218353867             | 218353957             | 91                          | 91                       | Indel                          | 0,4        | 1364                               | 0                              | 1                               | 99,9                   |
| 4           | 1        | 223906657             | 223906748             | 92                          | 92                       | Indel                          | 0,49       | 1380                               | 0                              | 0                               | 100                    |
| 5           | 1        | 228526602             | 228526682             | 81                          | 81                       | PolyG (5)                      | 0,69       | 1215                               | 0                              | 0                               | 100                    |
| 6           | 1        | 236372039             | 236372108             | 70                          | 70                       | PolyT (10), indel              | 0,39       | 1050                               | 0                              | 0                               | 100                    |

| PCR-produkt | Kromosom | Start for PCR-produkt | Slutt for PCR-produkt | Analysert fragmentstørrelse | Baser i konfidensområder | Genomisk innhold i PCR-produkt          | GC-innhold | Totalt antall korrekte betegnelser | Totalt antall feil betegnelser | Totalt antall ingen betegnelser | % korrekte betegnelser |
|-------------|----------|-----------------------|-----------------------|-----------------------------|--------------------------|---|------------|------------------------------------|--------------------------------|---------------------------------|------------------------|
| 7           | 1        | 247812041             | 247812128             | 88                          | 88                       | PolyA (5), CT (3), TAA (3), indel       | 0,27       | 1320                               | 0                              | 0                               | 100                    |
| 8           | 2        | 55862774              | 55862863              | 90                          | 90                       | Indel                                   | 0,28       | 1350                               | 0                              | 0                               | 100                    |
| 9           | 2        | 87003930              | 87004009              | 80                          | 80                       | Indel                                   | 0,38       | 1200                               | 0                              | 0                               | 100                    |
| 10          | 2        | 177016721             | 177016805             | 85                          | 81                       | N/A                                     | 0,65       | 1215                               | 0                              | 0                               | 100                    |
| 11          | 2        | 186625727             | 186625801             | 75                          | 75                       | PolyA (8)                               | 0,35       | 1117                               | 0                              | 10                              | 99,1                   |
| 12          | 2        | 190323504             | 190323591             | 88                          | 88                       | PolyT (5)                               | 0,42       | 1320                               | 0                              | 0                               | 100                    |
| 13          | 2        | 200796740             | 200796826             | 87                          | 87                       | PolyT (5), indel                        | 0,31       | 1302                               | 0                              | 8                               | 99,4                   |
| 14          | 2        | 212245049             | 212245139             | 91                          | 91                       | PolyT (5), PolyA (6), indel             | 0,3        | 1365                               | 0                              | 0                               | 100                    |
| 15          | 2        | 228147052             | 228147144             | 93                          | 93                       | N/A                                     | 0,43       | 1395                               | 0                              | 0                               | 100                    |
| 16          | 2        | 235016350             | 235016422             | 73                          | 73                       | PolyT (5), indel                        | 0,42       | 1095                               | 0                              | 0                               | 100                    |
| 17          | 3        | 4466229               | 4466321               | 93                          | 93                       | AT (3), indel                           | 0,27       | 1349                               | 0                              | 46                              | 96,7                   |
| 18          | 3        | 46620561              | 46620643              | 83                          | 83                       | N/A                                     | 0,43       | 1245                               | 0                              | 0                               | 100                    |
| 19          | 3        | 49851331              | 49851400              | 70                          | 70                       | CT (3), indel                           | 0,49       | 1050                               | 0                              | 0                               | 100                    |
| 20          | 3        | 189713161             | 189713248             | 88                          | 88                       | PolyA (5), PolyT (5), PolyA (9), TG (3) | 0,41       | 1305                               | 0                              | 30                              | 97,8                   |
| 21          | 3        | 190106030             | 190106104             | 75                          | 74                       | Indel                                   | 0,57       | 1108                               | 0                              | 2                               | 99,8                   |
| 22          | 4        | 2233667               | 2233744               | 78                          | 78                       | PolyA (6)                               | 0,26       | 1170                               | 0                              | 0                               | 100                    |
| 23          | 4        | 7780541               | 7780637               | 97                          | 97                       | PolyG (6), PolyT (5), PolyA (5)         | 0,42       | 1455                               | 0                              | 0                               | 100                    |
| 24          | 4        | 15688604              | 15688681              | 78                          | 78                       | N/A                                     | 0,29       | 1169                               | 0                              | 1                               | 99,9                   |
| 25          | 4        | 56236521              | 56236586              | 66                          | 62                       | PolyA (5), indel                        | 0,36       | 930                                | 0                              | 0                               | 100                    |
| 26          | 4        | 102839244             | 102839314             | 71                          | 69                       | PolyA (5)                               | 0,46       | 1035                               | 0                              | 0                               | 100                    |
| 27          | 4        | 164446743             | 164446804             | 62                          | 62                       | PolyA (7), indel                        | 0,27       | 920                                | 0                              | 10                              | 98,9                   |
| 28          | 5        | 1882081               | 1882158               | 78                          | 75                       | N/A                                     | 0,78       | 450                                | 0                              | 675                             | 40,0                   |
| 29          | 5        | 14769061              | 14769144              | 84                          | 84                       | GT (3), CCA (3)                         | 0,62       | 1260                               | 0                              | 0                               | 100                    |
| 30          | 5        | 41069808              | 41069871              | 64                          | 64                       | N/A                                     | 0,39       | 960                                | 0                              | 0                               | 100                    |
| 31          | 5        | 74077114              | 74077196              | 83                          | 83                       | PolyA (6), indel                        | 0,3        | 1245                               | 0                              | 0                               | 100                    |
| 32          | 5        | 147475343             | 147475409             | 67                          | 67                       | PolyT (5)                               | 0,37       | 1005                               | 0                              | 0                               | 100                    |
| 33          | 5        | 149323731             | 149323821             | 91                          | 91                       | CT (4), AG (3)                          | 0,55       | 1365                               | 0                              | 0                               | 100                    |

| PCR-produkt | Kromosom | Start for PCR-produkt | Slutt for PCR-produkt | Analysert fragmentstørrelse | Baser i konfidensområder | Genomisk innhold i PCR-produkt | GC-innhold | Totalt antall korrekte betegnelser | Totalt antall feil betegnelser | Totalt antall ingen betegnelser | % korrekte betegnelser |
|-------------|----------|-----------------------|-----------------------|-----------------------------|--------------------------|--------------------------------|------------|------------------------------------|--------------------------------|---------------------------------|------------------------|
| 34          | 5        | 155662213             | 155662287             | 75                          | 75                       | Indel                          | 0,43       | 1125                               | 0                              | 0                               | 100                    |
| 35          | 6        | 6318713               | 6318814               | 102                         | 102                      | PolyG (6)                      | 0,68       | 1530                               | 0                              | 0                               | 100                    |
| 36          | 6        | 24949983              | 24950074              | 92                          | 92                       | Indel                          | 0,63       | 1380                               | 0                              | 0                               | 100                    |
| 37          | 6        | 31084900              | 31084999              | 100                         | 94                       | GCT (5), indel                 | 0,61       | 1383                               | 0                              | 27                              | 98,1                   |
| 38          | 6        | 32147987              | 32148084              | 98                          | 98                       | PolyT (5), TCT (3), CTT (3)    | 0,55       | 1455                               | 0                              | 15                              | 99,0                   |
| 39          | 6        | 32986864              | 32986958              | 95                          | 95                       | Indel                          | 0,53       | 1425                               | 0                              | 0                               | 100                    |
| 40          | 6        | 33408498              | 33408583              | 86                          | 86                       | PolyC (6)                      | 0,7        | 1290                               | 0                              | 0                               | 100                    |
| 41          | 6        | 41647401              | 41647495              | 95                          | 94                       | PolyG (5), indel               | 0,61       | 1410                               | 0                              | 0                               | 100                    |
| 42          | 6        | 112435865             | 112435955             | 91                          | 91                       | PolyA (5)                      | 0,44       | 1365                               | 0                              | 0                               | 100                    |
| 43          | 7        | 22202076              | 22202148              | 73                          | 73                       | N/A                            | 0,44       | 1095                               | 0                              | 0                               | 100                    |
| 44          | 7        | 66276100              | 66276187              | 88                          | 88                       | Indel                          | 0,35       | 1320                               | 0                              | 0                               | 100                    |
| 45          | 7        | 77365735              | 77365821              | 87                          | 87                       | PolyA (7), AG (4)              | 0,26       | 1299                               | 0                              | 6                               | 99,5                   |
| 46          | 7        | 110939946             | 110940030             | 85                          | 85                       | Indel                          | 0,38       | 1275                               | 0                              | 0                               | 100                    |
| 47          | 7        | 128533468             | 128533557             | 90                          | 90                       | PolyG (5), indel               | 0,62       | 1350                               | 0                              | 0                               | 100                    |
| 48          | 7        | 149503875             | 149503965             | 91                          | 91                       | PolyG (6), PolyC (6), indel    | 0,71       | 1365                               | 0                              | 0                               | 100                    |
| 49          | 7        | 154404519             | 154404599             | 81                          | 66                       | N/A                            | 0,31       | 990                                | 0                              | 0                               | 100                    |
| 50          | 7        | 156476507             | 156476599             | 93                          | 93                       | Indel                          | 0,35       | 1395                               | 0                              | 0                               | 100                    |
| 51          | 8        | 1817312               | 1817394               | 83                          | 83                       | N/A                            | 0,42       | 1245                               | 0                              | 0                               | 100                    |
| 52          | 8        | 24811020              | 2481109               | 90                          | 89                       | PolyG (7), CTC (4), indel      | 0,61       | 1305                               | 0                              | 30                              | 97,8                   |
| 53          | 8        | 76518625              | 76518691              | 67                          | 67                       | Indel                          | 0,3        | 1005                               | 0                              | 0                               | 100                    |
| 54          | 9        | 103054909             | 103055006             | 98                          | 98                       | PolyG (6)                      | 0,67       | 1470                               | 0                              | 0                               | 100                    |
| 55          | 9        | 105586150             | 105586214             | 65                          | 65                       | Indel                          | 0,32       | 973                                | 0                              | 2                               | 99,8                   |
| 56          | 9        | 107620823             | 107620918             | 96                          | 96                       | N/A                            | 0,49       | 1440                               | 0                              | 0                               | 100                    |
| 57          | 9        | 123769149             | 123769231             | 83                          | 83                       | AT (3)                         | 0,37       | 1242                               | 0                              | 3                               | 99,8                   |
| 58          | 9        | 138995345             | 138995441             | 97                          | 97                       | PolyC (6), indel               | 0,68       | 1455                               | 0                              | 0                               | 100                    |
| 59          | 10       | 5987120               | 5987198               | 79                          | 78                       | PolyG (5), indel               | 0,47       | 1170                               | 0                              | 0                               | 100                    |
| 60          | 10       | 11784629              | 11784726              | 98                          | 91                       | GC (3)                         | 0,87       | 0                                  | 0                              | 1365                            | 0                      |
| 61          | 10       | 27317777              | 27317855              | 79                          | 79                       | PolyT (5)                      | 0,3        | 1185                               | 0                              | 0                               | 100                    |

| PCR-produkt | Kromosom | Start for PCR-produkt | Slutt for PCR-produkt | Analysert fragmentstørrelse | Baser i konfidensområder | Genomisk innhold i PCR-produkt         | GC-innhold | Totalt antall korrekte betegnelser | Totalt antall feil betegnelser | Totalt antall ingen betegnelser | % korrekte betegnelser |
|-------------|----------|-----------------------|-----------------------|-----------------------------|--------------------------|--|------------|------------------------------------|--------------------------------|---------------------------------|------------------------|
| 62          | 10       | 33018351              | 33018440              | 90                          | 90                       | PolyA (5), PolyT (5)                   | 0,2        | 1350                               | 0                              | 0                               | 100                    |
| 63          | 10       | 45084159              | 45084253              | 95                          | 95                       | Indel                                  | 0,35       | 1425                               | 0                              | 0                               | 100                    |
| 64          | 10       | 55892599              | 55892687              | 89                          | 88                       | AC (11), indel                         | 0,42       | 1290                               | 0                              | 69                              | 94,9                   |
| 65          | 10       | 101611250             | 101611329             | 80                          | 80                       | N/A                                    | 0,49       | 1200                               | 0                              | 0                               | 100                    |
| 66          | 10       | 118351373             | 118351453             | 81                          | 81                       | N/A                                    | 0,51       | 1215                               | 0                              | 0                               | 100                    |
| 67          | 11       | 8159816               | 8159912               | 97                          | 96                       | N/A                                    | 0,45       | 1440                               | 0                              | 0                               | 100                    |
| 68          | 11       | 30177648              | 30177717              | 70                          | 70                       | Indel                                  | 0,46       | 1050                               | 0                              | 0                               | 100                    |
| 69          | 11       | 47470345              | 47470444              | 100                         | 100                      | N/A                                    | 0,65       | 1500                               | 0                              | 0                               | 100                    |
| 70          | 11       | 59837679              | 59837740              | 62                          | 62                       | Indel                                  | 0,37       | 930                                | 0                              | 0                               | 100                    |
| 71          | 11       | 64418856              | 64418957              | 102                         | 102                      | N/A                                    | 0,59       | 1530                               | 0                              | 0                               | 100                    |
| 72          | 11       | 93529612              | 93529684              | 73                          | 73                       | PolyA (5)                              | 0,4        | 1095                               | 0                              | 0                               | 100                    |
| 73          | 11       | 101347052             | 101347136             | 85                          | 85                       | N/A                                    | 0,42       | 1275                               | 0                              | 0                               | 100                    |
| 74          | 11       | 102477336             | 102477426             | 91                          | 91                       | PolyG (6)                              | 0,55       | 1365                               | 0                              | 0                               | 100                    |
| 75          | 11       | 118406285             | 118406369             | 85                          | 85                       | Indel                                  | 0,53       | 1275                               | 0                              | 0                               | 100                    |
| 76          | 11       | 120357801             | 120357885             | 85                          | 85                       | PolyA (5), CA (3), indel               | 0,34       | 1275                               | 0                              | 0                               | 100                    |
| 77          | 11       | 125769313             | 125769397             | 85                          | 85                       | GA (3)                                 | 0,52       | 1275                               | 0                              | 0                               | 100                    |
| 78          | 12       | 2834770               | 2834853               | 84                          | 84                       | PolyC (5), indel                       | 0,52       | 1260                               | 0                              | 14                              | 98,9                   |
| 79          | 12       | 26811004              | 26811096              | 93                          | 93                       | PolyA (7), AC (4)                      | 0,33       | 1395                               | 0                              | 0                               | 100                    |
| 80          | 12       | 30881766              | 30881846              | 81                          | 81                       | N/A                                    | 0,49       | 1215                               | 0                              | 0                               | 100                    |
| 81          | 12       | 88474105              | 88474175              | 71                          | 71                       | PolyA (6)                              | 0,35       | 1065                               | 0                              | 0                               | 100                    |
| 82          | 12       | 120966872             | 120966966             | 95                          | 95                       | PolyG (5)                              | 0,68       | 1425                               | 0                              | 0                               | 100                    |
| 83          | 12       | 24167504              | 24167576              | 73                          | 73                       | N/A                                    | 0,52       | 1095                               | 0                              | 0                               | 100                    |
| 84          | 13       | 25816961              | 25817049              | 89                          | 88                       | PolyA (5), PolyT (7), PolyA (7), indel | 0,22       | 1305                               | 0                              | 15                              | 98,9                   |
| 85          | 13       | 44880112              | 44880200              | 89                          | 89                       | Indel                                  | 0,49       | 1335                               | 0                              | 0                               | 100                    |
| 86          | 13       | 77665218              | 77665294              | 77                          | 77                       | Indel                                  | 0,39       | 1155                               | 0                              | 0                               | 100                    |
| 87          | 14       | 31619327              | 31619393              | 67                          | 67                       | GA (3), TA (3)                         | 0,39       | 1005                               | 0                              | 0                               | 100                    |
| 88          | 14       | 39517884              | 39517966              | 83                          | 83                       | N/A                                    | 0,25       | 1245                               | 0                              | 0                               | 100                    |
| 89          | 14       | 46958962              | 46959034              | 73                          | 72                       | PolyT (5), indel                       | 0,19       | 1038                               | 0                              | 42                              | 96,1                   |

| PCR-produkt | Kromosom | Start for PCR-produkt | Slutt for PCR-produkt | Analysert fragmentstørrelse | Baser i konfidensområder | Genomisk innhold i PCR-produkt           | GC-innhold | Totalt antall korrekte betegnelser | Totalt antall feil betegnelser | Totalt antall ingen betegnelser | % korrekte betegnelser |
|-------------|----------|-----------------------|-----------------------|-----------------------------|--------------------------|--|------------|------------------------------------|--------------------------------|---------------------------------|------------------------|
| 90          | 14       | 58050030              | 58050110              | 81                          | 81                       | Indel                                    | 0,38       | 1215                               | 0                              | 0                               | 100                    |
| 91          | 14       | 82390559              | 82390649              | 91                          | 91                       | Indel                                    | 0,35       | 1365                               | 0                              | 0                               | 100                    |
| 92          | 14       | 92549544              | 92549609              | 66                          | 66                       | PolyA (5)                                | 0,41       | 975                                | 0                              | 60                              | 94,2                   |
| 93          | 14       | 102808496             | 102808589             | 94                          | 94                       | Indel                                    | 0,62       | 1410                               | 0                              | 0                               | 100                    |
| 94          | 15       | 43170751              | 43170848              | 98                          | 96                       | PolyC (5)                                | 0,45       | 1440                               | 0                              | 0                               | 100                    |
| 95          | 15       | 63446149              | 63446216              | 68                          | 68                       | Indel                                    | 0,25       | 1020                               | 0                              | 0                               | 100                    |
| 96          | 15       | 77879807              | 77879901              | 95                          | 93                       | PolyG (5), indel                         | 0,68       | 1395                               | 0                              | 0                               | 100                    |
| 97          | 15       | 81625334              | 81625428              | 95                          | 95                       | PolyT (6)                                | 0,43       | 1425                               | 0                              | 0                               | 100                    |
| 98          | 15       | 85438263              | 85438334              | 72                          | 71                       | Indel                                    | 0,65       | 1065                               | 0                              | 0                               | 100                    |
| 99          | 15       | 89817413              | 89817503              | 91                          | 91                       | N/A                                      | 0,36       | 1365                               | 0                              | 0                               | 100                    |
| 100         | 15       | 89864274              | 89864343              | 70                          | 70                       | Indel                                    | 0,56       | 1050                               | 0                              | 0                               | 100                    |
| 101         | 16       | 1894910               | 1894972               | 63                          | 63                       | N/A                                      | 0,27       | 945                                | 0                              | 0                               | 100                    |
| 102         | 16       | 28997904              | 28997998              | 95                          | 95                       | PolyC (5)                                | 0,67       | 1425                               | 0                              | 0                               | 100                    |
| 103         | 16       | 3682908               | 53682994              | 87                          | 87                       | TA (3)                                   | 0,41       | 1305                               | 0                              | 0                               | 100                    |
| 104         | 16       | 57954406              | 57954509              | 104                         | 104                      | PolyC (5)                                | 0,67       | 1560                               | 0                              | 0                               | 100                    |
| 105         | 16       | 85706375              | 85706465              | 91                          | 91                       | PolyT (5), indel                         | 0,37       | 1362                               | 0                              | 3                               | 99,8                   |
| 106         | 17       | 3563920               | 3564008               | 89                          | 89                       | GC (3)                                   | 0,64       | 1335                               | 0                              | 0                               | 100                    |
| 107         | 17       | 3594191               | 3594277               | 87                          | 87                       | PolyC (5), indel                         | 0,67       | 1303                               | 0                              | 2                               | 99,8                   |
| 108         | 17       | 3970090               | 3970180               | 91                          | 91                       | Indel                                    | 0,46       | 1365                               | 0                              | 0                               | 100                    |
| 109         | 17       | 16084945              | 16085037              | 93                          | 93                       | Indel                                    | 0,26       | 1395                               | 0                              | 0                               | 100                    |
| 110         | 17       | 33998759              | 33998849              | 91                          | 89                       | PolyT (5)                                | 0,54       | 1335                               | 0                              | 0                               | 100                    |
| 111         | 17       | 39589691              | 39589774              | 84                          | 82                       | PolyA (13), indel (x2)                   | 0,29       | 1215                               | 0                              | 78                              | 94,0                   |
| 112         | 17       | 41244394              | 41244484              | 91                          | 91                       | PolyA (5)                                | 0,34       | 1365                               | 0                              | 0                               | 100                    |
| 113         | 17       | 45438866              | 45438957              | 92                          | 92                       | PolyA (7), AT (3), AT (4), AT (4), indel | 0,26       | 1365                               | 0                              | 15                              | 98,9                   |
| 114         | 17       | 61502432              | 61502510              | 79                          | 79                       | Indel                                    | 0,41       | 1175                               | 0                              | 10                              | 99,2                   |
| 115         | 17       | 64023582              | 64023667              | 86                          | 86                       | PolyT (7)                                | 0,22       | 1289                               | 0                              | 1                               | 99,9                   |
| 116         | 17       | 72308237              | 72308320              | 84                          | 84                       | GAG (3)                                  | 0,62       | 1260                               | 0                              | 0                               | 100                    |
| 117         | 18       | 2616456               | 2616522               | 67                          | 67                       | GA (3)                                   | 0,31       | 1005                               | 0                              | 0                               | 100                    |

| PCR-produkt | Kromosom | Start for PCR-produkt | Slutt for PCR-produkt | Analysert fragmentstørrelse | Baser i konfidensområder | Genomisk innhold i PCR-produkt | GC-innhold | Totalt antall korrekte betegnelser | Totalt antall feil betegnelser | Totalt antall ingen betegnelser | % korrekte betegnelser |
|-------------|----------|-----------------------|-----------------------|-----------------------------|--------------------------|--------------------------------|------------|------------------------------------|--------------------------------|---------------------------------|------------------------|
| 118         | 18       | 6980478               | 6980568               | 91                          | 91                       | N/A                            | 0,37       | 1365                               | 0                              | 0                               | 100                    |
| 119         | 18       | 9888026               | 9888094               | 69                          | 69                       | PolyA (6), TG (3)              | 0,43       | 1035                               | 0                              | 0                               | 100                    |
| 120         | 18       | 38836999              | 38837073              | 75                          | 75                       | PolyA (5), indel               | 0,37       | 1121                               | 0                              | 19                              | 98,3                   |
| 121         | 18       | 47405382              | 47405462              | 81                          | 81                       | CTC (3), indel                 | 0,47       | 1215                               | 0                              | 0                               | 100                    |
| 122         | 18       | 54815665              | 54815749              | 85                          | 85                       | CT (3), indel                  | 0,45       | 1275                               | 0                              | 0                               | 100                    |
| 123         | 18       | 59773996              | 59774060              | 65                          | 65                       | N/A                            | 0,48       | 975                                | 0                              | 0                               | 100                    |
| 124         | 19       | 625143                | 625241                | 99                          | 99                       | N/A                            | 0,59       | 1478                               | 0                              | 7                               | 99,5                   |
| 125         | 19       | 18121418              | 18121491              | 74                          | 74                       | N/A                            | 0,68       | 1110                               | 0                              | 0                               | 100                    |
| 126         | 19       | 18186574              | 18186643              | 70                          | 70                       | N/A                            | 0,64       | 1050                               | 0                              | 0                               | 100                    |
| 127         | 20       | 746056                | 746149                | 94                          | 94                       | N/A                            | 0,61       | 1410                               | 0                              | 0                               | 100                    |
| 128         | 20       | 10633195              | 10633276              | 82                          | 82                       | AC (3)                         | 0,59       | 1230                               | 0                              | 0                               | 100                    |
| 129         | 20       | 17705633              | 17705708              | 76                          | 76                       | CT (3)                         | 0,58       | 1140                               | 0                              | 0                               | 100                    |
| 130         | 20       | 21766821              | 21766890              | 70                          | 70                       | GT (3), TG (4), indel          | 0,46       | 1050                               | 0                              | 0                               | 100                    |
| 131         | 20       | 25278421              | 25278521              | 101                         | 101                      | Indel                          | 0,63       | 1515                               | 0                              | 0                               | 100                    |
| 132         | 20       | 50897302              | 50897368              | 67                          | 67                       | Indel                          | 0,36       | 1005                               | 0                              | 6                               | 99,4                   |
| 133         | 20       | 62331904              | 62331994              | 91                          | 88                       | PolyG (6)                      | 0,73       | 1320                               | 0                              | 0                               | 100                    |
| 134         | 20       | 62690860              | 62690946              | 87                          | 87                       | Indel                          | 0,57       | 1305                               | 0                              | 0                               | 100                    |
| 135         | 21       | 30300823              | 30300888              | 66                          | 66                       | Indel                          | 0,35       | 990                                | 0                              | 0                               | 100                    |
| 136         | 21       | 33694176              | 33694273              | 98                          | 98                       | PolyT (6), CA (3)              | 0,54       | 1470                               | 0                              | 0                               | 100                    |
| 137         | 21       | 36710706              | 36710792              | 87                          | 87                       | GT (3), indel                  | 0,39       | 1305                               | 0                              | 0                               | 100                    |
| 138         | 21       | 46644924              | 46644992              | 69                          | 69                       | PolyA (6), AG (3), indel       | 0,32       | 1029                               | 0                              | 7                               | 99,3                   |
| 139         | 21       | 46705575              | 46705664              | 90                          | 90                       | PolyT (5), PolyA (6)           | 0,5        | 1350                               | 0                              | 0                               | 100                    |
| 140         | 22       | 25750774              | 25750873              | 100                         | 100                      | Indel                          | 0,63       | 1500                               | 0                              | 1                               | 99,9                   |
| 141         | 22       | 32439233              | 32439329              | 97                          | 97                       | N/A                            | 0,68       | 1455                               | 0                              | 0                               | 100                    |
| 142         | 22       | 37409844              | 37409940              | 97                          | 97                       | Indel                          | 0,46       | 1455                               | 0                              | 0                               | 100                    |
| 143         | 22       | 37637596              | 37637694              | 99                          | 99                       | N/A                            | 0,6        | 1485                               | 0                              | 0                               | 100                    |
| 144         | 22       | 47081347              | 47081438              | 92                          | 92                       | Indel                          | 0,66       | 1380                               | 0                              | 0                               | 100                    |
| 145         | X        | 15870424              | 15870492              | 69                          | 69                       | PolyT (5)                      | 0,26       | 1035                               | 0                              | 0                               | 100                    |

| PCR-produkt | Kromosom | Start for PCR-produkt | Slutt for PCR-produkt | Analysert fragmentstørrelse | Baser i konfidensområder | Genomisk innhold i PCR-produkt | GC-innhold | Totalt antall korrekte betegnelser | Totalt antall feil betegnelser | Totalt antall ingen betegnelser | % korrekte betegnelser |
|-------------|----------|-----------------------|-----------------------|-----------------------------|--------------------------|--------------------------------|------------|------------------------------------|--------------------------------|---------------------------------|------------------------|
| 146         | X        | 135288543             | 135288611             | 69                          | 69                       | PolyC (5)                      | 0,62       | 1035                               | 0                              | 0                               | 100                    |
| 147         | X        | 135290777             | 135290847             | 71                          | 71                       | N/A                            | 0,52       | 1065                               | 0                              | 0                               | 100                    |
| 148         | Ja       | 2655397               | 2655461               | 65                          | 0                        | N/A                            | 0,55       | 0                                  | 0                              | 0                               | N/A                    |
| 149         | Ja       | 2655519               | 2655609               | 91                          | 0                        | N/A                            | 0,48       | 0                                  | 0                              | 0                               | N/A                    |
| 150         | Ja       | 2655609               | 2655679               | 71                          | 0                        | PolyA (5)                      | 0,37       | 0                                  | 0                              | 0                               | N/A                    |

Varianter som var ingen betegnelser, er oppsummert i [Tabell 12](#). De bestemte filtrene som førte til ingen betegnelser, er oppført i tabellen.

**Tabell 12** Oppsummering av varianter av ingen betegnelser

| PCR-produktnr. | Krom:Pos    | Variant | Korresponderende PCR-produktinnhold | Filter              | Utelatte varianter | Forventede varianter |
|----------------|-------------|---------|-------------------------------------|---------------------|--------------------|----------------------|
| 28             | 5:1882129   | T > G   | 78 % GC                             | Lav DP <sup>1</sup> | 8                  | 13                   |
| 52             | 8:24811064  | AG > A  | PolyG (7), CTC (4), 61 % GC         | R3x6 <sup>2</sup>   | 15                 | 15                   |
| 60             | 10:11784633 | C > T   | PolyGC (3), 87 % GC                 | Lav DP              | 13                 | 13                   |
| 64             | 10:55892600 | TAC > T | AC (11), 42 % GC                    | R3x6                | 9                  | 9                    |
| 111            | 17:39589692 | C > CA  | PolyA (13), 29 % GC                 | R3x6                | 13                 | 13                   |

<sup>1</sup> LavDP: Lav dekning. En variant filtreres hvis dybden i minst én av sammenslåingene ved denne bestemte posisjonen er under 900.

<sup>2</sup> R3 x 6: Gjenta filteret. En variant filtreres dersom hele eller deler av varianten er til stede gjentatte ganger i referansegenomet ved siden av variantposisjonen. Minst seks repetisjoner i referansen kreves og bare repetisjoner med en lengde på opptil 3 bp vurderes.

Sekvenseringsresultatene for prøven ble sammenlignet med en svært sikker genotype for NA12878, etablert av National Institutes of Standards and Technology (NIST) (v.2.19). Av de 150 amplikonene var 92 fullstendig innenfor de genomske konfidensområdene, 41 amplikoner hadde delvis overlapping og 17 amplikoner hadde ingen overlapping i NIST-sekvensen. Dette resulterte i 10 000 koordinater per replikat for sammenligning. Basebetegnelser uten variant ble sammenlignet med referansesekvensform hg19 for humant genom. Nøyaktighetsresultatene er vist i [Tabell 13](#).

**Tabell 13** Samsvar av basebetegnelsesresultater for MiSeqDx-instrumentet for GM12878-prøve med NIST-database

| Prøve   | Antall PCR-produkter | Gjennomsnittlig betegnelsefrekvens | Totalt antall TP-variantbetegnelser | Totalt antall FN-variantbetegnelser | Totalt antall TN-betegnelser | Totalt antall FP-betegnelser | PPA | NPA | OPA |
|---------|----------------------|------------------------------------|-------------------------------------|-------------------------------------|------------------------------|------------------------------|-----|-----|-----|
| GM12878 | 150                  | 98,43                              | 206                                 | 0                                   | 19231                        | 0                            | 100 | 100 | 100 |

De fem ufortynnede prøvene ble ytterligere analysert for betegnelse av små insersjoner og delesjoner (indeler) (Tabell 14). I noen tilfeller var indelen felles blant to eller flere prøver som gjenspeilt i totalt antall prøvereplikater med Indel-kolonnen. Resultater for begge replikater av de fem prøvene er inkludert i Tabell 14. Det var totalt 71 indeler, som varierte i størrelse fra 1–24 bp for insersjoner og 1–25 bp for delesjoner. 68 indeler ble hver påvist med et positivt prosentsamsvar på 1. Tre innsettinger og delesjoner hadde ingen korrekte betegnelser fordi hver av disse variantene var en ingen betegnelse på grunn av R3x6-filteret. Derfor kunne ikke PPA, som utelukker ingen betegnelser, bli beregnet. De tre variantene var 1 bp delesjon (chr8 24811064 AG>A); 2 bp delesjon (chr10 55892600 TAC>T); og 1 bp insersjon (chr17 39589692 C>CA).

Tabell 14 Oppsummering av indelpåvisning med MiSeqDx-instrumentet

| PCR-produkt | Kromosom | Posisjon  | Analyseret fragmentstørrelse | Type og lengde indel for PCR-produkt | Indel                        | Totalt antall prøvereplikater med indel | Antall ingen betegnelser | Totalt antall feil indelbetegnelser | Totalt antall korrekte indelbetegnelser | PPA |
|-------------|----------|-----------|------------------------------|--------------------------------------|------------------------------|---|--------------------------|-------------------------------------|---|-----|
| 1           | 1        | 36450544  | 93                           | 25 bp delesjon                       | GAAAATTAAATGAAACACATTGTCCT>G | 7                                       | 0                        | 0                                   | 7                                       | 100 |
| 2           | 1        | 109465165 | 79                           | 3 bp delesjon                        | ACTT>A                       | 9                                       | 0                        | 0                                   | 9                                       | 100 |
| 3           | 1        | 218353908 | 91                           | 23 bp insersjon                      | T>TTTTAATAGCAAAAGAGGCTAGA    | 15                                      | 0                        | 0                                   | 15                                      | 100 |
| 4           | 1        | 223906701 | 92                           | 17 bp delesjon                       | GACAGACTGTGAGGAAGA>G         | 11                                      | 0                        | 0                                   | 11                                      | 100 |
| 6           | 1        | 236372081 | 70                           | 5 bp insersjon                       | C>CTTAAG                     | 9                                       | 0                        | 0                                   | 9                                       | 100 |
| 7           | 1        | 247812083 | 88                           | 3 bp insersjon                       | C>CATG                       | 9                                       | 0                        | 0                                   | 9                                       | 100 |
| 8           | 2        | 55862804  | 90                           | 7 bp insersjon                       | T>TTTGGTAA                   | 13                                      | 0                        | 0                                   | 13                                      | 100 |
| 9           | 2        | 87003972  | 80                           | 6 bp delesjon                        | TTATCTC>T                    | 11                                      | 0                        | 0                                   | 11                                      | 100 |
| 13          | 2        | 200796749 | 87                           | 5 bp insersjon                       | T>TTAAAA                     | 15                                      | 0                        | 0                                   | 15                                      | 100 |
| 14          | 2        | 212245090 | 91                           | 12 bp insersjon                      | C>CTGAAAATAGGAT              | 11                                      | 0                        | 0                                   | 11                                      | 100 |
| 16          | 2        | 235016388 | 73                           | 2 bp insersjon                       | A>ATG                        | 9                                       | 0                        | 0                                   | 9                                       | 100 |
| 17          | 3        | 4466274   | 93                           | 23 bp delesjon                       | TAACCTAAAATTACAAAATAACCC>T   | 13                                      | 0                        | 0                                   | 13                                      | 100 |
| 19          | 3        | 49851375  | 70                           | 9 bp insersjon                       | C>CCTGGCTCCT                 | 7                                       | 0                        | 0                                   | 7                                       | 100 |
| 21          | 3        | 190106071 | 75                           | 1 bp delesjon                        | AG>A                         | 13                                      | 0                        | 0                                   | 13                                      | 100 |
| 25          | 4        | 56236567  | 66                           | 8 bp delesjon                        | TAACCGAAA>T                  | 9                                       | 0                        | 0                                   | 9                                       | 100 |
| 27          | 4        | 164446785 | 62                           | 11 bp insersjon                      | T>TTATGGTATTGA               | 9                                       | 0                        | 0                                   | 9                                       | 100 |
| 31          | 5        | 74077155  | 83                           | 4 bp delesjon                        | TAGTA>T                      | 7                                       | 0                        | 0                                   | 7                                       | 100 |
| 34          | 5        | 155662255 | 75                           | 8 bp insersjon                       | G>GCCTACTGA                  | 13                                      | 0                        | 0                                   | 13                                      | 100 |
| 36          | 6        | 24950035  | 92                           | 21 bp delesjon                       | CCCTGGGTGCTATAGCCCACCA>C     | 11                                      | 0                        | 0                                   | 11                                      | 100 |
| 37          | 6        | 31084942  | 100                          | 3 bp delesjon                        | GCTT>G                       | 15                                      | 0                        | 0                                   | 15                                      | 100 |

| PCR-produkt | Kromosom | Posisjon  | Analysert fragmentstørrelse | Type og lengde indel for PCR-produkt | Indel                         | Totalt antall prøvereplikater med indel | Antall ingen betegnelser | Totalt antall feil indelbetegnelser | Totalt antall korrekte indelbetegnelser | PPA |
|-------------|----------|-----------|-----------------------------|--------------------------------------|-------------------------------|---|--------------------------|-------------------------------------|---|-----|
| 39          | 6        | 32986905  | 95                          | 25 bp delesjon                       | CTTCACTTCCGTCTCATGCAAAG>C     | 7                                       | 0                        | 0                                   | 7                                       | 100 |
| 41          | 6        | 41647442  | 95                          | 23 bp delesjon                       | GGCATGAGGCTTGGTGACATGGCA>G    | 11                                      | 0                        | 0                                   | 11                                      | 100 |
| 44          | 7        | 66276142  | 88                          | 1 bp insersjon                       | C>CT                          | 13                                      | 0                        | 0                                   | 13                                      | 100 |
| 46          | 7        | 110939983 | 85                          | 4 bp delesjon                        | CAAGT>C                       | 13                                      | 0                        | 0                                   | 13                                      | 100 |
| 47          | 7        | 128533514 | 90                          | 1 bp insersjon                       | T>TC                          | 15                                      | 0                        | 0                                   | 15                                      | 100 |
| 48          | 7        | 149503916 | 91                          | 4 bp delesjon                        | GGATA>G                       | 7                                       | 0                        | 0                                   | 7                                       | 100 |
| 50          | 7        | 156476548 | 93                          | 11 bp delesjon                       | GAATCTGCACTT>G                | 13                                      | 0                        | 0                                   | 13                                      | 100 |
| 52          | 8        | 24811064  | 90                          | 1 bp delesjon                        | AG>A                          | 15                                      | 15                       | 0                                   | 0                                       | N/A |
| 53          | 8        | 76518677  | 67                          | 4 bp insersjon                       | T>TACTG                       | 9                                       | 0                        | 0                                   | 9                                       | 100 |
| 55          | 9        | 105586193 | 65                          | 4 bp insersjon                       | C>CAATT                       | 13                                      | 0                        | 0                                   | 13                                      | 100 |
| 58          | 9        | 138995370 | 97                          | 21 bp delesjon                       | TCTGGGGGGCAGCCCCCTGAGGG>T     | 9                                       | 0                        | 0                                   | 9                                       | 100 |
| 59          | 10       | 5987158   | 79                          | 3 bp delesjon                        | TAAC>T                        | 11                                      | 0                        | 0                                   | 11                                      | 100 |
| 63          | 10       | 45084202  | 95                          | 16 bp delesjon                       | AGCGTCTATAACCAAAT>A           | 11                                      | 0                        | 0                                   | 11                                      | 100 |
| 64          | 10       | 55892600  | 89                          | 2 bp delesjon                        | TAC>T                         | 9                                       | 9                        | 0                                   | 0                                       | 100 |
| 68          | 11       | 30177690  | 70                          | 2 bp insersjon                       | C>CTG                         | 7                                       | 0                        | 0                                   | 7                                       | 100 |
| 70          | 11       | 59837721  | 62                          | 8 bp insersjon                       | T>TTATGAAAA                   | 11                                      | 0                        | 0                                   | 11                                      | 100 |
| 75          | 11       | 118406328 | 85                          | 8 bp delesjon                        | CAGTGTGGA>C                   | 9                                       | 0                        | 0                                   | 9                                       | 100 |
| 76          | 11       | 120357842 | 85                          | 2 bp delesjon                        | CTT>C                         | 11                                      | 0                        | 0                                   | 11                                      | 100 |
| 78          | 12       | 2834814   | 84                          | 21 bp insersjon                      | T>TTCTCAGTACGGTGAACCCCAG      | 15                                      | 0                        | 0                                   | 15                                      | 100 |
| 84          | 13       | 25817002  | 89                          | 19 bp insersjon                      | C>CAAATATAAAAGCTCCCT          | 15                                      | 0                        | 0                                   | 15                                      | 100 |
| 85          | 13       | 44880152  | 89                          | 4 bp insersjon                       | C>CCTGT                       | 11                                      | 0                        | 0                                   | 11                                      | 100 |
| 86          | 13       | 77665265  | 77                          | 20 bp delesjon                       | ATCTATTTCTAACAGACGGC>A        | 9                                       | 0                        | 0                                   | 9                                       | 100 |
| 89          | 14       | 46958967  | 73                          | 22 bp delesjon                       | TTTAAAATTGAATGTGATAAAA>T      | 15                                      | 0                        | 0                                   | 15                                      | 100 |
| 90          | 14       | 58050081  | 81                          | 4 bp insersjon                       | C>CTGAT                       | 13                                      | 0                        | 0                                   | 13                                      | 100 |
| 91          | 14       | 82390602  | 91                          | 16 bp delesjon                       | CTTGCTCTATAAACCGT>C           | 11                                      | 0                        | 0                                   | 11                                      | 100 |
| 93          | 14       | 102808554 | 94                          | 5 bp delesjon                        | CGTGG>C                       | 9                                       | 0                        | 0                                   | 9                                       | 100 |
| 95          | 15       | 63446199  | 68                          | 6 bp delesjon                        | CAAATT>C                      | 11                                      | 0                        | 0                                   | 11                                      | 100 |
| 96          | 15       | 77879862  | 95                          | 25 bp delesjon                       | GCCCCCTGAGGCCAGCCTCCCGCTTTA>G | 9                                       | 0                        | 0                                   | 9                                       | 100 |

| PCR-produkt | Kromosom | Posisjon | Analysert fragmentstørrelse | Type og lengde indel for PCR-produkt | Indel                       | Totalt antall prøvereplikater med indel | Antall ingen betegnelser | Totalt antall feil indelbetegnelser | Totalt antall korrekte indelbetegnelser | PPA |
|-------------|----------|----------|-----------------------------|--------------------------------------|-----------------------------|---|--------------------------|-------------------------------------|---|-----|
| 98          | 15       | 85438311 | 72                          | 3 bp insersjon                       | C>CTTG                      | 9                                       | 0                        | 0                                   | 9                                       | 100 |
| 100         | 15       | 89864316 | 70                          | 4 bp insersjon                       | G>GCTAC                     | 9                                       | 0                        | 0                                   | 9                                       | 100 |
| 105         | 16       | 85706416 | 91                          | 7 bp delesjon                        | ATTATTC>A                   | 11                                      | 0                        | 0                                   | 11                                      | 100 |
| 107         | 17       | 3594276  | 87                          | 1 bp delesjon                        | TG>T                        | 13                                      | 0                        | 0                                   | 13                                      | 100 |
| 108         | 17       | 3970133  | 91                          | 18 bp insersjon                      | A>ATCCTATTCTACTCTGAAT       | 11                                      | 0                        | 0                                   | 11                                      | 100 |
| 109         | 17       | 16084985 | 93                          | 4 bp insersjon                       | A>AACAC                     | 7                                       | 0                        | 0                                   | 7                                       | 100 |
| 111         | 17       | 39589692 | 84                          | 1 bp insersjon                       | C>CA                        | 13                                      | 13                       | 0                                   | 0                                       | 100 |
| 112         | 17       | 39589739 | 84                          | 24 bp insersjon                      | T>TTCTGAAGGTCAAGTCTATCCCTGA | 15                                      | 0                        | 0                                   | 15                                      | 100 |
| 113         | 17       | 45438886 | 92                          | 4 bp delesjon                        | CAGTG>C                     | 7                                       | 0                        | 0                                   | 7                                       | 100 |
| 114         | 17       | 61502459 | 79                          | 12 bp delesjon                       | TTTGTATCTGCTG>T             | 13                                      | 0                        | 0                                   | 13                                      | 100 |
| 120         | 18       | 38837054 | 75                          | 22 bp insersjon                      | T>TGTATCTTAGCAAAGTTCTCA     | 15                                      | 0                        | 0                                   | 15                                      | 100 |
| 121         | 18       | 47405425 | 81                          | 3 bp insersjon                       | T>TGAG                      | 11                                      | 0                        | 0                                   | 11                                      | 100 |
| 122         | 18       | 54815706 | 85                          | 2 bp delesjon                        | ACT>A                       | 13                                      | 0                        | 0                                   | 13                                      | 100 |
| 130         | 20       | 21766863 | 70                          | 15 bp delesjon                       | TACTTGAGAACTGAGG>T          | 9                                       | 0                        | 0                                   | 9                                       | 100 |
| 131         | 20       | 25278464 | 101                         | 5 bp insersjon                       | A>AGTGGG                    | 13                                      | 0                        | 0                                   | 13                                      | 100 |
| 132         | 20       | 50897361 | 67                          | 11 bp insersjon                      | G>GGAATGTCAGCC              | 15                                      | 0                        | 0                                   | 15                                      | 100 |
| 134         | 20       | 62690925 | 87                          | 16 bp delesjon                       | TCCTGGCTGGCCTGTGG>T         | 9                                       | 0                        | 0                                   | 9                                       | 100 |
| 135         | 21       | 30300873 | 66                          | 11 bp insersjon                      | G>GATAAAACTTTA              | 9                                       | 0                        | 0                                   | 9                                       | 100 |
| 137         | 21       | 36710749 | 87                          | 21 bp delesjon                       | ACTCAAGATAACTCATGTTATC>A    | 9                                       | 0                        | 0                                   | 9                                       | 100 |
| 138         | 21       | 46644985 | 69                          | 5 bp delesjon                        | GTTGTT>G                    | 13                                      | 0                        | 0                                   | 13                                      | 100 |
| 140         | 22       | 25750814 | 100                         | 6 bp insersjon                       | C>CAGGGCA                   | 13                                      | 0                        | 0                                   | 13                                      | 100 |
| 142         | 22       | 37409885 | 97                          | 5 bp insersjon                       | C>CTGTT                     | 13                                      | 0                        | 0                                   | 13                                      | 100 |
| 144         | 22       | 47081407 | 92                          | 10 bp delesjon                       | GGGGCACAGGCA>G              | 7                                       | 0                        | 0                                   | 7                                       | 100 |

## Studie 2

Denne studien brukte FFPE-kolorektale kreftvevsprøver fra biobank og en representativ analyse med to gener som ble sammenlignet med referansemetoden, bidireksjonal Sanger-sekvensering (Sanger). Av de totalt 1183 testpersonene hadde 441 gyldig Sanger og representative analyseresultater. Ved evaluering på testpersonnivå ([Tabell 15](#)), var 230 av de 441 testpersonene positive med Sanger

(mutasjon påvist med Sanger). Av disse var 227 positive med den representative analysen. De gjenværende 211 av 441 testpersoner var negative med Sanger (ingen mutasjon påvist med Sanger). Av disse var 206 negative med den representative analysen. Dette resulterte i et positivt prosentsamsvar (PPA) på 98,7 % og et negativt prosentsamsvar (NPA) på 97,6 % ([Tabell 15](#)).

**Tabell 15** Positivt og negativt prosentsamsvar for resultater på testpersonnivå

| Representativ analyse | Sanger           |         | Totalt |
|-----------------------|------------------|---------|--------|
|                       | Positiv          | Negativ |        |
| Positiv               | 227 <sup>1</sup> | 5       | 232    |
| Negativ               | 3 <sup>2</sup>   | 206     | 209    |
| Totalt                | 230              | 211     | 441    |

| Ytelse Sammendrag  |                  |                  |
|--------------------|------------------|------------------|
| Samsvar Statistikk | Punktestimat     | Nøyaktig 95 % CI |
| PPA                | 227/230 = 98,7 % | [96,2 %, 99,7 %] |
| NPA                | 206/211 = 97,6 % | [94,6 %, 99,2 %] |

<sup>1</sup>Det var 224 nøyaktige samsvar for innen testperson, alle mutasjonsnivåresultater. For to testpersoner påviste MiSeqDx den Sanger-påviste mutasjonen og én ekstra mutasjon. For én testperson påviste MiSeqDx og Sanger ulike mutasjoner.

<sup>2</sup>Én testperson hadde to mutasjoner påvist med Sanger. To testpersoner hadde én mutasjon påvist med Sanger.

### Studie 3

Denne studien vurderte DNA-biblioteker klargjort med FFPE-prøver på tvers av vevstyper. Totalt 109 FFPE -prøver fra åtte ulike vev (tykktarm, eggstokk, bukspyttkjertel, binyre, blære, lever, skjoldbrusk og bryst) med minst 11 FFPE -prøver som representerte hver vevstype). Binyrevevet omfattet metastase fra spiserør-, lunge- og tykktarmtumorer. Det andre vevet hadde primærtumorer. Denne studien brukte et representativt analysesdesign til å undersøke 26 gener som dekket 21 577 baser over 17 ulike kromosomer. Totalt seks ulike gener (*KRAS*, *NRAS*, *TP53*, *PIK3CA*, *EGFR* og *BRAF*) ble Sanger-sekvensert der hver tumor hadde 1–3 gener Sanger-sekvensert basert på forventet forekomst av somatiske mutasjoner for den tumoren. Resultatene fra Sanger-sekvensering identifiserte 39 SNV-somatiske mutasjoner i 33 av 109 FFPE -prøver. MiSeqDx identifiserte 36 SNV-somatiske mutasjoner i 32 av 109 FFPE -prøver med én

falsk negativ og to ingen betegnelser for variantposisjon. PPA var 97,3 %. MiSeqDx identifiserte 78 975 referansebaser over de 109 FFPE-prøvene med 29 falske positiver knyttet til Sanger-sekvensering og 3416 ingen betegnelser. NPA var 99,9 %. En tobasedelesjon var overensstemmende mellom de to metodene. [Tabell 16](#) sammenfatter resultatene etter vevstype.

**Tabell 16** Prosentsamsvar for positiv og negativ etter vevstype

| Vevstype        | Antall prøver | Totalt antall varianter | Totalt antall TP-varianter | Totalt antall FN-varianter | Totalt antall TN-betegnelser | Totalt antall FP-betegnelser | Totalt antall ingen betegnelser | PPA  | NPA    |
|-----------------|---------------|-------------------------|----------------------------|----------------------------|------------------------------|------------------------------|---------------------------------|------|--------|
| Binyre          | 16            | 6                       | 4                          | 1                          | 11823                        | 2                            | 607                             | 80   | >99,9  |
| Blære           | 12            | 4                       | 4                          | 0                          | 7070                         | 3                            | 273                             | 100  | >99,9  |
| Bryst           | 16            | 3                       | 3                          | 0                          | 13439                        | 7                            | 479                             | 100  | 99,9   |
| Tykktarm        | 11            | 6                       | 5                          | 0                          | 8720                         | 2                            | 133                             | 100  | >99,9  |
| Lever           | 13            | 3                       | 3                          | 0                          | 7984                         | 1                            | 59                              | 100  | >99,9  |
| Eggstokk        | 13            | 7                       | 7                          | 0                          | 10581                        | 1                            | 724                             | 100  | >99,99 |
| Bukspyttkjertel | 17            | 7                       | 7                          | 0                          | 11929                        | 12                           | 489                             | 100  | 99,9   |
| Skjoldbrusk     | 11            | 3                       | 3                          | 0                          | 7429                         | 1                            | 652                             | 100  | >99,9  |
| Totalt          | 109           | 39                      | 36                         | 1                          | 78975                        | 29                           | 3416                            | 97,3 | >99,9  |

## Reproduserbarhet

To studier ble gjennomført for å vurdere reproduserbarheten til MiSeqDx-instrumentet med DNA ekstrahert fra FFPE-prøver. Studie 1 brukte flere instrumenter. Studie 2 hadde flere steder.

### Studie 1

Reproduserbarheten til MiSeqDx-instrumentet ble fastslått ved bruk av to instrumenter og to erfarne operatører i totalt åtte kjøringer. Den representative analysen, genomisk kontekst for PCR-produkt, prøver og referansemetode er de samme som er beskrevet for nøyaktighetsstudie 1 ovenfor. Resultatene er presentert på et per PCR-produkt-grunnlag for hvert instrument ([Tabell 17](#)) for å vise reproduserbarheten for betegnelse på tvers av instrumenter. % korrekte betegnelser omfattet både feil og ingen betegnelser (ett eller flere filtre er ikke oppfylt for variantbetegnelse). Instrumentet genererte lignende antall ingen betegnelser avhengig av det spesielle PCR-produktet. Et enkelt feil betegnelse innenfor et selvsikkert område som definert av Platinum Genomes-referansestandarden, ble observert for MiSeqDx 1. Feil betegnelse var en falsk positiv betegnelse for en innsettingsvariant i PCR 64 som forespurte kromosom 10 ved posisjonene 55892599 til 55892687. PCR-produktet hadde en dinukleotidrepeticjon på 11.

Tabell 17 Studieresultater for instrument til instrument-reproduserbarhet for MiSeqDx-instrumentet (PCR-produktnivå)

Dokumentnr. 200006218 v02

| PCR-produkt | Kromosom | Analysert<br>fragmentstørrelse | Baser i<br>konfidensområder | Genomisk<br>innhold i<br>PCR-<br>produkt   | GC-innhold | MiSeqDx 1                      |                            |                                       | MiSeqDx 2                      |                            |                                       |
|-------------|----------|--------------------------------|-----------------------------|--|------------|--------------------------------|----------------------------|---------------------------------------|--------------------------------|----------------------------|---------------------------------------|
|             |          |                                |                             |  |            | Totalt korrekte<br>betegnelser | Totalt feil<br>betegnelser | Totalt antall<br>ingen<br>betegnelser | Totalt korrekte<br>betegnelser | Totalt feil<br>betegnelser | Totalt antall<br>ingen<br>betegnelser |
| 1           | 1        | 93                             | 93                          | Indel                                      | 0,22       | 5580                           | 0                          | 0                                     | 5580                           | 0                          | 0                                     |
| 2           | 1        | 79                             | 79                          | PolyA (5),<br>PolyC (5),<br>indel          | 0,38       | 4740                           | 0                          | 0                                     | 4740                           | 0                          | 0                                     |
| 3           | 1        | 91                             | 91                          | Indel                                      | 0,4        | 5448                           | 0                          | 12                                    | 5453                           | 0                          | 8                                     |
| 4           | 1        | 92                             | 92                          | Indel                                      | 0,49       | 5518                           | 0                          | 2                                     | 5518                           | 0                          | 2                                     |
| 5           | 1        | 81                             | 81                          | PolyG (5)                                  | 0,69       | 4858                           | 0                          | 2                                     | 4860                           | 0                          | 0                                     |
| 6           | 1        | 70                             | 70                          | PolyT (10)<br>indel                        | 0,39       | 4200                           | 0                          | 0                                     | 4200                           | 0                          | 0                                     |
| 7           | 1        | 88                             | 88                          | PolyA (5),<br>CT (3),<br>TAA (3),<br>indel | 0,27       | 5279                           | 0                          | 1                                     | 5279                           | 0                          | 1                                     |
| 8           | 2        | 90                             | 90                          | Indel                                      | 0,28       | 5400                           | 0                          | 0                                     | 5400                           | 0                          | 0                                     |
| 9           | 2        | 80                             | 80                          | Indel                                      | 0,38       | 4800                           | 0                          | 0                                     | 4800                           | 0                          | 0                                     |
| 10          | 2        | 85                             | 81                          | N/A  | 0,65       | 4859                           | 0                          | 1                                     | 4859                           | 0                          | 1                                     |
| 11          | 2        | 75                             | 75                          | PolyA (8)                                  | 0,35       | 4468                           | 0                          | 40                                    | 4468                           | 0                          | 40                                    |
| 12          | 2        | 88                             | 88                          | PolyT (5)                                  | 0,42       | 5280                           | 0                          | 0                                     | 5280                           | 0                          | 0                                     |
| 13          | 2        | 87                             | 87                          | PolyT (5),<br>indel                        | 0,31       | 5211                           | 0                          | 43                                    | 5214                           | 0                          | 40                                    |
| 14          | 2        | 91                             | 91                          | PolyT (5),<br>PolyA (6),<br>indel          | 0,3        | 5453                           | 0                          | 7                                     | 5449                           | 0                          | 11                                    |
| 15          | 2        | 93                             | 93                          | N/A  | 0,43       | 5579                           | 0                          | 1                                     | 5579                           | 0                          | 1                                     |
| 16          | 2        | 73                             | 73                          | PolyT (5),<br>indel                        | 0,42       | 4378                           | 0                          | 2                                     | 4379                           | 0                          | 1                                     |

| PCR-produkt | Kromosom | Analysert<br>fragmentstørrelse | Baser i<br>konfidensområder | Genomisk<br>innhold i<br>PCR-<br>produkt         | GC-innhold | MiSeqDx 1                      |                            |                                       | MiSeqDx 2                      |                            |                                       |
|-------------|----------|--------------------------------|-----------------------------|--|------------|--------------------------------|----------------------------|---------------------------------------|--------------------------------|----------------------------|---------------------------------------|
|             |          |                                |                             |  |            | Totalt korrekte<br>betegnelser | Totalt feil<br>betegnelser | Totalt antall<br>ingen<br>betegnelser | Totalt korrekte<br>betegnelser | Totalt feil<br>betegnelser | Totalt antall<br>ingen<br>betegnelser |
| 17          | 3        | 93                             | 93                          | AT (3),<br>indel                                 | 0,27       | 5396                           | 0                          | 184                                   | 5396                           | 0                          | 184                                   |
| 18          | 3        | 83                             | 83                          | N/A  | 0,43       | 4980                           | 0                          | 0                                     | 4980                           | 0                          | 0                                     |
| 19          | 3        | 70                             | 70                          | CT (3),<br>indel                                 | 0,49       | 4193                           | 0                          | 7                                     | 4194                           | 0                          | 6                                     |
| 20          | 3        | 88                             | 88                          | PolyA (5),<br>PolyT (5),<br>PolyA (9),<br>TG (3) | 0,41       | 5220                           | 0                          | 120                                   | 5220                           | 0                          | 120                                   |
| 21          | 3        | 75                             | 74                          | Indel  | 0,57       | 4432                           | 0                          | 8                                     | 4432                           | 0                          | 8                                     |
| 22          | 4        | 78                             | 78                          | PolyA (6)  | 0,26       | 4676                           | 0                          | 4                                     | 4676                           | 0                          | 4                                     |
| 23          | 4        | 97                             | 97                          | PolyG (6),<br>PolyT (5),<br>PolyA (5)            | 0,42       | 5820                           | 0                          | 0                                     | 5820                           | 0                          | 0                                     |
| 24          | 4        | 78                             | 78                          | N/A  | 0,29       | 4679                           | 0                          | 1                                     | 4677                           | 0                          | 3                                     |
| 25          | 4        | 66                             | 62                          | PolyA (5),<br>indel                              | 0,36       | 3720                           | 0                          | 0                                     | 3720                           | 0                          | 0                                     |
| 26          | 4        | 71                             | 69                          | PolyA (5)  | 0,46       | 4140                           | 0                          | 0                                     | 4140                           | 0                          | 0                                     |
| 27          | 4        | 62                             | 62                          | PolyA (7),<br>indel                              | 0,27       | 3676                           | 0                          | 45                                    | 3671                           | 0                          | 51                                    |
| 28          | 5        | 78                             | 75                          | N/A  | 0,78       | 3368                           | 0                          | 1132                                  | 3485                           | 0                          | 1015                                  |
| 29          | 5        | 84                             | 84                          | GT (3),<br>CCA (3)                               | 0,62       | 5040                           | 0                          | 0                                     | 5040                           | 0                          | 0                                     |
| 30          | 5        | 64                             | 64                          | N/A  | 0,39       | 3840                           | 0                          | 0                                     | 3840                           | 0                          | 0                                     |
| 31          | 5        | 83                             | 83                          | PolyA (6),<br>indel                              | 0,3        | 4979                           | 0                          | 1                                     | 4980                           | 0                          | 0                                     |
| 32          | 5        | 67                             | 67                          | PolyT (5)  | 0,37       | 4020                           | 0                          | 0                                     | 4020                           | 0                          | 0                                     |
| 33          | 5        | 91                             | 91                          | CT (4),<br>AG (3)                                | 0,55       | 5460                           | 0                          | 0                                     | 5460                           | 0                          | 0                                     |

| PCR-produkt | Kromosom | Analysert<br>fragmentstørrelse | Baser i<br>konfidensområder | Genomisk<br>innhold i<br>PCR-<br>produkt | GC-innhold | MiSeqDx 1                      |                            |                                       | MiSeqDx 2                      |                            |                                       |
|-------------|----------|--------------------------------|-----------------------------|--|------------|--------------------------------|----------------------------|---------------------------------------|--------------------------------|----------------------------|---------------------------------------|
|             |          |                                |                             |  |            | Totalt korrekte<br>betegnelser | Totalt feil<br>betegnelser | Totalt antall<br>ingen<br>betegnelser | Totalt korrekte<br>betegnelser | Totalt feil<br>betegnelser | Totalt antall<br>ingen<br>betegnelser |
| 34          | 5        | 75                             | 75                          | Indel                                    | 0,43       | 4498                           | 0                          | 6                                     | 4500                           | 0                          | 1                                     |
| 35          | 6        | 102                            | 102                         | PolyG (6)                                | 0,68       | 6120                           | 0                          | 0                                     | 6120                           | 0                          | 0                                     |
| 36          | 6        | 92                             | 92                          | Indel                                    | 0,63       | 5520                           | 0                          | 0                                     | 5520                           | 0                          | 0                                     |
| 37          | 6        | 100                            | 94                          | GCT (5),<br>indel                        | 0,61       | 5532                           | 0                          | 108                                   | 5532                           | 0                          | 108                                   |
| 38          | 6        | 98                             | 98                          | PolyT (5),<br>TCT (3),<br>CTT (3)        | 0,55       | 5820                           | 0                          | 60                                    | 5820                           | 0                          | 60                                    |
| 39          | 6        | 95                             | 95                          | Indel                                    | 0,53       | 5697                           | 0                          | 3                                     | 5698                           | 0                          | 2                                     |
| 40          | 6        | 86                             | 86                          | PolyC (6)                                | 0,7        | 5159                           | 0                          | 1                                     | 5160                           | 0                          | 0                                     |
| 41          | 6        | 95                             | 94                          | PolyG (5),<br>indel                      | 0,61       | 5638                           | 0                          | 2                                     | 5638                           | 0                          | 2                                     |
| 42          | 6        | 91                             | 91                          | PolyA (5)                                | 0,44       | 5460                           | 0                          | 0                                     | 5460                           | 0                          | 0                                     |
| 43          | 7        | 73                             | 73                          | N/A                                      | 0,44       | 4380                           | 0                          | 0                                     | 4380                           | 0                          | 0                                     |
| 44          | 7        | 88                             | 88                          | Indel                                    | 0,35       | 5279                           | 0                          | 1                                     | 5276                           | 0                          | 4                                     |
| 45          | 7        | 87                             | 87                          | PolyA (7),<br>AG (4)                     | 0,26       | 5184                           | 0                          | 36                                    | 5181                           | 0                          | 39                                    |
| 46          | 7        | 85                             | 85                          | Indel                                    | 0,38       | 5100                           | 0                          | 0                                     | 5100                           | 0                          | 0                                     |
| 47          | 7        | 90                             | 90                          | PolyG (5),<br>indel                      | 0,62       | 5398                           | 0                          | 2                                     | 5399                           | 0                          | 1                                     |
| 48          | 7        | 91                             | 91                          | PolyG (6),<br>PolyC (6),<br>indel        | 0,71       | 5460                           | 0                          | 0                                     | 5459                           | 0                          | 1                                     |
| 49          | 7        | 81                             | 66                          | N/A                                      | 0,31       | 3960                           | 0                          | 0                                     | 3960                           | 0                          | 0                                     |
| 50          | 7        | 93                             | 93                          | Indel                                    | 0,35       | 5580                           | 0                          | 0                                     | 5579                           | 0                          | 1                                     |
| 51          | 8        | 83                             | 83                          | N/A                                      | 0,42       | 4980                           | 0                          | 0                                     | 4980                           | 0                          | 0                                     |

| PCR-produkt | Kromosom | Analysert<br>fragmentstørrelse | Baser i<br>konfidensområder | Genomisk<br>innhold i<br>PCR-<br>produkt | GC-innhold | MiSeqDx 1                      |                            |                                       | MiSeqDx 2                      |                            |                                       |
|-------------|----------|--------------------------------|-----------------------------|--|------------|--------------------------------|----------------------------|---------------------------------------|--------------------------------|----------------------------|---------------------------------------|
|             |          |                                |                             |  |            | Totalt korrekte<br>betegnelser | Totalt feil<br>betegnelser | Totalt antall<br>ingen<br>betegnelser | Totalt korrekte<br>betegnelser | Totalt feil<br>betegnelser | Totalt antall<br>ingen<br>betegnelser |
| 52          | 8        | 90                             | 89                          | PolyG (7),<br>CTC (4),<br>indel          | 0,61       | 5219                           | 0                          | 121                                   | 5220                           | 0                          | 120                                   |
| 53          | 8        | 67                             | 67                          | Indel                                    | 0,3        | 4020                           | 0                          | 0                                     | 4020                           | 0                          | 0                                     |
| 54          | 9        | 98                             | 98                          | PolyG (6)                                | 0,67       | 5879                           | 0                          | 1                                     | 5880                           | 0                          | 0                                     |
| 55          | 9        | 65                             | 65                          | Indel                                    | 0,32       | 3894                           | 0                          | 6                                     | 3895                           | 0                          | 5                                     |
| 56          | 9        | 96                             | 96                          | N/A                                      | 0,49       | 5760                           | 0                          | 0                                     | 5760                           | 0                          | 0                                     |
| 57          | 9        | 83                             | 83                          | AT (3)                                   | 0,37       | 4973                           | 0                          | 7                                     | 4978                           | 0                          | 2                                     |
| 58          | 9        | 97                             | 97                          | PolyC (6),<br>indel                      | 0,68       | 5817                           | 0                          | 3                                     | 5818                           | 0                          | 2                                     |
| 59          | 10       | 79                             | 78                          | PolyG (5),<br>indel                      | 0,47       | 4679                           | 0                          | 1                                     | 4680                           | 0                          | 0                                     |
| 60          | 10       | 98                             | 91                          | GC (3)                                   | 0,87       | 450                            | 0                          | 5010                                  | 632                            | 0                          | 4828                                  |
| 61          | 10       | 79                             | 79                          | PolyT (5)                                | 0,3        | 4740                           | 0                          | 0                                     | 4740                           | 0                          | 0                                     |
| 62          | 10       | 90                             | 90                          | PolyA (5),<br>PolyT (5)                  | 0,2        | 5400                           | 0                          | 0                                     | 5400                           | 0                          | 0                                     |
| 63          | 10       | 95                             | 95                          | Indel                                    | 0,35       | 5699                           | 0                          | 1                                     | 5699                           | 0                          | 1                                     |
| 64          | 10       | 89                             | 88                          | AC (11),<br>indel                        | 0,42       | 5157                           | 0                          | 276                                   | 5153                           | 2                          | 273                                   |
| 65          | 10       | 80                             | 80                          | N/A                                      | 0,49       | 4800                           | 0                          | 0                                     | 4800                           | 0                          | 0                                     |
| 66          | 10       | 81                             | 81                          | N/A                                      | 0,51       | 4860                           | 0                          | 0                                     | 4860                           | 0                          | 0                                     |
| 67          | 11       | 97                             | 96                          | N/A                                      | 0,45       | 5760                           | 0                          | 0                                     | 5760                           | 0                          | 0                                     |
| 68          | 11       | 70                             | 70                          | Indel                                    | 0,46       | 4199                           | 0                          | 2                                     | 4200                           | 0                          | 1                                     |
| 69          | 11       | 100                            | 100                         | N/A                                      | 0,65       | 5999                           | 0                          | 1                                     | 5998                           | 0                          | 2                                     |
| 70          | 11       | 62                             | 62                          | Indel                                    | 0,37       | 3720                           | 0                          | 0                                     | 3720                           | 0                          | 0                                     |
| 71          | 11       | 102                            | 102                         | N/A                                      | 0,59       | 6120                           | 0                          | 0                                     | 6118                           | 0                          | 2                                     |
| 72          | 11       | 73                             | 73                          | PolyA (5)                                | 0,4        | 4380                           | 0                          | 0                                     | 4380                           | 0                          | 0                                     |

| PCR-produkt | Kromosom | Analysert<br>fragmentstørrelse | Baser i<br>konfidensområder | Genomisk<br>innhold i<br>PCR-<br>produkt        | GC-innhold | MiSeqDx 1                      |                            |                                       | MiSeqDx 2                      |                            |                                       |
|-------------|----------|--------------------------------|-----------------------------|---|------------|--------------------------------|----------------------------|---------------------------------------|--------------------------------|----------------------------|---------------------------------------|
|             |          |                                |                             |   |            | Totalt korrekte<br>betegnelser | Totalt feil<br>betegnelser | Totalt antall<br>ingen<br>betegnelser | Totalt korrekte<br>betegnelser | Totalt feil<br>betegnelser | Totalt antall<br>ingen<br>betegnelser |
| 73          | 11       | 85                             | 85                          | N/A   | 0,42       | 5100                           | 0                          | 0                                     | 5100                           | 0                          | 0                                     |
| 74          | 11       | 91                             | 91                          | PolyG (6)                                       | 0,55       | 5437                           | 0                          | 23                                    | 5441                           | 0                          | 19                                    |
| 75          | 11       | 85                             | 85                          | Indel   | 0,53       | 5100                           | 0                          | 0                                     | 5100                           | 0                          | 0                                     |
| 76          | 11       | 85                             | 85                          | PolyA (5),<br>CA (3),<br>indel                  | 0,34       | 5100                           | 0                          | 0                                     | 5100                           | 0                          | 0                                     |
| 77          | 11       | 85                             | 85                          | GA (3)  | 0,52       | 5100                           | 0                          | 0                                     | 5100                           | 0                          | 0                                     |
| 78          | 12       | 84                             | 84                          | PolyC (5),<br>indel                             | 0,52       | 5040                           | 0                          | 60                                    | 5038                           | 0                          | 63                                    |
| 79          | 12       | 93                             | 93                          | PolyA (7),<br>AC (4)                            | 0,33       | 5577                           | 0                          | 3                                     | 5573                           | 0                          | 7                                     |
| 80          | 12       | 81                             | 81                          | N/A   | 0,49       | 4860                           | 0                          | 0                                     | 4860                           | 0                          | 0                                     |
| 81          | 12       | 71                             | 71                          | PolyA (6)                                       | 0,35       | 4260                           | 0                          | 0                                     | 4260                           | 0                          | 0                                     |
| 82          | 2        | 95                             | 95                          | PolyG (5)                                       | 0,68       | 5605                           | 0                          | 95                                    | 5605                           | 0                          | 95                                    |
| 83          | 13       | 73                             | 73                          | N/A   | 0,52       | 4380                           | 0                          | 0                                     | 4379                           | 0                          | 1                                     |
| 84          | 13       | 89                             | 88                          | PolyA (5),<br>PolyT (7),<br>PolyA (7),<br>indel | 0,22       | 5220                           | 0                          | 60                                    | 5220                           | 0                          | 60                                    |
| 85          | 13       | 89                             | 89                          | Indel   | 0,49       | 5340                           | 0                          | 0                                     | 5340                           | 0                          | 0                                     |
| 86          | 13       | 77                             | 77                          | Indel   | 0,39       | 4620                           | 0                          | 0                                     | 4620                           | 0                          | 0                                     |
| 87          | 14       | 67                             | 67                          | GA (3),<br>TA (3)                               | 0,39       | 4020                           | 0                          | 0                                     | 4020                           | 0                          | 0                                     |
| 88          | 14       | 83                             | 83                          | N/A   | 0,25       | 4980                           | 0                          | 0                                     | 4980                           | 0                          | 0                                     |
| 89          | 14       | 73                             | 72                          | PolyT (5),<br>indel                             | 0,19       | 4173                           | 0                          | 147                                   | 4173                           | 0                          | 147                                   |
| 90          | 14       | 81                             | 81                          | Indel   | 0,38       | 4860                           | 0                          | 2                                     | 4860                           | 0                          | 0                                     |
| 91          | 14       | 91                             | 91                          | Indel   | 0,35       | 5459                           | 0                          | 1                                     | 5460                           | 0                          | 0                                     |

| PCR-produkt | Kromosom | Analysert<br>fragmentstørrelse | Baser i<br>konfidensområder | Genomisk<br>innhold i<br>PCR-<br>produkt | GC-innhold | MiSeqDx 1                      |                            |                                       | MiSeqDx 2                      |                            |                                       |
|-------------|----------|--------------------------------|-----------------------------|--|------------|--------------------------------|----------------------------|---------------------------------------|--------------------------------|----------------------------|---------------------------------------|
|             |          |                                |                             |  |            | Totalt korrekte<br>betegnelser | Totalt feil<br>betegnelser | Totalt antall<br>ingen<br>betegnelser | Totalt korrekte<br>betegnelser | Totalt feil<br>betegnelser | Totalt antall<br>ingen<br>betegnelser |
| 92          | 14       | 66                             | 66                          | PolyA (5)                                | 0,41       | 3900                           | 0                          | 240                                   | 3900                           | 0                          | 240                                   |
| 93          | 14       | 94                             | 94                          | Indel                                    | 0,62       | 5637                           | 0                          | 3                                     | 5637                           | 0                          | 3                                     |
| 94          | 15       | 98                             | 96                          | PolyC (5)                                | 0,45       | 5760                           | 0                          | 0                                     | 5760                           | 0                          | 0                                     |
| 95          | 15       | 68                             | 68                          | Indel                                    | 0,25       | 4079                           | 0                          | 1                                     | 4078                           | 0                          | 2                                     |
| 96          | 15       | 95                             | 93                          | PolyG (5),<br>indel                      | 0,68       | 5475                           | 0                          | 105                                   | 5487                           | 0                          | 93                                    |
| 97          | 15       | 95                             | 95                          | PolyT (6)                                | 0,43       | 5699                           | 0                          | 1                                     | 5700                           | 0                          | 0                                     |
| 98          | 15       | 72                             | 71                          | Indel                                    | 0,65       | 4260                           | 0                          | 0                                     | 4260                           | 0                          | 0                                     |
| 99          | 15       | 91                             | 91                          | N/A                                      | 0,36       | 5460                           | 0                          | 0                                     | 5460                           | 0                          | 0                                     |
| 100         | 15       | 70                             | 70                          | Indel                                    | 0,56       | 4200                           | 0                          | 0                                     | 4200                           | 0                          | 0                                     |
| 101         | 16       | 63                             | 63                          | N/A                                      | 0,27       | 3780                           | 0                          | 0                                     | 780                            | 0                          | 0                                     |
| 102         | 16       | 95                             | 95                          | PolyC (5)                                | 0,67       | 5700                           | 0                          | 0                                     | 5700                           | 0                          | 0                                     |
| 103         | 16       | 87                             | 87                          | TA (3)                                   | 0,41       | 5220                           | 0                          | 0                                     | 5220                           | 0                          | 0                                     |
| 104         | 16       | 104                            | 104                         | PolyC (5)                                | 0,67       | 6238                           | 0                          | 3                                     | 6238                           | 0                          | 3                                     |
| 105         | 16       | 91                             | 91                          | PolyT (5),<br>indel                      | 0,37       | 5443                           | 0                          | 17                                    | 5444                           | 0                          | 16                                    |
| 106         | 17       | 89                             | 89                          | GC (3)                                   | 0,64       | 5251                           | 0                          | 89                                    | 5339                           | 0                          | 1                                     |
| 107         | 17       | 87                             | 87                          | PolyC (5),<br>indel                      | 0,67       | 5212                           | 0                          | 8                                     | 5212                           | 0                          | 8                                     |
| 108         | 17       | 91                             | 91                          | Indel                                    | 0,46       | 5459                           | 0                          | 1                                     | 5459                           | 0                          | 1                                     |
| 109         | 17       | 93                             | 93                          | Indel                                    | 0,26       | 5580                           | 0                          | 0                                     | 5580                           | 0                          | 0                                     |
| 110         | 17       | 91                             | 89                          | PolyT (5)                                | 0,54       | 5340                           | 0                          | 0                                     | 5340                           | 0                          | 0                                     |
| 111         | 17       | 84                             | 82                          | PolyA<br>(13), indel<br>(x2)             | 0,29       | 4860                           | 0                          | 308                                   | 4860                           | 0                          | 07                                    |
| 112         | 17       | 91                             | 91                          | PolyA (5)                                | 0,34       | 5459                           | 0                          | 1                                     | 5459                           | 0                          | 1                                     |

| PCR-produkt | Kromosom | Analysert<br>fragmentstørrelse | Baser i<br>konfidensområder | Genomisk<br>innhold i<br>PCR-<br>produkt          | GC-innhold | MiSeqDx 1                      |                            |                                       | MiSeqDx 2                      |                            |                                       |
|-------------|----------|--------------------------------|-----------------------------|---|------------|--------------------------------|----------------------------|---------------------------------------|--------------------------------|----------------------------|---------------------------------------|
|             |          |                                |                             |   |            | Totalt korrekte<br>betegnelser | Totalt feil<br>betegnelser | Totalt antall<br>ingen<br>betegnelser | Totalt korrekte<br>betegnelser | Totalt feil<br>betegnelser | Totalt antall<br>ingen<br>betegnelser |
| 113         | 17       | 92                             | 92                          | PolyA (7),<br>AT (3), AT<br>(4), AT<br>(4), indel | 0,26       | 5460                           | 0                          | 60                                    | 5460                           | 0                          | 60                                    |
| 114         | 17       | 79                             | 79                          | Indel   | 0,41       | 4699                           | 0                          | 41                                    | 4700                           | 0                          | 40                                    |
| 115         | 17       | 86                             | 86                          | PolyT (7)   | 0,22       | 5153                           | 0                          | 7                                     | 5156                           | 0                          | 4                                     |
| 116         | 17       | 84                             | 84                          | GAG (3)   | 0,62       | 5039                           | 0                          | 1                                     | 5039                           | 0                          | 1                                     |
| 117         | 18       | 67                             | 67                          | GA (3)  | 0,31       | 4020                           | 0                          | 0                                     | 4020                           | 0                          | 0                                     |
| 118         | 18       | 91                             | 91                          | N/A   | 0,37       | 5460                           | 0                          | 0                                     | 5460                           | 0                          | 0                                     |
| 119         | 18       | 69                             | 69                          | PolyA (6),<br>TG (3)                              | 0,43       | 4132                           | 0                          | 8                                     | 4131                           | 0                          | 9                                     |
| 120         | 18       | 75                             | 75                          | PolyA (5),<br>indel                               | 0,37       | 4475                           | 0                          | 85                                    | 4480                           | 0                          | 79                                    |
| 121         | 18       | 81                             | 81                          | CTC (3),<br>indel                                 | 0,47       | 4860                           | 0                          | 0                                     | 4860                           | 0                          | 0                                     |
| 122         | 18       | 85                             | 85                          | CT (3),<br>indel                                  | 0,45       | 5098                           | 0                          | 2                                     | 5098                           | 0                          | 2                                     |
| 123         | 18       | 65                             | 65                          | N/A   | 0,48       | 3900                           | 0                          | 0                                     | 3900                           | 0                          | 0                                     |
| 124         | 19       | 99                             | 99                          | N/A   | 0,59       | 5926                           | 0                          | 14                                    | 5924                           | 0                          | 16                                    |
| 125         | 19       | 74                             | 74                          | N/A   | 0,68       | 4440                           | 0                          | 0                                     | 4438                           | 0                          | 2                                     |
| 126         | 19       | 70                             | 70                          | N/A   | 0,64       | 4199                           | 0                          | 1                                     | 4200                           | 0                          | 0                                     |
| 127         | 20       | 94                             | 94                          | N/A   | 0,61       | 5640                           | 0                          | 1                                     | 5638                           | 0                          | 3                                     |
| 128         | 20       | 82                             | 82                          | AC (3)  | 0,59       | 4920                           | 0                          | 0                                     | 4920                           | 0                          | 0                                     |
| 129         | 20       | 76                             | 76                          | CT (3)  | 0,58       | 4559                           | 0                          | 1                                     | 4558                           | 0                          | 2                                     |
| 130         | 20       | 70                             | 70                          | GT (3),<br>TG (4),<br>indel                       | 0,46       | 4200                           | 0                          | 0                                     | 4200                           | 0                          | 0                                     |
| 131         | 20       | 101                            | 101                         | Indel   | 0,63       | 6060                           | 0                          | 0                                     | 6060                           | 0                          | 0                                     |

| PCR-produkt | Kromosom | Analysert<br>fragmentstørrelse | Baser i<br>konfidensområder | Genomisk<br>innhold i<br>PCR-<br>produkt | GC-innhold | MiSeqDx 1                      |                            |                                       | MiSeqDx 2                      |                            |                                       |
|-------------|----------|--------------------------------|-----------------------------|--|------------|--------------------------------|----------------------------|---------------------------------------|--------------------------------|----------------------------|---------------------------------------|
|             |          |                                |                             |  |            | Totalt korrekte<br>betegnelser | Totalt feil<br>betegnelser | Totalt antall<br>ingen<br>betegnelser | Totalt korrekte<br>betegnelser | Totalt feil<br>betegnelser | Totalt antall<br>ingen<br>betegnelser |
| 132         | 20       | 67                             | 67                          | Indel                                    | 0,36       | 4020                           | 0                          | 31                                    | 4020                           | 0                          | 25                                    |
| 133         | 20       | 91                             | 88                          | PolyG (6)                                | 0,73       | 5277                           | 0                          | 3                                     | 5274                           | 0                          | 6                                     |
| 134         | 20       | 87                             | 87                          | Indel                                    | 0,57       | 5218                           | 0                          | 2                                     | 5218                           | 0                          | 2                                     |
| 135         | 21       | 66                             | 66                          | Indel                                    | 0,35       | 3959                           | 0                          | 1                                     | 3957                           | 0                          | 3                                     |
| 136         | 21       | 98                             | 98                          | PolyT (6),<br>CA (3)                     | 0,54       | 5880                           | 0                          | 0                                     | 5880                           | 0                          | 0                                     |
| 137         | 21       | 87                             | 87                          | GT (3),<br>indel                         | 0,39       | 5220                           | 0                          | 0                                     | 5220                           | 0                          | 0                                     |
| 138         | 21       | 69                             | 69                          | PolyA (6),<br>AG (3),<br>indel           | 0,32       | 4119                           | 0                          | 31                                    | 4113                           | 0                          | 37                                    |
| 139         | 21       | 90                             | 90                          | PolyT (5),<br>PolyA (6)                  | 0,5        | 5399                           | 0                          | 1                                     | 5399                           | 0                          | 1                                     |
| 140         | 22       | 100                            | 100                         | Indel                                    | 0,63       | 5998                           | 0                          | 7                                     | 5997                           | 0                          | 5                                     |
| 141         | 22       | 97                             | 97                          | N/A                                      | 0,68       | 5819                           | 0                          | 1                                     | 5819                           | 0                          | 1                                     |
| 142         | 22       | 97                             | 97                          | Indel                                    | 0,46       | 5818                           | 0                          | 2                                     | 5816                           | 0                          | 4                                     |
| 143         | 22       | 99                             | 99                          | N/A                                      | 0,6        | 5940                           | 0                          | 0                                     | 5940                           | 0                          | 0                                     |
| 144         | 22       | 92                             | 92                          | Indel                                    | 0,66       | 5519                           | 0                          | 1                                     | 5519                           | 0                          | 1                                     |
| 145         | X        | 69                             | 69                          | PolyT (5)                                | 0,26       | 4139                           | 0                          | 1                                     | 4140                           | 0                          | 0                                     |
| 146         | X        | 69                             | 69                          | PolyC (5)                                | 0,62       | 4136                           | 0                          | 4                                     | 4137                           | 0                          | 3                                     |
| 147         | X        | 71                             | 71                          | N/A                                      | 0,52       | 4260                           | 0                          | 0                                     | 4260                           | 0                          | 0                                     |
| 148         | Ja       | 65                             | 0                           | N/A                                      | 0,55       | 0                              | 0                          | 0                                     | 0                              | 0                          | 0                                     |
| 149         | Ja       | 91                             | 0                           | N/A                                      | 0,48       | 0                              | 0                          | 0                                     | 0                              | 0                          | 0                                     |
| 150         | Ja       | 71                             | 0                           | PolyA (5)                                | 0,37       | 0                              | 0                          | 0                                     | 0                              | 0                          | 0                                     |

Resultatene fra reproducertbarhetstudien ble analysert på et per operatør-grunnlag ved bruk av variantfrekvens (Tabell 18). Denne analysen viste at variantfrekvenser var konsekvente på tvers av operatørene. Gjennomsnittlige variantfrekvenser +/- 1 standardavvik er presentert.

Tabell 18 Operatør-til-operatør-resultater for MiSeqDx-instrumentet

| Variantfrekvensområde       | Antall<br>unike<br>varianter | Totalt antall<br>varianter<br>analysert av<br>operatør 1 | Totalt antall<br>varianter<br>analysert av<br>operatør 2 | Gjennomsnittlig (SD)<br>rapportert<br>variantfrekvens for<br>operatør 1 | Gjennomsnittlig (SD)<br>rapportert<br>variantfrekvens for<br>operatør 2 |
|-----------------------------|------------------------------|--|--|---|---|
| Høy frekvens (~100 %)       | 1112                         | 1072   | 1072   | 0,96 +/- 0,05   | 0,96 +/- 0,05   |
| Middels frekvens<br>(~50 %) | 3240                         | 3151   | 3161   | 0,49 +/- 0,04   | 0,49 +/- 0,04   |
| Lav frekvens (3–7 %)        | 620                          | 618  | 612  | 0,05 +/- 0,01   | 0,05 +/- 0,01   |

Resultater for reproducertbarhetsstudie for hver prøve er vist sammenslått for alle åtte kjøringer (Tabell 19). Påvisning evalueres separat for hver varianttype — SNV-er, insersjoner og delesjoner for seg. Posisjoner det er henvist til, er utelatt. Denne analysen viste at resultatene for variantene var reproducerebare på tvers av prøvene.

Tabell 19 Samsvar av basebetegnelsestyper per prøve for MiSeqDx-instrumentet

| Prøve                   | SNV-er        |                  |                  |                  | Insersjoner   |                  |                  |                  | Delesjoner    |                  |                  |                  |
|-------------------------|---------------|------------------|------------------|------------------|---------------|------------------|------------------|------------------|---------------|------------------|------------------|------------------|
|                         | Totalt antall | Totalt antall TP | Totalt antall FP | Totalt antall FN | Totalt antall | Totalt antall TP | Totalt antall FP | Totalt antall FN | Totalt antall | Totalt antall TP | Totalt antall FP | Totalt antall FN |
| GM12877                 | 592           | 574              | 2                | 0                | 336           | 336              | 0                | 0                | 228           | 272              | 0                | 0                |
| GM12878                 | 1456          | 1432             | 0                | 0                | 320           | 304              | 0                | 0                | 384           | 352              | 0                | 0                |
| GM12879                 | 912           | 896              | 0                | 0                | 336           | 320              | 0                | 0                | 288           | 272              | 0                | 0                |
| GM12885                 | 1200          | 1192             | 0                | 0                | 400           | 384              | 0                | 0                | 352           | 320              | 0                | 0                |
| GM12886                 | 1104          | 1104             | 0                | 0                | 368           | 352              | 0                | 0                | 368           | 352              | 0                | 0                |
| GM12877-D1 <sup>1</sup> | 3640          | 3582             | 0                | 0                | 800           | 760              | 0                | 0                | 960           | 880              | 0                | 0                |
| GM12877-D2 <sup>2</sup> | 400           | 398              | 0                | 0                | 520           | 516              | 0                | 0                | 560           | 556              | 0                | 0                |

<sup>1</sup> Varianter med frekvens høyere enn 20 %.

<sup>2</sup> Variant med frekvens lavere enn 20 %.

Dataene fra de 8 kjøringene i denne reproducertbarhetsstudien støtter påstanden om at MiSeqDx-instrumentet konsekvent kan sekvensere:

- GC-innhold  $\geq 19\%$  (alle betegnede baser i 120 av 120 sekvenserte PCR-produkter med 19 % GC-innhold betegnet korrekt med en ingen betegnelse-frekvens på 3,4 %)
- GC-innhold  $\leq 73\%$  (alle betegnede baser i 120 av 120 sekvenserte PCR-produkter med 73 % GC-innhold betegnet korrekt med en ingen betegnelse-frekvens på 0,1 %)
- PolyA-lengder  $\leq 8$  (PolyA-repetisjon på 8 nukleotider ble betegnet korrekt i 120 av 120 sekvenserte PCR-produkter som inneholdt PolyA = 8)
- PolyT-lengder  $\leq 10$  (PolyT-repetisjon på 10 nukleotider ble betegnet korrekt i 120 av 120 sekvenserte PCR-produkter som inneholdt PolyT = 10)

- PolyG-lengder  $\leq 6$  (PolyG-repetisjon på 6 nukleotider ble betegnet korrekt i 720 av 720 sekvenserte PCR-produkter som inneholdt PolyG = 6)
- PolyC-lengder  $\leq 6$  (PolyC-repetisjon på 6 nukleotider ble betegnet korrekt i 359 av 360 sekvenserte PCR-produkter som inneholdt PolyC = 6, med 1 ingen betegnelse)
- Gjentatte lengder for dinukleotid  $\leq 4x$  (alle betegnede baser i 600 av 600 sekvenserte PCR-produkter med 4x dinukelotidrepetisjoner ble betegnet korrekt med en ingen betegnelse-frekvens på 0,4 %)
- Gjentatte lengder for trinukleotid  $\leq 5x$  (alle betegnede baser i 120 av 120 sekvenserte PCR-produkter med 5x trinukelotidrepetisjoner ble betegnet korrekt med en ingen betegnelse-frekvens på 1,9 %)
- 24 eller færre baseinsersjoner og 25 eller færre basedelesjoner
  - 24 baseinsersjoner betegnet korrekt i 120 av 120 prøver
  - 25 basedelesjoner betegnet korrekt i 182 prøver og rapportert som ingen betegnelse i 2 av 184 prøver

## Studie 2

En ekstern studie ble utført for å vurdere reproducertbarheten til de representative genanalysene, beskrevet i nøyaktighet for studie 2, over tre eksterne teststeder (to operatører per sted), én reagenslot og tre ikke-påfølgende testdager. Testing ble utført med seks godt karakteriserte prøvepaneler med genomiske DNA-prøver fra kliniske FFPE-prøver eller cellelinjer. Hvert panel besto av 10 medlemmer, med totalt 60 medlemmer på tvers av panelene.

De 60 panelmedlemmene besto av duplikater av fire unike villtypeprøver (for panelmutasjoner), 12 unike mutantprøver (med en enkelt mutasjon) klargjort ved både høye og lave mutasjonsfrekvensnivåer, og to unike mutantprøver (med en enkelt mutasjon) klargjort ved kun et lavt mutasjonsfrekvensnivå. Hver unik prøve/mutasjonsfrekvensnivåprøve (testet i to eksemplarer i hver kjøring) hadde 36 mulige resultater (2 replikater  $\times$  2 operatører  $\times$  3 dager  $\times$  3 steder) hvis alle resultater var gyldige.

Prosentandel forventet betegnelse (PEC) over alle positive og negative varianter ble evaluert ved å sammenligne det representative analyseresultatet med forventet mutasjonresultat (forventet mutasjon påvist eller ikke påvist) i hver prøve. PEC beregnes som 100 % ganget med antall forventede betegnelser delt på antall betegnelser forsøkt. Det tosidige 95 % konfidensintervallet beregnes ved å bruke Wilson-scoremetoden.

Ved å kombinere steder var prøvegangshastighet  $\geq 94,7\%$  for første kjøring av prøven eller i prøver testet i kjøringer som var gyldige i første gjennomgang. Mutasjonsnivå-PEC over alle mutantprøver var 99,6 % (905/909) (95 % CI; 98,9, 99,8). Antall forsøkte betegnelser over alle 56 panelmutasjoner (uansett om en påvist mutasjon var forventet eller ikke) for alle gyldige prøver var 58 856

( $56 \times 1051$ ). Av disse 58 856 mutasjonsnivåobservasjonene var det bare seks tilfeller der det observerte og forventede resultatet var uoverensstemmende. Mutasjonsnivå-PEC over alle positive og negative varianter fra alle mutant- og villtypepanelmedlemmer kombinert, var 99,99 % ( $58\,850/58\,856$ ).

## Analytisk sensitivitet (blindgrense (LoB) og deteksjonsgrense (LoD))

Denne studien verifiserte analysecutoff og påviste deteksjonsgrensen (LoD) for MiSeqDx med et representativt panel. Kort sagt var de godt karakteriserte Platinum Genome-cellelinjene GM12878 og GM12877 formalinfiksert og parafininnstøpt, og deretter ble DNA ekstrahert. GM12878 ble fortynnet med GM12877 slik at variantfrekvensene for sytti varianter (52 SNV-er, ni insersjoner og ni delesjoner) var nær 0,05. De to DNA-prøvene ble testet av to operatører, ved bruk av to instrumenter og to reagensloter, med totalt 10 MiSeqDx-sekvenseringskjøringer. Dette førte til 40 replikater for hver variant i GM12878 og 60 replikater for hvert tilsvarende villtypekoordinat i GM12877 for hver reagenslot. LoB og LoD ble beregnet ved hjelp av den klassiske tilnærmingen angitt i CLSI EP17-A2 ved bruk av det parameterfrie alternativet. LoB og LoD ble beregnet for SNV-er, innsetninger og slettinger hver for seg ved å slå sammen variantfrekvensene for en gitt varianttype. Type I-feilen ble definert som 0,01, og type II-feilen ble definert som 0,05.

For LoB ble de sammenslårte variantfrekvensene sortert fra lavest til høyest, og 99. plass for hver reagenslot for hver varianttype ble beregnet (Tabell 20). MiSeqDx-programvaren bruker cutoff (effektiv LoB) på 0,026 variantfrekvens for å fastslå den kvalitative påvisningen av varianter. De beregnede blindgrensene verifiserte at dette cutoffet førte til en type I-feil på høyst 0,01.

Tabell 20 Blindgrense

| Varianttype | Total antall variantfrekvenser | LoB for reagenslot 1 (%) | LoB for reagenslot 2 (%) |
|-------------|--------------------------------|--------------------------|--------------------------|
| SNV         | 3120                           | 0,87                     | 0,75                     |
| Inserjon    | 540                            | 0,79                     | 0,60                     |
| Delesjon    | 540                            | 0,96                     | 0,84                     |

For LoD ble det beregnet prosentandel for individuell mutasjonsfrekvens for hver reagenslot for hver varianttype som falt under cutoff på 0,026 (Tabell 21). Fordi prosentandelene var mindre enn type II-feilen på 5 % (0,05), ble medianen for de kombinerte variantfrekvensene beregnet som LoD (Tabell 21). LoD for hver varianttype ble tatt som den største av de to verdiene beregnet for de to reagenslotene: 5,45 % for SNV-er, 4,88 % for inserjoner og 5,44 % for delesjoner.

Tabell 21 Deteksjonsgrense

| Reagenslot | Varianttype | Totalt antall variantfrekvenser | Antall VF-målinger < 2,6 % | Antall VF-målinger < 2,6 % | Deteksjonsgrense (%) |
|------------|-------------|---------------------------------|----------------------------|----------------------------|----------------------|
| 1          | SNV         | 2080                            | 4                          | 0,20                       | 5,45                 |
|            | Insersjon   | 360                             | 0                          | 0,00                       | 4,86                 |
|            | Delesjon    | 360                             | 2                          | 0,60                       | 5,44                 |
| 2          | SNV         | 2080                            | 26                         | 1,30                       | 5,44                 |
|            | Insersjon   | 360                             | 0                          | 0,00                       | 4,88                 |
|            | Delesjon    | 360                             | 0                          | 0,00                       | 5,24                 |

Følgende studier viste ytelseskarakteristikken for MiSeqDx med en annen representativ analyse rettet mot 56 mutasjoner i to klinisk relevante kreftgener (mutasjonspanel). Mutasjonspanelet er utformet til å spesifikt påvise 56 mutasjoner i to klinisk relevante kreftgener (gen 1 og gen 2). Analysen fastslår samtidig tilstedeværelse eller fravær av hver av de 56 mutasjonene i hver sekvenserte prøve. Referansemetoden for disse studiene var bidireksjonal Sanger-sekvensering.

## Lot-til-lot-presisjon

En lot-til-lot-presisjonsstudie ble utført for evaluere ytelsen til MiSeqDx-instrumentet på tvers av produserte reagenssettloter (bestående av prøvekvalifikasjon, bibliotekklargjøring og sekvenseringsreagenser) ved bruk av de to genrepresentative analysene ved bruk av et panel med fem blandede FFPE-prøver som oppfyller prøvekvalifikasjonskrav. Hver FFPE-prøve inneholdt to unike mutasjoner: én på et lavere (ca. 8 %) mutasjonsfrekvensnivå og én på et høyt (ca. 14 %) mutasjonsfrekvensnivå. Tolv (12) observasjoner for hver av de fem prøveblandingene ble innsamlet over tre ikke-påfølgende dager med tre reagenssettloter. Det totale antallet observasjoner for studien på tvers av alle reagensloter var 180 observasjoner på tvers av alle prøveblandingene og 360 observasjoner på tvers av alle mutasjonsfrekvensnivåer. På tvers av alle loter og dager viste 99,7 % (359/360) av observasjonene forventet mutasjonsresultat. Én lav frekvensmutasjon ble feilaktig betegnet som en villtype. En varianskomponentanalyse ble utført for hver av mutasjonene/mutasjonsfrekvensnivåene for å beregne variabiliteten til systemet. Det totale standardavviket gikk fra 0,011 til 0,029. Reagenslotkomponenten for det totale standardavviket gikk fra 0 til 0,015.

# Revisjonshistorikk

| Dokumentnr.                  | Dato             | Beskrivelse av endring   |
|------------------------------|------------------|--|
| Dokumentnr.<br>200006218 v02 | Oktober<br>2023  | Oppdaterte referanser til Local Run Manager for versjon 4.<br>Oppdaterte merkingen for å legge til australske sponsordetaljer.<br>Korrigerte avvik der pakningsvedlegget avviker fra studierapporten om instrumentverifikasiing for MiSeqDx.   |
| Dokumentnr.<br>200006218 v01 | Mai 2022         | Lagt til pakningsvedlegg for MiSeqDx Reagent Kit v3 Micro CN under delen om utstyr og materialer som leveres, men som ikke er påkrevd.<br>Lagt til testinformasjon for MiSeqDx Reagent Kit v3 Micro under delen om ytelsesegenskaper.<br>Fjernet forsiktighetsmerknad som er spesifikk for USA, under delen om advarsler og forsiktighetsregler. |
| Dokumentnr.<br>200006218 v00 | November<br>2021 | Første utgivelse for å støtte MOS v4.0 og Local Run Manager v3.0.  |

## Patenter og varemerker

Dette dokumentet og dets innhold er opphavsrettslig beskyttet for Illumina, Inc. og dets tilknyttede selskaper («Illumina»), og er ment utelukkende for kontraktbruk av kunden i forbindelse med bruk av produktene beskrevet her, og for intet annet formål. Dette dokumentet og dets innhold skal ikke brukes eller distribueres til andre formål og/eller på annen måte kommuniseres, fremlegges eller reproduceres på noen måte uten forutgående, skriftlig samtykke fra Illumina. Illumina overfører ikke noen lisens under sitt patent, varemerke, opphavsrett eller sedvanerett eller lignende rettigheter til tredjeparter gjennom dette dokumentet.

Instruksjonene i dette dokumentet skal følges nøyaktig og kun av kvalifisert og tilfredsstillende utdannet personell for å sikre riktig og sikker bruk av produktene som er beskrevet i dette dokumentet. Alt innhold i dette dokumentet skal leses fullt ut og være forstått før produktene brukes.

HVIS DET UNNLATES Å LESE FULLSTENDIG OG UTTRYKKELIG FØLGJEGÅENDE INSTRUKSJONER I DETTE DOKUMENTET, KAN DET FØRE TIL SKADE PÅ PRODUKTENE, SKADE PÅ PERSONER, INKLUDERT BRUKERE ELLER ANDRE, OG SKADE PÅ ANNEN EIENDOM, OG DETTE VIL UGYLDIGGJØRE EVENTUELL GARANTI SOM GJELDER FOR PRODUKTENE.

ILLUMINA PÅTAR SEG IKKE ANSVAR SOM FØLGE AV FEIL BRUK AV PRODUKTENE SOM ER BESKREVET I DETTE DOKUMENTET (INKLUDERT DELER AV DETTE ELLER PROGRAMVARE).

© 2023 Illumina, Inc. Alle rettigheter forbeholdt.

Alle varemerker tilhører Illumina, Inc. eller deres respektive eiere. For spesifikk informasjon om varemerker, se [www.illumina.com/company/legal.html](http://www.illumina.com/company/legal.html).

## Kontaktinformasjon



Illumina, Inc.  
5200 Illumina Way  
San Diego, California, 92122 USA  
+1800 809 ILMN (4566)  
+1858 202 4566 (utenfor Nord-Amerika)  
techsupport@illumina.com  
[www.illumina.com](http://www.illumina.com)



EC REP



Illumina Netherlands B.V.  
Steenoven 19  
5626 DK Eindhoven  
The Netherlands

### Australisk sponsor

Illumina Australia Pty Ltd  
Nursing Association Building  
Level 3, 535 Elizabeth Street  
Melbourne, VIC 3000  
Australia

## Produktmerking

Ønsker du en fullstendig oversikt over symboler som finnes på produktemballasjen og -merkingen, kan du gå til [support.illumina.com](http://support.illumina.com) og lese under fanen *Documentation* (Dokumentasjon) for settet.